

МИНИСТЕРСТВО ГЕОЛОГИИ СССР  
МИНИСТЕРСТВО ГЕОЛОГИИ РСФСР  
ДАЛЬНЕВОСТОЧНОЕ ПРОИЗВОДСТВЕННОЕ ГЕОЛОГИЧЕСКОЕ ОБЪЕДИНЕНИЕ

Уч.№ 0165

ГЕОЛОГИЧЕСКАЯ  
КАРТА СССР

МАСШТАБ 1:200 000

СЕРИЯ УДСКАЯ

Лист № -53 XIV

Объяснительная записка

Составитель *Ф.С.Фролов*  
Редактор *А.П.Глушков*

Утверждено Научно-редакционным советом ВСГЕИ

7 декабря 1967 г., протокол № 40

## СОДЕРЖАНИЕ

Стр.

	Стр.
Введение . . . . .	5
Стратиграфия . . . . .	8
Интузивные образования . . . . .	41
Тектоника . . . . .	58
Геоморфология . . . . .	66
Полезные ископаемые . . . . .	69
Подземные воды . . . . .	81
Литература . . . . .	87
Приложения . . . . .	91

### ВВЕДЕНИЕ

Территория листа № 53-КУ относится к Тугуро-Чумиканскому району Хабаровского края и ограничена координатами 54°00'—54°40', с.п. и 133°00'—134°00', в.д. В орографическом отношении плоская листа делится на горную и равнинную части. Первая охватывает отроги хребта Малого на севере и Дальню на юге, вторая — долину р.Улы, расположенную между ними. Горная часть района характеризуется среднегорным, участками высокогорным, резко различенным рельефом с абсолютными отметками 500—1866 м. По мере приближения к долине р.Улы рельеф постепенно выплываются, приобретая мягкие формы. Высотные отметки здесь не превышают 300—500 м. Долина р.Улы имеет ширину от 15 до 25 км, сильно заболочена, неравномерно залесена. И разобщает озерами разнообразной формы. Река Уда, являющаяся самой крупной водной артерией, протекает через всю плоскую на северо-восток. Ширина ее русла 120—200 м, глубина на перекатах 1,5—2 м и на плюсах 4—5 м. Она часто меандрирует, бродит на протоках, образуя острова и ямы. Все остальные реки района являются притоками р.Улы. В первоначальном среднем течении — это типичные горные реки, но при выходе в равнинную часть течение их становятся более спокойными, они начинают меандрировать, русла сужаются, иногда исчезают.

Климат района континентальный, смягченный влиянием летне-го муссона. Он характеризуется сухой прохладительной (6—6,5 месяцев) зимой с ясной и сухой погодой и коротким, сравнительно теплым дождливым летом. Минимальная среднемесячная температура ( $-27^{\circ}\text{C}$ ) приходится на январь, максимальная ( $+15,4^{\circ}\text{C}$ ) — на июль. Отрицательная среднегодовая температура ( $-4,3^{\circ}\text{C}$ ) и маломощный снежный покров (0,4—0,6 м) обусловили образование

островной вечной мерзлоты. Атмосферные осадки выпадают крайне неравномерно. При средней годовой сумме осадков 690 мм около 70% их приходится на летние месяцы.

По характеру растительности район относится к Охотской физиогеографической провинции, для которой характерно преобладание лиственницы, ели и пихты. На склонах лесной экспозиции встречаются березовые рощи, а в долинах р.Уды на высоких террасах — сосновые боры. Кустарниковые виды растительности представлены, в основном, кедровым стлаником, сибирской бересой, ольхой, бархатником.

Обнаженность района неравномерная и в целом неудовлетворительная. Коренные выходы пород встречаются в основном по бортам долин рек, таких как Гита, Негама, Лагап, где можно наблюдать разрезы нижнекембрийских и киммериджевых отложений.

Рассматриваемый район не заселен и экономически не освоен. Дороги отсутствуют. Имеются две старые тропы, одна из которых проходит вдоль левого борта долины р.Уды, вторая связывает поселки Экичан и Улское, по ее правобережью.

По рекам Уда, Шевли, Галам летом возможна перевозка грузов на моторных лодках, зимой по льду этих рек — на автомашинах и тракторах. В летнее время связь с внешним миром осуществляется вертолетом через пос.Экичан, расположенный в 130 км от южной границы территории листа. Между пос.Экичан и г.Свободным, находящимся на транссибирской магистрали Москва — Владивосток, имеется рейсовая авиалиния, обслуживаемая самолетами Ан-2 и Ли-2.

Началом к геологическому освоению бассейна р.Уды послужило развитие золотодобывающей промышленности в Селемджинском районе. С 30-х годов непосредственно на площади листа и прилегающих территориях маршрутные исследования с целью выявление общих черт геологического строения и перспектив золотоносности проводили В.И.Серпухов (1931-1932), Г.И.Голован (1931г.), П.С.Бернштейн (1937ф), С.И.Бенеславский (1941ф), В.В.Фролов (1941-1943, 1944ф). В 1948 г. нефтегазонность мезозойских отложений района изучал Л.С.Несвит. Геологическая съемка масштаба 1:200 000<sup>х</sup>, и поиски золота в юго-восточной части рассматриваемой территории проведены в 1949 г. Д.О.Фефеловым. Наиболее значительные материалы по стратиграфии, математике и по-

лезному использованию Удского бассейна, в том числе и пломбами листа N-53-ХУ, были получены Л.И.Красным и Ю.Ф.Чемековым (1951ф) и В.Н.Мошкиным (1953ф), проводившими геологическую съемку масштаба 1:1 000 000. Этими работами в хр.Лягаки впервые обнаружены нижнекембрийские отложения и установлены перспективы находок месторождений железа, фосфора и марганца. В 1953 г. В.Н.Мошкин продолжил геологические исследования на левобережье р.Уды. В результате геологического картирования масштаба 1:200 000<sup>х</sup> им показано широкое распространение эфузивов условно юрского и позднемелового возраста и прорывающих их интузивных образований, относенных к позднему мелу.

В 1951-1955 гг. И.К.Никиторовом и в 1959 г. И.И.Сей приведены тематические работы по изучению мезозойских отложений правобережья р.Уды.

С 1960 г. началась планомерная геологическая съемка бассейна р.Уды в масштабе 1:200 000 (Горохов, 1960-1962; Сизов, 1961-1964; Мамонтов, 1962-1964; Шербина, 1963-1965; Брагинский, 1964-1966). Этими работами в хр.Лягаки была выявлена исключительно со съемкой на территории листа и сопредельных с ним площадях, проведен ряда поисковых работ на золото, железо, марганец, фосфорит и уран (Дубровин, 1963ф; Дубровный, Мельников, 1967ф; Махнин, 1963; Мавринский, 1966ф; Филиппов, 1965; Школьник, 1965-1966; Романовский, 1966ф; Ефремов, 1965; С 1964 г. к изучению биостратиграфии кембрия Удско-Селемдинского макроучастка приступила Г.В.Беднева.

Геологическое картирование листа в масштабе 1:200 000 проводилось автором с 1964 по 1966 г. Полученные материалы положены в основу публикующих карт и объяснительной записки к ним, причем при их составлении использованы данные денудирования аэрофотоснимков, аэромагнитной (Иванов, 1953-1954; Бронштейн и др., 1964ф; Шапочка, 1961ф; Головко, 1966) и гравиметрической (Землинов, 1963ф; 1965; Белогуб, 1965ф) съемок, а также учтены работы всех предыдущих исследователей.

<sup>х/</sup> В настоящее время эта съемка переведена в масштаб 1:500 000.

**Ю.А.Мамонтов (1965б)** на южной границе территории листа N-53-XI в тектоническом блоке Мириной около 300 м условно выделил отложения нижнего ордовика, однако нами эти образования на рассматриваемой площади не установлены. Учитывая последнее данные (Шербина, 1965б; Фролов, 1965б), полоса песчаников простиравшаяся через юго-западную часть района и отнесенная Ю.А.Мамонтовым (1965б) к амунской свите верхнепротерозойского возраста, выделена нами в онтогенескую свиту нижнего кембрия.

СТРАТИГРАФИЯ

КЕМЕРСКАЯ СИСТЕМА

ИЗДАНИЯ

На территории листа №53-ХIV, как и на сопредельных с ним площадях, нижнекембрийские отложения известны в двух структурно-фаунистических зонах — Джалдинской и Шевлинской (Соловьев, 1965ф). В первой из них, охватывающей отроги хр.-Джалдинского (юго-восточная часть территории листа), они представлены сложно дислоцированными кремнисто-вулканогенно-терригенными об разованиями эзогенического типа, разделенными на две свиты: Нижнюю — Ульгансскую и Верхнюю — Оннетокскую. В междууречье Шевли — Гербюкан (Шевлинская зона) развиты менее дислоцированные отложения красноцветной терригенной и карбонатной формаций, выделяемые в Усть-Тилтонскую свиту. По данным Г.В.Беляевой (1966ф), изучавшей фауну археопиат из нижнекембрийских отложений хр.-Джалдин и бассейна р.Шевли, намечается сходство археопиатовых биоценозов Шевлинской зоны с районами Сибирской платформы, а Джалдинской зоны — с Алтас-Саянской складчатой областью. Поэтому Усть-Тилтонская свита может быть сполоставлена с атабанским горизонтом алданского яруса Сибирской платформы, а ульганская и оннетокская свиты — с базальским и санамчик-гольским горизонтами алданского и ленского ярусов Алтас-Саянской складчатой области. Промежтия корреляции отложений нижнего кембрия различных зон пока не представляются возможным. Учитывая, что при осуществление нижней части ульгансской свиты на площади листа №53-ХIV не доказано, в основание южного разреза нижнекембрийских отложений условно помещается Усть-Тилтонская свита.

## Шевлинская структурно-фациальная зона

ПЕВЛЯНСКАЯ СТРУКТУРНО-ФАЦИАЛЬНАЯ ЗОНА

Мощность разреза 65 м. Данный разрез является неполным, гра́йтески обнаженная мощность свиты определяется в 700–800 м.

Выщеприведенные находки волорослей, по заключению В.И.Визгатова, широко распространены в верхах алданского яруса Сибирской платформы, а подобные окончия присутствуют в отложениях Усть-титонской свиты по р.Шевли совместно с археоплатами, характерными для алданского горизонта алданского яруса нижнего кембрия Сибирской платформы (Мамонтов, 1965).

#### Лягданская структурно-фаунистическая зона

**У л и г д а н с к а я с в и т а** (Сп<sup>1</sup> и <sup>2</sup>) распространена в юго-восточной части территории листа в бассейнах рек Лягдал и Большой Милькан. Небольшие выходы ее закартированы вдоль разрыва северо-восточного простирания среди средне-верхнелевонских отложений. Кроме того, она слагает несколько тектонических блоков, один из которых находится в пределах Баладекского интрузивного комплекса. Свита имеет весьма пестрый состав: кремнистые породы, яшмы, пласазы, пласазовые порфириты, кремнисто-глинистые сланцы, песчаники, алевролиты, седиментационные брекции, известники, кварциты, конгломераты, пласти магнетит-гематитовых руд. Редко встречаются туфы и лавобрекции пласазовых порфиритов. В составе свиты преобладают вулканогенно-кремнистые породы, слагающие не менее 70–80% ее объема. Они образуют пачки и пласти мощностью от первых десятков до 100–200 м и более. Территории и карбонатные образования слагают обычно менее мощные линзовидные прослои среди этих пород. В пределах района обнажаются, по-видимому, средняя и верхняя части свиты. Присутствие нижних ее горизонтов не показано, так как подстилающие описываемые отложения породы не обнодались. Характерной особенностью свиты является резкая изменчивость ее фациального состава как по простиранию, так и вкрест его, что хорошо видно из разрезов, составленных на разных участках территории листа (рис.1). Каждый из этих разрезов представлен в общем одним и тем же комплексом пород, но различия в мощности и характере их чередования затрудняют или совсем не позволяют коррелировать даже сближенные разрезы. Это вполне закономерно для геосинклинальных вулканогенно-осадочных толщ, формировавшихся в условиях интенсивной тектонической жизни и активной вулканической деятельности. Особенно резко проявляется фациальная изменчивость свиты по пачкам. Так, вдоль северо-западной тектонической границы распространения ульгданской свиты

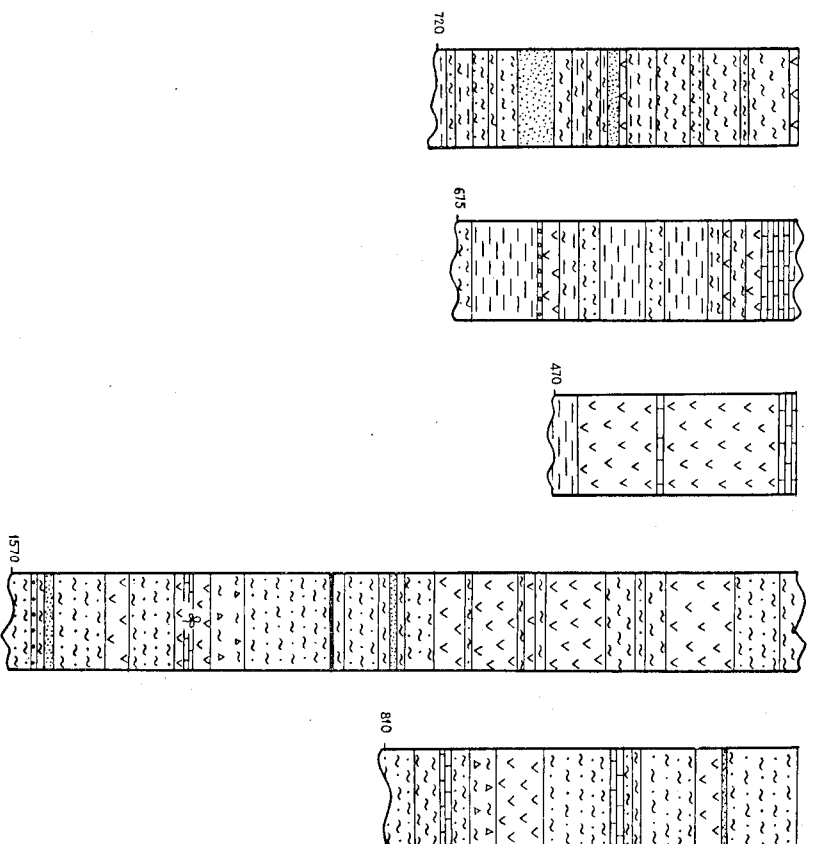


Рис.1. Stratigraphic columns of the Ulgudan Formation.  
Свиты. Scale 1:10 000

I–III – нижнее течение р.Лягдал; IV – нижнее течение р.Сред.Милькан; V – верхнее течение р.Сред.Милькан.  
1 – кремнистые породы; 2 – алевролиты; 3 – песчаники; 4 – див-базы и дивазовые порфириты; 5 – яшмы сурочно-красные; 6 – известники; 7 – водорослевые известники; 8 – конгломераты; 9 – гравелиты; 10 – кремнисто-глинистые сланцы; 11 – седиментационные брекции кремней; 12 – магнетит-гематитовыеруды

В полосе шириной от 2 до 5 км в ее составе преобладают вулканогенные породы, вытесненные, иногда почти полностью, из разреза сияты кремнистые и терригенные породы (между руч. р. Бол. Милькан-Милькан). Для этой полосы характерно также наличие многочисленных, иногда протяженных (более 4 км) горизонтов известняков, нередко содержащих органические остатки. Наиболее распространенные здесь диабазы и диабазовые породы состоят из сосудоизированного пегматита (50-60%) и хлоритизированного моноклинного штоксена. Иногда среди них встречаются миндалекаменные разности.

По химическому составу (табл. I, № 1) диабазы района близки к среднему типу диабазов по Р.Дель.

Юго-восточнее вышеописанной полосы состав свиты преимущественно терригенно-кремнистый, хотя и здесь вулканиты играют существенную роль. С последними обычно ассоциируют линзы известняков, иногда содержащие археолиты, водоросли и онколиты. Отличительной чертой этой полосы является наличие маломощных (порядка 1-3 м) пластов железных руд, залегающих среди темно-серых кремнистых пород и приуроченных, по-видимому, к средней части разреза свиты. Здесь также присутствуют осадконакопительные брекчи кремнистых пород и кварциты, слагающие линзообразные прослои и линзы мощностью до 50-70, реже 200 м.

На юго-востоке района (верховые р. Сред. Милькан) свита сложена, главным образом, кремнистыми породами, сургучными яшмами, кремнисто-глинистыми сланцами и кварц-полевошпатовыми и полемитовыми песчаниками. Вулканогенные породы имеют здесь резко подчиненное значение, а известняки практически опускаются. Лишь в юго-восточной части пачка закартирована пачка переслаивающихся диабазовых порфиритов, кремнистых пород и яшм с пластом железных руд видимой мощностью около 4 м. Этот пласт входит в состав Ир-Галымского рудного горизонта, прослеженного, в основном, за пределами территории листа.

Существенные изменения претерпевает свита и по простиранию. Так, на правом берегу р. Дагат, примерно в 2 км от южной границы площасти, средняя часть свиты сложена на две трети алевролитами, которым подчинены темноокрашенные кремнистые породы, диабазовые порфириты, диабазы, а также прослои и линзы песчаников, гравелитов и конгломератов. На северо-восточном простирании в бассейнах рек Большой и Средний Милькан эта существенно алевролитовая пачка замещается кремнистыми породами серой и темно-серой окраски, яшмами и кремнисто-глинистыми сланцами. В виде прослоев среди них встречаются седиментационные брекчи кремнистых пород, которые отступают в разрезе свиты по р. Дагат. Кроме того, верхняя

часть свиты, сложенная в междуречье Дагат - Илькан почти целиком вулканитами, северо-восточнее (бассейн руч. Горелый) имеет уже вулканогенно-кремнистый состав. Здесь, наряду с диабазовыми порфиритами, существенную роль в разрезе играют кремнистые породы, кварциты и яшмы. Среди различных пород свиты особенно неизвестны по простиранию кварциты, слагающие в верховых руч. Горелый ряд коротких линз, вытянутая мощность которых колеблется от 0,1 до 0,4 км, протяженность - от 0,25 до 1 км.

Несмотря на резкую фациальную изменчивость, в строении свиты намечается ряд закономерностей, а именно: 1) вулканогенные породы приурочены в основном к верхней части разреза свиты, в средней - они переслаиваются с кремнистыми породами, яшмами и известняками; 2) терригенные отложения тяготят к средней части свиты, слагая пачки мощностью до 70-120 м или отдельные обито-маломощные (порядка 1-3 м) пачки, которые чередуются с яшмами, кремнистыми и вулканогенными породами; 3) известняки, как правило, ассоциируют с вулканитами, в которых образуют прослои и линзы мощностью от первых метров до 40-60, редко 100 м. В целом отложения свиты хорошо выделяются литологически, содержат определенные полезные ископаемые (железные руды).

Возраст ультрадакской свиты определяется как нижнекембрийский на основании находок в известняках остатков археолитов, водорослей, катаграфий и онколитов. На правобережье р. Большой Милькан встречены *Melkanicystathus limbatus* Bel., *Zhurimaezystathus fragilis* Bel., *Syringoscyne* sp., *Archaocyathus* sp., *Ciliatricoscinus* sp., *Flindersicyathus* sp., *Dictyoscyathus* sp. (опред. Г.В. Беликовой). Совместно с археолитами здесь присутствуют водоросли, определенные В.И. Вязгаловым как *Eryphyton rectum* Korda, *E. fruticosum* Vologd., *E. decumum* Korda, *Chabacovia gamosa* Vologd., *Renalcis* sp. В различных местах пачка распространения ультрадакской свиты собраны остатки водорослей *Ploaulopora* sp., *Amganella glabra* (Krasnop.) Reitl., *Botominella lineata* Reitl., *Eriphyton* sp., *Renalcis* sp., *Vesicularites lobatus* Reitl., *V. bothryoidiformis* (Krasnop.) Reitl. и онколитов *Radiosus formica nova*, *Oscula forma nova* (опред. В.И. Вязгалова).

О н е т о к с к а я с в и т а (См. оп.) распространена так же, как и ультрадакская, в юго-восточной части площасти. Она слагает здесь три полосы северо-восточного простирания. Ширина их составляет 1-3 км, протяженность - 8-10 км. Состав свиты довольно однообразный. Сложена она полемиктовыми песчаниками, алевролитами и пачками их переслаивания с резко подчиненными пластами

ХИМИЧЕСКИЙ СОСТАВ МАГМАТИЧЕСКИХ ПОРОД

Таблица I

№/п	Наименование и место взятия пород	Возраст	Содержание минералов					
			SiO <sub>2</sub>	TiO <sub>2</sub>	Al <sub>2</sub> O <sub>3</sub>	Fe <sub>2</sub> O <sub>3</sub>	FeO	
I	Лихоборье р.Лагап	Си <sub>1</sub> и ф	50,91	3,2	12,6	4,9	10,28	
2	Ангизит, правый борт р.Эльта	J-Cr <sub>1</sub> d <sub>2</sub>	56,94	1,05	16,14	3,56	4,89	0,2
3	Ангизит, Низовье р.Джемну		52,12	1,29	18,03	5,00	4,52	0,13
4	Лагап; верховье р.Ман.Чан-лярик	λтCr <sub>1</sub> ?	65,51	0,56	16,04	1,23	3,26	3,48
5	Кварцевый порфир, правый борт р.Лагап		73,0	0,22	12,91	0,40	2,78	7,41
6	Ангизит, правобережье р.Бол.Милькан	νт Pt <sub>1</sub> ?	52,49	0,14	23,00	0,56	2,81	3,98
7	Норти, левобережье р.Бол.Милькан	νт Pt?	52,63	0,23	19,26	2,29	5,19	0,97
8	Пироксенит, правобережье р.Гелам		47,24	0,61	5,80	7,72	14,82	0,15
9	Пироксенит, Низовье р.Бол.Милькан		50,58	0,09	5,23	2,85	5,74	10,39
10	Пироксенит, поток р.Усть-Милькан		47,04	0,20	9,85	1,81	5,67	8,01
11	Пироксенит, Нижнее р.Усть-Милькан - Лагап	ψт Pt <sub>1</sub> ?	45,63	0,99	9,10	4,20	9,18	0,26
12	Пироксенит, верховье р.Усть-Милькан		49,61	0,16	10,28	4,49	3,76	0,13
13	Пироксенит, водораздел рек Лагап - Милькан		45,25	1,05	7,68	3,80	12,54	16,86
14	Пироксенит, истоки р.Усть-Милькан		47,57	0,22	9,99	3,71	5,28	0,17
15	Пироксенит, Междуречье Бол.Милькан - Лагап		47,12	1,11	7,57	8,14	9,34	17,10
16	Серпентинизированный лунит, водораздел Лагап - Бол.Милькан	σPt <sub>1</sub> ?	39,II	-	0,52	2,39	5,18	40,90

№/п	Наименование и место взятия пород	Возраст	Химический состав									
			MnO	MgO	CaO	Na <sub>2</sub> O	K <sub>2</sub> O	SO <sub>3</sub>	P <sub>2</sub> O <sub>5</sub>	CO <sub>2</sub>	H <sub>2</sub> O	Σ
I	Лихоборье р.Лагап	Си <sub>1</sub> и ф	0,2	4,21	7,38	3,62	0,47	-	0,48	-	3,04	100,48
2	Ангизит, правый борт р.Эльта	J-Cr <sub>1</sub> d <sub>2</sub>	0,13	3,48	7,41	3,38	0,83	-	0,18	-	1,7	100,19
3	Ангизит, Низовье р.Джемну		0,15	4,05	7,97	3,98	0,71	-	0,25	-	1,49	99,56
4	Лагап; верховье р.Ман.Чан-лярик	λтCr <sub>1</sub> ?	0,11	1,43	3,68	3,84	1,92	-	0,08	-	1,72	99,38
5	Кварцевый порфир, правый борт р.Лагап		0,07	1,0	0,89	4,57	2,63	-	0,06	-	0,65	99,18
6	Ангизит, правобережье р.Бол.Милькан	νт Pt <sub>1</sub> ?	0,05	3,25	7,96	5,31	0,50	0,12	0,04	0,39	3,49	100,12
7	Норти, левобережье р.Бол.Милькан	νт Pt?	0,23	19,26	2,29	5,19	0,15	10,39	8,01	0,26	0,04	0,40
8	Пироксенит, правобережье р.Гелам		0,22	20,50	1,89	0,13	0,04	0,00	0,04	0,48	1,18	100,67
9	Пироксенит, Низовье р.Бол.Милькан		0,16	29,71	4,41	0,26	0,06	0,05	0,01	0,48	0,82	100,45
10	Пироксенит, поток р.Усть-Милькан		0,13	16,86	14,12	0,92	0,08	0,00	0,02	0,31	3,25	100,26
11	Пироксенит, Нижнее р.Усть-Милькан - Лагап	ψт Pt <sub>1</sub> ?	0,99	9,10	4,20	9,18	0,24	12,92	14,61	1,18	0,93	0,68
12	Пироксенит, верховье р.Усть-Милькан		0,16	10,28	4,49	3,76	0,17	22,19	8,63	0,36	0,02	0,11
13	Пироксенит, водораздел рек Лагап - Милькан		0,26	12,58	12,61	0,91	0,04	-	1,23	0,01	0,09	2,69
14	Пироксенит, истоки р.Усть-Милькан		0,26	12,58	12,61	0,91	0,04	-	1,23	0,01	0,09	2,69
15	Пироксенит, Междуречье Бол.Милькан - Лагап		0,14	17,10	14,22	0,52	0,05	1,21	0,02	0,46	0,26	100,75
16	Серпентинизированный лунит, водораздел Лагап - Бол.Милькан	σPt <sub>1</sub> ?	0,09	40,90	0,75	0,08	0,08	0,01	0,03	0,30	8,76	100,20

Продолжение табл. I

I	2	3	4	5	6	7	8	9	10	II	T2	T3	T4	T5	T6	T7	T8
17	Серпентинизирован- ный дигит'и- тавообразное р.Малкая		39,5I	0,0I	1,42	3,36	3,94	0,08	40,26	0,62	0,08	0,03	0,0I	-	-	10,35	99,67
18	Гранит'чье Героль- майдж'че Героль- кан - Эльга	1 Pt?	70,38	0,28	14,72	1,78	1,40	0,07	0,77	1,73	3,84	4,10	-	0,12	-	0,67	99,86
19	Гранит' борт р.Гер- олькан		75,23	0,13	13,09	0,57	1,07	0,05	0,24	0,17	3,39	5,71	-	0,02	-	0,50	100,17
20	Габбро' истоки р.Ниж.Луга		47,84	0,38	20,92	1,67	5,8I	0,10	4,35	11,29	2,49	0,59	-	0,13	-	3,49	99,06
21	Оливковое габбро', верховье р.Чалда- рий	v Cr <sub>1</sub>	45,37	0,89	12,48	4,73	12,59	0,27	12,64	7,49	1,88	0,35	-	0,09	-	1,32	100,10
22	Кварцевый порфир', верховье р.Чалда- рий	8o Cr <sub>1</sub>	60,16	0,94	16,46	1,18	5,23	0,11	3,32	5,65	3,48	2,33	-	0,17	-	0,83	99,86
23	Гранитопорф', истоки р.Верх.Луга	18 Cr <sub>1</sub>	64,33	0,60	15,80	2,38	2,27	0,11	2,17	4,34	3,88	3,24	-	0,18	-	0,23	99,53
24	Гранит' верховье р.Чалда- рий	1 Cr <sub>1</sub>	70,89	0,36	14,65	1,04	1,98	0,07	1,05	2,03	3,98	3,42	-	0,07	-	0,45	99,99
25	Гранит' верховье р.Верх.Луга		69,48	0,37	15,00	1,21	1,93	0,09	1,22	2,68	4,16	2,90	-	0,10	-	0,36	99,50
26	Гранит' базисный р.Верх.Луга	1 Cr <sub>2</sub> ?	75,57	0,05	12,76	0,20	1,15	0,03	0,57	0,61	3,85	4,84	-	0,06	-	0,27	99,96
27	Гранит' истоки р.Колтуль		75,66	0,11	12,62	0,57	0,98	0,04	0,55	0,79	3,46	4,72	-	0,02	-	0,34	99,86

Продолжение табл. I

Числовые характеристики по А.Н.Баеварикову

<b>№</b>	<b>П/п</b>	<b>a</b>	<b>с</b>	<b>b</b>	<b>s</b>	<b>a'</b>	<b>z'</b>	<b>m'</b>	<b>c'</b>	<b>n</b>	<b>φ</b>	<b>t</b>	<b>q</b>	<b>g</b>	<b>g</b>
Числовые характеристики по А.Н.Баеварикову															
I	8,7	4,2	26,0	61,1	-	52,6	27,5	19,9	92,9	13,7	4,5	0,8	2,1		
2	9,6	6,3	17,0	67,1	-	47,8	35,2	17,0	86,8	3,7	1,3	17,7	1,5		
3	10,4	7,6	19,1	62,9	-	48,1	37,9	14,0	90,0	23,5	0,2	-2,6	1,4		
4	14,0	4,0	8,0	74,0	22,0	49,0	29,0	-	75,8	22,9	0,6	16,0	3,5		
5	13,4	1,0	5,6	80,0	20,0	57,8	28,2	-	72,5	6,9	0,2	32,2	13,4		
6	13,6	10,3	10,4	65,7	-	35,0	60,5	4,5	94,5	5,8	0,2	-5,2	1,3		
7	0,6	8,5	38,8	52,1	45,0	15,6	39,4	-	36,9	4,3	0,3	-5,2	0,6		
8	0,3	2,0	50,5	47,2	4,8	35,7	59,5	-	80,0	11,2	1,0	-8,4	0,1		
9	0,5	2,6	49,6	47,3	-	13,2	82,1	4,7	88,9	4,2	0,1	-9,0	0,2		
10	2,0	5,0	43,4	49,6	-	16	60,0	24,0	93,8	3,2	0,4	-9,8	0,4		
II	2,4	4,3	44,3	49,0	-	26,2	45,3	27,5	97,0	7,5	1,7	-11,1	0,6		
12	0,7	5,7	43,5	50,1	-	16	76,0	8,0	100,0	7,8	0,2	-6,9	0,1		
13	2,0	3,8	45,1	49,1	-	32	44,3	23,7	96,8	6,8	1,7	-9,6	0,5		
14	1,0	5,6	45,0	48,4	-	17,2	59,8	23,0	94,0	6,5	0,4	-11,0	0,2		
15	1,7	3,7	44,5	50,1	-	33	45,2	21,8	96,0	12,7	17,6	-7,3	0,5		
16	0,3	0,7	62,9	36,1	1,6	9	89,4	-	66,7	2,6	-	-29,1	0,4		
17	0,2	0,6	62,0	37,2	0,2	9,8	90,0	-	100	3,8	-	-26,7	0,3		
18	14,1	2,0	4,9	79,0	23,3	52,1	24,6	-	58,3	31,5	0,3	27,8	7,1		
19	15,0	0,2	3,0	81,8	38,7	48,4	12,9	-	47,9	15,1	0,1	33,5	75,0		
20	7,1	12,1	19,6	61,2	-	47,2	41,2	17,6	87,0	8,4	1,3	-3,9	0,6		
21	4,4	5,8	39,3	50,5	-	40,0	52,0	7	89,0	19,7	1,5	-13,6	0,8		
22	II,1	5,6	13,1	70,2	-	46,6	43,4	10,0	70,0	14,8	1,2	12,6	2,0		
23	13,3	4,0	9,7	73,0	-	45,0	40,0	15,0	64,0	21,4	0,7	15,4	4,3		
24	13,2	2,4	5,4	79,0	16,0	51,7	21,3	-	64,4	32,1	0,3	29,2	5,5		
25	13,3	3,2	5,0	78,5	2,8	55,8	41,4	-	68,0	19,2	0,3	27,2	4,2		
26	14,8	0,7	2,5	82,0	3,2	56,6	40,2	-	55,0	7,0	-	33,7	21,0		
27	13,8	1,0	2,8	82,4	21,0	49,0	30,0	-	52,7	32,0	0,2	36,2	13,8		

и линзами сердечниковых брекчий, гравелитов, контолимеритов, кремнисто-глинистых сланцев, кремнистых пород, яшм и лавобрекций дна базовых порфиритов. Нижняя часть свиты наблюдалась в разрезе по р.Лагап, где на кремнистых породах Ульяновской свиты согласно залегают (снизу вверх):

1. Пачка переслаивающихся темно-серых мелко-зернистых песчаников (0,1-0,2 м) и алевролитов (0,03-0,2 м) . . . . . 15 м
2. Алевролиты черные, участками переходящие в кремнисто-глинистые сланцы . . . . . 10 "
3. Пачка переслаивающихся темно-серых мелко-зернистых песчаников (0,1-0,6 м) и алевролитов (0,05-0,5 м) . . . . . 10 "
4. Сланцы кремнисто-глинистые, переходящие в прослои в лавобрекции дна базовых порфиритов . . . . . 5 "
5. Алевролиты темно-серые, массивные . . . . . 15 "
6. Песчаники зеленовато-серые, мелко- и крупнозернистые, с прослоями (до 0,5 м) алевролитов . . . . . 45 "
7. Алевролиты темно-серые, с единичными прослоями (до 1 м) мелкозернистых песчаников . . . . . 35 "
8. Песчаники серые и зеленовато-серые, мелкозернистые, с редкими линзами (до 3 м) гравелитов и седиментационных обрекций алевролитов, кремнистых пород и известняков . . . . . 35 "
9. Пачка переслаивающихся темно-серых алевролитов (через 0,03-0,4 м) и мелкозернистых песчаников (через 0,1-1 м) . . . . . 15 "
10. Песчаники темно-серые, мелкозернистые, известковистые, с линзами (до 3 м) гравелитов . . . . . 45 "
- II. Алевролиты темно-серые, тонкослоистые . . . . . 15 "
11. Алевролиты темно-серые, тональные . . . . . 15 "
- Общая мощность разреза 245 м.

По р.Сред.Милькан свита имеет преимущественно песчано-алевролитовый состав. Более полный разрез ее, по-видимому, отвечает нижней и средней частям свиты, надподдается в верховье этой реки. Здесь в тектоническом блоке канавами вскрыты (снизу вверх):

  1. Песчаники зеленовато-серые, мелкозернистые, с единичными прослоями (до 3 м) алевролитов . . . . . 25 м
  2. Кремнистые породы зеленовато-серые . . . . . 5 "
  3. Песчаники светло- и зеленовато-серые, мелкозернистые, с редкими прослоями (до 0,2 м) алевролитов . . . . . 115 "

4. Пачка переслаивающихся светло-серых мелко-зернистых песчаников (0,05-6 м), алевролитов (0,03-3 м), кремнистых пород (до 5 м) и кремнисто-глинистых сланцев (до 2 м) . . . . .	30 м
5. Песчаники зеленовато-серые с редкими прослойками и линзами (до 5 м) алевролитов и кремнистых пород . . . . .	260 "
6. Алевролиты темно-серые, с будинированными прослойками (до 5 см) песчаников . . . . .	35 "
7. Песчаники зеленовато-серые, мелкозернистые, с прослойками (0,1-5 м) алевролитов . . . . .	220 "
Мощность разреза	690 м.

Вышеписанные породы согласно перекрывают ультраданскую свиту и по литологическому составу близки к отложениям оннектской свиты, распространенным на соседних площадях, где они охарактеризованы Даугой археодиг (Ситов, 1965б; Мамотков, 1965б). На основании этого, рассматриваемые породы отнесены к оннектской свите нижнего кембрия.

Мощность свиты колебается от 250 до 800 м.

#### ДВОИНСКАЯ СИСТЕМА

##### СРЕДНИЙ ВЕРХНИЙ ОТДЕЛН (D<sub>2+3</sub>)

Описываемые отложения распространены северо-западнее нижнекембрийских образований, протягиваясь неширокой (3-7 км) полосой от нижнего течения р.Лагал в бассейн р.Милькан и далее на прилегающую с востока территорию листа №53-ХУ, где они описаны под названием сородской толщи (Цербина, 1965б). Эти отложения сдвигают также тектонические блоки на правобережье р.Шевли и в нижнем течении р.Милькан.

Описываемые породы трансгрессивно перекрывают раннекарбоновые интрузивные образования и отложения нижнего кембрия. Но, обычно, с последними они граничат по тектоническим разломам. Средне-верхнедевонские отложения представлены полимиктовыми и кварц-полевошпатовыми песчаниками с псевдчинными пластами алевролитов, гравелитов, конгломератов, седиментационных брекчий и кремнисто-глинистых пород. Они отличаются от нижнекембрийских более свежим обликом и отсутствием среди них вулканитов и яшм. Схематический разрез описываемых отложений составлен по р.Милькан. В левом борту этой реки на дистанциях и известняках ультраданской свиты несогласно залегают разнотягочные конгломераты с единичными прослойками (до 1 м) гравелистических песчаников. Мощность этой пачки 70 м. Галька и валуны конгломератов сложены известни-

камы, гранитами, алюритами, шпатогранит-порфиритами, яшмами, кремнистыми породами. Известники содержат остатки водорослей и катаграфии нижнекембрийского облика, а в прослоях песчаников встречены отпечатки крионидей. Выше пачки конгломератов залегают слоями и линзами (до 5 м) алевролитов и кремнистых	(снизу вверх):
1. Алевролиты зеленовато-серые, тонкослойстые . . . . .	15 м
2. Гравелиты зеленовато-серые с линзами (до 5 м) мелкогалечных конгломератов . . . . .	30 "
3. Песчаники зеленовато-серые, мелкозернистые . . . . .	20 "
4. Алевролиты зеленовато-серые с неопределыми остатками крионидей и линзами (до 2 м) мелкогалечных конгломератов . . . . .	20 "
5. Песчаники темно-серые, мелко- и среднеаернистые . . . . .	15 "
6. Алевролиты зеленовато-серые с многочисленными прослойками песчаников (0,2-0,5 м) и редко кремнисто-глинистых пород (до 0,2 м) . . . . .	80 "
7. Пачка переслаивающихся песчаников и алевролитов (через 0,1-0,4 м) с единичными пластами (до 5 м) песчаников, алевролитов и кремнисто-глинистых пород . . . . .	90 "
8. Гравелиты зеленовато-серые, переходящие по простиранию в мелкогалечные конгломераты . . . . .	20 "
9. Пачка переслаивающихся песчаников и алевролитов (через 0,1-0,5 м) с отдельными пластами (до 5 м) песчаников и алевролитов . . . . .	90 "
10. Песчаники серые, крупно- и среднезернистые, с редкими прослойками (до 0,7 м) алевролитов . . . . .	60 "
II. Алевролиты зеленовато-серые . . . . .	20 "
12. Песчаники серые, крупно- и среднезернистые с включениями растительного детрита . . . . .	60 "
Мощность разреза	520 м.

На правобережье р.Шевли в тектоническом блоке среди отложений усть-тильонской свиты канавами вскрыты (снизу вверх):

I. Песчаники желтовато-серые, с прослойками (до 7 см) алевролитов с *cyathocrinus* sp. . . . .

2. Алевролиты буровато-серые, с редкими прослойками (до 10 см) кремнисто-глинистых пород, песчаников и линзой (до 5 м) гравелитов . . . . .

Мощность разреза 110 м.

Кроме вышеприведенной находки брахиопод, в бассейнах рек Милькан и Лагал в песчаниках и гравелитах собраны остатки кри-

полдай *Pentagonocrinus ex gr. medius Yelt.* (определ. Г.Р.Шимкин) и шланг *Spirularia* sp. (определ. Т.В.Романчук). По залечению названных палеонтологов, указанный вид криноидей встречается в девонских отложениях Кур-Урмийского, Зейского-Селемджинского и других районов; род *Cyrtospirifer* известен в верхнедевонских отложениях почти повсеместно; вышеуказанные шланги распространены с начала среднего девона до верхней перми. В среднем течении р.Милькан в нижней части разреза описываемых отложений Л.И.Красным (1951) собраны остатки кораллов *Thamnopora* sp., *Favosites* sp., *Alveolites* sp. (определ. Б.С.Соколова), известные в среднем девоне Дальнего Востока. Их же в бассейне руч. Сородо обнаружены отпечатки брахиопод *Cyrtospirifer ex gr. varneuillei* Murch., *C. cf. whitheyi* Hall, *Lamellispirifer aff. posterus* Hall., *Atypa* sp., *Dalmanella* sp., *Productella* sp. (Красный, 1951). По заключению Е.А.Молзалевской, эти брахиоподы характеризуют французский ярус.

Таким образом, вышеупомянутый комплекс фауны позволяет датировать описываемые отложения в интервале от среднего до верхнего девона включительно. Общая мощность их составляет не менее 700 м.

### ТРИАСОВАЯ СИСТЕМА

#### Б е р х и й о т д е л

#### Карнийский ярус (Т<sub>3</sub>к)

Отложения этого возраста распространены в нижнем течении

р.Милькан на площади около 10 км<sup>2</sup>. С более древними породами (раннепротерозойскими габбро-анортозитами и песчаниками среднего и верхнего девона) они имеют тектонические контакты; с севера и запада они неоднократно перекрыты верхнедевонско-нижнемеловыми эфузирами. В составе описываемых отложений преобладают полимитовые песчаники, содержащие редкие прослои алевролитов, гравелитов и конгломератов. Схематический разрез этих отложений составлен по правому берегу р.Милькан, где обнажаются (снизу вверх):

- 1. Песчаники зеленовато-серые, мелкозернистые, с кальцитом . . . . . 95 м
- 2. Песчаники кирпично-красные, мелкозернистые . . . . . 25 "
- 3. Песчаники зеленовато-серые, мелкозернистые . . . . . 30 "

#### 4. Песчаники желтовато-серые, мелкозернистые, с кальцитом с Налобия sp. indet. . . . .

85 м

5. Песчаники буровато-серые, мелкозернистые, конкретичные с Налобия zittelli Lindst. . . . . 15 "

6. Песчаники темно-серые, мелкозернистые . . . . . 105 "

7. Перекники желтовато-серые с Налобия sp. . . . . 35 "

8. Алевролиты темно-серые с редкими прослоями . . . . . 90 "

9. Песчаники темно- и буровато-серые, мелкозернистые, участками слюдистые . . . . . 265 "

10. Песчаники темно-серые, среднезернистые с Spiriferina sp., *Otararia ussuriensis* Vor. . . . . 15 "

11. Конгломераты среднезернистые, содержащие зернистые, участками слюдистые . . . . . 1 M

12. Песчаники серые, мелкозернистые; в средней части пачки среднезернистые, с редкими прослоями (до 10 см) алевролитов . . . . . 209 "

13. Песчаники желтовато-серые, мелкозернистые, с *Pentacrinus* sp. . . . . 45 "

14. Песчаники желтовато-бурые, мелкозернистые, с прослоями (3-5 см) алевролитов . . . . . 75 "

15. Песчаники темно-серые, мелкозернистые, с *Monotis* (?) sp. . . . . 40 "

16. Песчаники бурые, гравелистые, переходящие вверх по разрезу в гравелиты с *Monotis* cf. scutiformis Tell., *M. cf. scutiformis* var. typica Kipar., *Otararia* sp. . . . . 35 "

17. Песчаники желтовато-бурые, среднезернистые и мелкозернистые с растительным детритом и с *Monotis scutiformis* var. multicostata Kipar., *Nalobia ex gr. superbaecens* Kittl. . . . . 25 "

18. Песчаники темно-серые, крупнозернистые с *Monotis scutiformis* multicostata Kipar., *M. cf. scutiformis* Tell., *Gastropoda* . . . . . 10 "

19. Песчаники желтовато-серые, среднезернистые, с прослоями (0,2-0,5 м) слюдистых крупно- и мелкозернистых песчаников с *Monotis scutiformis typica* (Kipar.), *M. scutiformis* Tell., *Nalobia* sp. indet., *Otararia* sp. indet. . . . . 30 "

20. Песчаники, темно-серые, мелко- и среднезернистые с наловом щебня *Mojs.* . . . . . 20 "

21. Песчаники желтовато-серые, средне- и крупнозернистые, ожелезненные, с растительным детритом . . . . . 35 "

Мощность разреза 1365 м.

В ряде других мест в песчаниках верхней части разреза яруса встречаются остатки *Worthenia* (?) sp. indet., *Otarpiria ex gr. ussurensis* Vor., *Oxytoma cf. pojarkovaei* Tell., *Acastes* (?) sp. indet., *Spiriferina* sp., *Terebratula* sp. indet., *Siberionatulus multilobatum* Popov., *M. scutiformis* Kipar.

Выше приведенный комплекс фауны, по заключению Е.П.Брудницкой, характерен для карнийского яруса Верхнего триаса. Мощность отложений не менее 1365 м.

#### ЮРСКАЯ СИСТЕМА

##### ВЕРХНИЙ ОТДЕЛ

Верхнериеские отложения закартированы в южной части территории листа на двух разобщенных участках общей площадью 25 км<sup>2</sup>. Они представляют морскими терригенными образованиями. Разрезы их из-за плохой обнаженности и заболоченности составить не удалось. С окружениями породами они имеют тектонические контакты. На аэрофотоснимках сравнительно хорошо дифференцируется северо-восточное пространение верхнериеских пород с падением слоев на северо-запад.

#### КЕЛЛОВЕЙСКИЙ И ОКСФОРДСКИЙ ЯРУСЫ (J<sub>3</sub>-J<sub>3</sub>+t)

Отложения ярусов представлены мелкозернистыми полимиктовыми песчаниками с аллюролитами и алевролитами с единичными маломощными (около 1-3 м) прослоями контломератов. Нижняя их граница проводится по началу преобладания мелкозернистых песчаников над крупнозернистыми, относенными к оксфорд-кимеридж. Многочисленные обломки остатков *Aucella* cf. *mosquensis* (Buch), *A. palassi* Keyser., *A. paradoxus* Sok., *A. cf. russiensis* Pavl., *A. fischeriana* Orb., *Meleagrinella semiradiata* Fisch., *Oxytoma* sp. indet., *Dentalium* sp. indet., *Bivalvites*, *Astarte* cf. *panderi* Röhl. характеризуют возраст слоев в пределах камерида и титона (заключение Е.П.Брудницкой). Мощность их определяется в 110-1200 м.

#### Титонский ярус (J<sub>3</sub>+t)

Отложения ярусов представлены мелко- и среднезернистыми полимиктовыми и кварц-полевошпатовыми песчаниками с прослоями аллюролитов. Песчаники содержат редкую гальку кварца, единичные конкреции марказита до 3 см в поперечнике, обутившиеся растительные остатки и отпечатки *Meleagrinella similis* (Vor.), *M. cf. umtaliensis* (Krimb), *Modiolus* sp., *Entolium* cf. *vitreum* Roem., *Jugonites promytiloides* Ark., *Terebratula* sp. indet., *T. ex gr. do-naziformis* Lyc. Этот комплекс фауны, по заключению Е.П.Брудницкой, характеризует келловейский и оксфордский ярусы. Мощность

отложений определяется в 300-400 м.

#### ОКСФОРДСКИЙ И КИММЕРИДЖСКИЙ ЯРУСЫ (J<sub>3</sub>+km+km)

Отложения ярусов выделяются с некоторой долей условности.

За нижнюю их границу принимается половина пачки контломератов. Высшая мощность пачки 40-50 м. Выше залегают песчаники, отличающиеся от вышеуказанных (келловей-оксфордских) более светлой окраской и наличием крупнозернистых разностей. Алевролиты имеют резко подчлененное значение и образуют маломощные (пюрика 1-2 м) прослои. Ю.А.Мамонтовым (1965) в нижней части этих отложений собраны органические остатки, которые, по мнению Е.П.Брудницкой, определяют оксфордский ярус. Верхняя часть описываемых отложений содержит оксфордский комплекс фауны. Поэтому возраст, содержащими камерида-титонский комплекс фауны. Поэтому возраст рассматриваемых слоев более логично считать оксфорд-киммериджским. Мощность их принимается в пределах 150-200 м.

на левобережье р.Эльга остатки *Ancilla russiensis* Pavl., *Pleurocytum* sp., *Dentalium* sp. и др. не определяют точно возраст этих отложений. Но, как показано Ю.А.Мамонтовым (1965), они заходят стратиграфически выше кимеридж-титонских образований. Кроме того, на прилегающей с юга территории в верхних горизонтах описаны отложения встречены отпечатки *Conchopterus burejensis* (Zallessky) Seward, известные из верхней юры и нижнего мела Сибири и Дальнего Востока (Мамонтов, 1965). Все это позволяет считать наиболее вероятным титонский возраст рассматриваемых отложений. Мощность титонских слоев, по-видимому, не превышает 1200-1500 м.

#### ЮРСКАЯ СИСТЕМА, ВЕРХНИЙ ОТДЕЛ – МЕЛОВАЯ СИСТЕМА, НИЖНИЙ ОТДЕЛ

*Djelonekska svita*. Нижняя подсвита ( $\Sigma_3$  –  $df_1$ ) распространена на правобережье р.Милькан. Небольшие (до 2 км<sup>2</sup>) выходы ее установлены в междуречье Гербикан – Эльга и в истоках руч.Сородо.

Подсвита сложена туфами андезитовых порфиритов и фельзитовых порфиритов, туфопесчаниками, контломератами с полиненными андезитовыми порфиритами, углистыми алевролитами и пластами каменных углей. Наиболее полный разрез наблюдается в нижнем течении р.Милькан. Здесь на сладосцепментированных ожелезненных песчаниках карнигского яруса несогласно залегают (снизу вверх):

- 1. Песчаники желтовато-бурые, крупнозернистые с редкой галькой размером до 1-2 см ямы, кремнистые породы и песчаников . . . . . 20 м
- 2. Туфы андезитовых порфиритов бурые, псаммитовые . . . . . 70 "
- 3. Конгломераты мелко- и среднегалечные с прослоями (0,1-0,6 м) гравелитов, песчаников и псаммитовых туфов порфиритов . . . . . 55 "
- 4. Туфы фельзит-порфиритов зеленовато-серые, псаммитовые и псевдогипсовые с прослоями (0,1-0,4 м) псаммитовых туфов порфиритов . . . . . 25 "
- 5. Углистые алевролиты с маломощными (2-16 см) прослоjkами каменных углей . . . . . 1,6 "
- 6. Туфы порфиритов зеленовато-серые, алевролитовые . . . . . 3,4 "

7. Углистые алевролиты с прослоjkами (до 10 см)

каменных углей . . . . . 0,8 м

8. Туфы порфиритов зеленовато-серые, алевролитовые . . . . . 4,2 "

9. Песчаники и туфопесчаники темно-серые, разноцветные с редкими прослоjkами (0,1-0,2 м) туфов

порфиритов . . . . . 30 "

10. Порфириты темно-серые андезитовые . . . . . 15 "

II. Туфы фельзит-порфиритов желтовато-бурые,

псевдогипсовые . . . . . 75 "

12. Туфы порфиритов коричневато-серые, псевдогипсовые и псаммитовые, с прослоjkами (0,1-0,2 м) андезитовых порфиритов и их алевритовых туфов . . . . . 55 "

13. Туфы порфиритов коричневато-серые, псевдогипсовые и псаммитовые, с прослоjkами (до 15 см) туфоконгломератов . . . . . 70 "

14. Туфы порфиритов темно- и зеленовато-серые, псевдогипсовые и псаммитовые, с прослоjkами (5-15 см) в средней части пачки туфопесчаников . . . . . 140 "

15. Порфириты темно-серые андезитовые . . . . . 5 "

16. Туфоконгломераты средне- и крупногалечные . . . . . 20 "

17. Пачка переслаивания туфов порфиритов и порфиритов псаммитовых и псевдогипсовых и реже андезитовых порфиритов . . . . . 45 "

Мощность разреза 645 м.

В верховые руч.Сородо в тектоническом блоке канавами вскрыты (снизу вверх):

- 1. Конгломераты крупногалечные, содержащие гальку ямы, кремнистых пород и кварца . . . . . 12 м
- 2. Пачка переслаивания зеленовато-серых алевролитов, песчаников и гравелитов . . . . . 3 "
- 3. Угли каменные с маломощными (5-10 см) прослоjkами и линзами алевролитов . . . . . 2,1 "
- 4. Конгломераты мелкогалечные . . . . . 1,3 "
- 5. Угли каменные с прослоjkами (5-10 см) алевролитов и конкремионных песчаников, содержащих пыльцу *Riccia* sp. (до 33,5%), *Benthictables* (до 22%), *Ginkgoales* (до 8,9%) и споры (до 2,2%)
- 6. *Hemitelia* sp., *Lycopodium japonicum*, *Alnus* sp. . . . . 3,6 "

6. Пачка переслаивания желтонасто-серых коунгозернистых песчаников (0,2-2,5 м) и граве- литов (0,4-4,5 м) . . . . .	28 м
7. Туфы порфиритов буровато-серые, псамми- тевые . . . . .	4 "
8. Песчаники светло-серые, мелко- и крупно- зернистые, с линзами (до 1 м) конкреционных песча- ников с пыльцой <i>Bennettitales</i> (до 32,7%), <i>Ginkgo-</i> <i>les</i> (до 30,4%), <i>Braecklyllum</i> sp. (до 11,5%) и <i>Radiolarium</i> (до 7,3%) . . . . .	8 "
9. Пачка переслаивания мелко- и крупнозерни- стых песчаников (0,3-2 м) и гравелитов (до 1 м) с маломощными (до 10 см) пропластками каменного угля в средней части пачки . . . . .	40 "
Мощность разреза 102 м.	

Приведенный частный разрез, вероятно, соответствует нижней части подсвиты. На других участках (междуречье Гербикан - Эльга) подсвита сложена туфами порфиритов и туфолесчаниками. Вышепри- веденный спорово-пыльцевой комплекс, определенный А.И.Мичиной, свидетельствует о верхненерском-нижнемеловом возрасте подсвиты. На прилегающей к западу территории Л.И.Красным (1951) также среди вулканогенно-осадочных пород собраны растительные отпечатки, которые, по заключению М.И.Брик и А.М.Кристифорова, имеют верхненерско-нижнемеловой облик. Позднее здесь Ю.И.Шербина (1966) обнаружил остатки флоры, характерные для нижнего мела (отред. М.М.Кошман). Учитывая вышеуказанное, представляется логичнее принять более широкий возрастной диапазон формирования нижнеджелонской подсвиты, а именно верхняя юра - нижний мел. Мощность ее оценивается в 700-800 м.

Верхняя подсвита ( $J_3$ - $C_1$   $d_2$ ) сложена, в основном, лавами среднего состава, которые обнажаются на площади около  $700 \text{ km}^2$  по обоим берегам р.Улы. Данные аэромагнитной съемки позволяют предполагать, что эти выходы в центральной части территории листа соединяются полых рыхлыми четвертичными отложениями в единий покров. Образования подсвиты слагают также ряд тектонических блоков, а в бассейне р.Гыла несколько небольших (до 6  $\text{km}^2$ ) ксенолитов в раннемеловых гранитах. С нижней подсвятой описываемые образ-  
вания контактируют по тектоническому разрыву. На соседней с за-  
пада территорией имеются данные об их согласном залегании (Шерби-  
на, 1966). В верховье р.Хульдараки рассматриваемые породы на-  
легают на раннетретерозойские габбро-анортозиты, в междуречье  
Шевли - Гербикан перекрывают усть-тишонскую свиту. На других

участках контакты подсвиты с более древними образованиями текто-  
нические. Кроме того, она прорвана многочисленными интрузиями  
ранне- и позднемелового возраста. Шлохая обнаженность и широко  
проявленный контактовый метаморфизм не позволили более или ме-  
нее полно изучить ее разрез. В целом подсвита характеризуется  
однообразным составом и резким преобладанием широкосеновых анде-  
зитовых порфиритов над другими породами. Туфогенные образования  
(туфы порфиритов, туфо- и лавоконгломераты и туфолесчаники) тя-  
гуют к нижней и средней ее частям, дифазовые порфириты и ан-  
дезито-базальты, образующие потоки небольшой (до первых десятков  
метров) мощности, к средней и верхней частям подсвиты, дацитовые  
порфириты и их туфы - к ее верхам. На отдельных участках описыва-  
емые породы превращены во вторичные кварциты. Кроме того, в со-  
став подсвиты условно включен ряд небольших тел диоритовых пор-  
фиритов. Они рассматриваются как субвуличнические образования.  
Основанием к этому послужила их пространственная приуроченность  
к эфузивам, сходный петрографический состав тех и других, от-  
сутствие контактового воздействия на эфузивы.

Нижние горизонты подсвиты наблюдались в верховье р.Хульда-  
раки, где на раннетретерозойских габбро-анортозитах залегают  
туфо- и лавоконгломераты, содержащие тальку этих пород размером  
до 8-10 см. Значительную роль здесь играют андезитовые порфириты,  
среди которых изредка встречаются углистые туфолесчаники с  
отпечатками растений плохой сохранности. Юго-западнее (как пред-  
полагается, в сторону наращивания разреза) преобладают лавы  
среднего состава. Далее наблюдаются преимущественно псевдогипсовые  
туфы порфиритов. С нижележащими лавами они контактируют по тек-  
тоническому разрыву. Мощность этой пачки туфов не менее 400 м.  
Венчает разрез андезитовые порфириты и их лавобрекчию с полчи-  
ненными дацитовыми порфиритами, залегающими на вершине второгораздела.  
Мощность их порядка 200 м. Общая мощность подсвиты здесь оце-  
нивается в 800-900 м. На других участках района наблюдаются, по-  
видимому, лишь средние и верхние части подсвиты. Они сложены, в  
основном, широкосеновыми и пластикозовыми андезитовыми порфири-  
тами. Туфы, среди которых наблюдаются псевдогипсовые, реже псамито-  
вые и алевролитовые разности, образуют линзы и прослои мощностью  
от первых метров до 20-30 м. В качестве примера приводится раз-  
рез, предположительно средней и частично верхней части подсвиты,  
составленный в среднем течении р.Ногали. Здесь наблюдаются  
(снизу вверх):

1. Порфириты андезитовые темно-серые,

massivnye . . . . .

15 м

**2. Туфы порфиритов зеленовато-серые, алевритовые, переходные к кровле пласта в псаммитовые . . . . . 10 м**

**3. Порфириты андезитовые темно-серые, массивные, с прослоем (до 1 м) псаммитовых туфов порфиритов . . . . . 15 "**

**4. Туфы порфиритов зелено-серые, псамматитовые . . . . . 15 "**

**5. Порфириты андезитовые темно-серые . . . . . 10 "**

**6. Туфы порфиритов темно-серые, псаммитовые, грубослоистые . . . . . 55 "**

**7. Порфириты андезитовые темно-серые, массивные . . . . . 65 "**

**8. Туфы порфиритов зелено-серые, псамматитовые . . . . . 20 "**

**9. Туфы порфиритов темно-серые, псамматитовые, контроллератовидные, с прослоем (4 м) грубослоистых псаммитовых туфов в средней части пачки . . . . . 20 "**

**10. Порфириты андезитовые темно-коричневые, массивные . . . . . 180 "**

**11. Туфы порфиритов темно-зеленые, псамматитовые . . . . . 5 "**

Мощность разреза 400 м.

На отдельных участках (междуречье Кульдаакит - Гыга, бассейны руч. Ломколах и Тала) туфы слагают более мощные (порядка 100-200 м) пачки. Они обнажаются в виде полос, ориентированных согласно общему северо-восточному пространнию вулканитов. Размер этих полос достигает 4x12 км.

Наиболее распространены в составе подсвиты андезитовые порфириты. Они содержат вкрапленники андезина или лабрадора, моноклинного, реже ромбического проксена, иногда роговой обманки. В андезито-базальтах присутствует оливин. Количество вкрапленников колеблется от 5 до 60% объема породы. Основная масса имеет обычно гипаломилитовую структуру. Аксессорные минералы представлены цирконом, гранатом, ильменитом, апатитом, магнетитом, реже оферном, анатазитом, гематитом, хлоритом, эпидотом и кальцитом (табл.4). По химическому составу порфириты района в отличие от среднего типа андезитового порфирита по Р.Элли имеют меланократовый характер и обеднены цеолитами, особенно калием (табл.1, № 2, 3). По данным спектрального анализа, в них постоянно присутствуют ванадий, марганец, кобальт, иттрий, цирконий, медь и галлий.

#### Н И Ж Н Й О Т Д Е Л

**Т о л щ а к з а р д е н и х, д а ч и т о в и х и ф е л ь з и т о в и х п о р ф и р о в, и х т у ф о в и л а з о б р е к ч и й, а н д е з и т о в и х п о р ф и р и т о в и и х т у ф о в, т у ф о к о н т л о м е р а т о в (ягсы?) распространена, в основном, в северной части территории листа. Она слагает здесь значительный по площади (около 800 км<sup>2</sup>) покров. Несколько более мелких покровов (до 8-10 км<sup>2</sup>) закартированы в бассейнах рек Хульдаакит, Верх.Эльга и в других местах. Почти все они хорошо выделяются на карте изолиниями ДТ (рис.2). Небольшой выход толщи установлен в тектоническом блоке на правобережье р.Улы. Кроме того, она слагает ряд ксенолитов в раннемеловых гранитоидах. Взаимоотношение толщи с нижележащей джелонской сиеной установлено в бассейне р.Эльта. В левом берегу этой реки наблюдалось наложение лавобрекчий кварцевых порфиров на андезитовые порфириты. Контакт четкий, слабо волнистый, азимут падения его 325° под углом 25°. Здесь, как и на правобережье р.Эльга, где также изучалось взаимоотношение этих пород, по мере приближения к контакту в лавобрекчиях кварцевых порфиров резко увеличивается количество и размеры оломков андезитовых порфиритов и их туфов. Однако полученные данные не позволяют однозначно решить вопрос о согласном или несогласном залегании эфузивов кислого и среднего состава. Учитывая нахождение их в пределах единого вулканического пояса, сходный характер складчатости и близость времени формирования, предполагается согласное залегание этих образований, хотя не исключается наличие местных несогласий между ними.**

Определенных растительных остатков в описываемых образований не обнаружено. Абсолютный возраст их, определенный калий-аргоновым методом Т.К.Ковалевчук, составляет 171 млн. лет (Фролов, 1965), 1967) , 133 млн. лет (Чернинский, 1965) и 118 млн. лет (Братинский, 1965) (средняя ера - нижний мел). Верхнекурско-нижнечеловой возраст подсвity принимается на основании того, что она подстилается флористически охарактеризованной нижней подсвity, той и перекрывает нижнемеловыми отложениями оконской свиты. Мощность подсвity, по-видимому, не превышает 900-1000 м.

В целом для толщи характерна резкая изменчивость ее фациального состава, а также преобладание кислых и умеренно кислых порфиритов и их лавобрекчий, на правобережье р.Гига – туфами дацитовых и кварцевых порфиритов. Судя по весьма схематичному разрезу, составленному по р.Гига, выше залегают:

1. Туфы кварцевых порфиритов желтовато-серые, псевдитовые и псаммитовые, с линзой мощностью до 60 м дацитовых порфиритов . . . . . 220 м

2. Туфы дацитовых порфиритов зеленовато-серые, алевритовые и псаммитовые . . . . . 120 "

3. Туфы кварцевых порфиритов желтовато-серые, псевдитовые . . . . . 60 "

4. Пачка переслаивания туфоконгломератов и псевдитовых туфов кварцевых порфиритов . . . . . 50 "

5. Туфы дацитовых порфиритов сплошно-зеленые, псевдитовые . . . . . 140 "

6. Пачка переслаивания через 0,05-1,2 м псаммитовых, алевритовых и псевдитовых туфов дацитовых порфиритов . . . . . 40 "

7. Туфы дацитовых порфиритов темно-серые, псаммитовые и псевдитовые . . . . . 50-80 "

8. Туфы кварцевых порфиритов зеленовато-серые, псаммитовые и псевдитовые, реже лавобрекчи . . . . . 160-180 "

9. Цанобиотичные кварцевых порфиритов зелено-вато-серые . . . . . 320-330 "

10. Туфоконгломераты крупногальванические с галькой и ракушками ваднами до 2,5 м в поперечнике кварцевых порфиритов . . . . . 310-340 "

Мощность разреза 1470-1560 м.

По р.Ногади, где она находится, по-видимому, средние и верхние части толщи, разрез представлен в следующем виде (снизу вверх):

1. Лавобрекчи кварцевых порфиритов зеленовато-серые с прослоями (до 5 см) кварцевых порфиритов . . . . . 80 м

2. Порфирит кварцевые желтовато-серые . . . . . 70 "

3. Лавобрекчи кварцевых порфиритов зеленово-

то-серые с прослоями (0,2-1 м) кварцевых порфиритов . . . . . 120 "

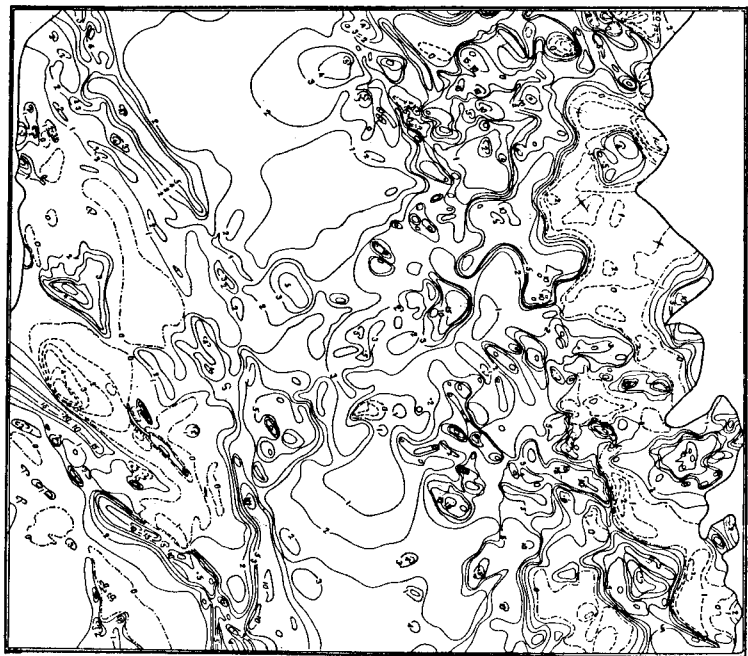


Рис.2. КАРТА АНОМАЛЬНОГО МАГНИТНОГО ПОЛЯ.

Масштаб 1:50 000

Изолинии ( $\Delta T$ ): 1 – положительные; 2 – отрицательные;

3 – нулевые



4. Лавобрекчи фельзитовых и кварцевых порфиров зеленовато-серые, участками слоистые . . . . . 230-250 м

5. Туфы кварцевых и дацитовых порфиров с прослоями (до 1-3 м) фельзитовых и дацитовых порфиров и их лавобрекций . . . . . 240-370 "

6. Лачка переслаивания темно-серых дацитовых порфиров, их лавобрекций и кварцевых порфиров . . . около 260 "

Мощность разреза I000-I150 м.

В состав толщи включено несколько небольших (до 2 км<sup>2</sup>) тел кварцевых и дацитовых порфиров и гранит-порфиров, которые рассматриваются как субвулканические. В междууречье Бол.Самая - Ногали, где предполагается наличие древней вулканической постройки, экструзия кварцевых порфиров расположается в ее центральной части. Кварцевые порфирсы оказывают сильное контактовое воздействие на вышележащие породы. Интересно, что вкрапленники кварца в них, в отличие от эфузивных кварцевых порфиров, имеют неоднородный зональный характер. Гранит-порфирсы, закартированные на воронежском разрезе рек Эльга - Колтушль, обнаруживают постепенные переходы в лавобрекции кварцевых порфиров. Залегающие среди верхнеджелонской подсвиты в верховье р.Худлацают дацитовые порфирсы по сравнению с их эфузивными аналогами значительно лучше раскрытыми. Кроме того, среди пород толщи наблюдаются полы вторичных кварцитов.

Кварцевые и дацитовые порфирсы, слагающие большую часть толщи, сложены на 20-30% объема породы вкрапленниками кварца, олигоклаза или олигоклаз-анортита, биотита, редко роговой обманки. В кварцевых порфирах, кроме того, присутствует кальевый полевой шпат в виде тонких чешуйчатых кристаллов. Кварц во вкрапленниках обычно оплавлен, иногда корродирован. Основная масса характеризуется микроСельзынистой, оберолитовой, иногда пикколофельзитовой и микролитовой (в дацитовых порфирах) структурой. Из акцессорных минералов присутствуют циркон, гранат, ильменит, иногда анатаз, тематит, сфен, апатит, магнетит, из вторичных - серпентин, реже хлорит (рис.3). Лавобрекчи этих пород содержат угловатые обломки размером от долей миллиметра до 5-7 см из того же состава, анизитовых порфиритов и их туфов, диоритовых и дабазовых порфиритов, редко анортозитов, табло, широкосланцев и пегматоидных гранитов. Среди туфов порфиритов преобладают псевдитовые и псамитовые литохристиаллюстрические разности. По химическому составу кварцевые порфириты района занимают промежуточное положение между пандитом и кварцевым порфиром по Р.Дэли и в отличие от последне-

Породы	Н-н п/п	Минералы	1		2		3	
			Порфириты	Бол.Самая	Ногали	Бол.Самая	Ногали	
Циркон	1							
бурый циркон	2							
Анатаз	3							
Сфен	4							
Апатит	5							
Гранат	6							
Ильменит	7							
Гематит	8							
Хромит	9							
Магнетит	10							

Рис.3. Распространение акцессорных минералов в верхнеюрско-нижнемеловых эфузивах и раннемеловых гранитоидах

1 - от I до 10 зерен; 2 - от II зерен до 1% фракции; 3 - свыше 1% объема фракции. Образцы I055, I03-3, I035, I035-I, I035-3, 90, 55-4, 60 - бассейн р.Верх.Эльга; I257, 241, I219, I215, I201 - верховье р.Чалхярин; I021, 842-I, 97 - бассейн рр.Бол. и Мал.Самая; II37 - низовье р.Ногали; I365-I, I56, 492-2, I290, I305-2, I305-4, 634-I, 590 - бассейн р.Эльга; I218-3, I258-9, к-266, к-267 - бассейн р.Джамну; I564; III9-I, II20-I, I801-4, 908-4, 523, 405-14, I849 - бассейн р.Гига; 426-I, 460-I, 455-I - бассейн р.Верх.Гига; I069-3 - истоки р.Ниж.Эльга; 914, 913, 924, 95 - бассейн р.Гигкан

го имеет лёгкократовый характер, обеднены калием и магнием, но содержат большие натрия, иногда кремния (табл. I, № 5, 4). Спектральный анализ показал постоянное присутствие в них берилла, марганца, циркония, иттербия, мели и галия.

Растительные остатки, собранные в тщах кварцевых породов в среднем течении р. Чалырьин, по заключению И. П. Сребродольской, напоминают роды *Sphenobaiera* и *Czekanowskia*, которые встречаются от юры до нижнего мела. Абсолютный возраст датитового поро́ра, определенный калий-аргоновым методом Т. К. Ковальчук (ДВТУ), составляет 146 млн. лет (верхний яра). Нижняя возрастная граница толщи определяется ее налетанием на верхнюю подсвиту джелонской свиты, верхняя — тем, что на прилегающей с запада площади листа № 53-ХШ (Братинский, 1966) толща несогласно перекрывает нижнелюминесцентными отложениями боконской свиты. Учитывая некоторые противоречивые данные и отсутствие флюристических доказательств, возраст толщи принимается условно нижнелюминесцентным.

Мощность ее, по-видимому, не более 1400-1600 м.

**Боконская свита несогласно наложена** (ст. 1/4) обнажается на небольших (до 3 м) изолированных участках, прилегающих к долине р. Улы. Она несогласно перекрывает в нижней р. Хульдаракит верхнюю подсвиту джелонской свиты, а на правом берегу р. Улы граничит с ней по тектоническому разрезу. Учитывая небольшую площадь выходов свиты, а вместе с тем и скученность имеющихся данных представляется неподобающим расчленение ее на подсвиты, как это сделано на прилегающих территориях (Шербина, 1966; Братинский, 1965). Сложена свита преимущественно полимиктовыми песчаниками с резко подчиненными алевролитами и конгломератами.

Нижние горизонты свиты наблюдались на левобережье р. Хульдаракит, где на размытой поверхности трещиноватых и ожелезненных андезитовых порфиритов верхней подсвиты джелонской свиты залегают (снизу вверх):

1. Песчаники зеленовато-серые, мелкозернистые с обломками размером до 2x3 мм андезитовых порфиритов . . . . . 0,75 м
  2. Пачка переслаивания зеленовато-серых алевролитов и мелкозернистых песчаников с редкими маломощными (до 5 см) прослоями каменного угля . . . . . 3,25 "
  - Мощность разреза 4,0 м.
- Далее к югу в делювиальных свалах и редких коренных обнажениях наблюдается чередование сравнительно мощных (40-70 м) пачек

желтовато- и зеленовато-серых средне- и крупнозернистых сплошных песчаников. В них иногда встречается галька и гравий гнейсовых транзитов, анергозитов, андезитовых порфиритов и кварцитов. Мощность привеленной части разреза, судя по единичным замерам элементов залегания, около 200 м. Более высокие горизонты свиты установлены в низовых рек Чогар и Нугали. У подножия сопки-останца по р. Чогар обнаруживаются (снизу вверх):

1. Песчаники желтовато-серые, среднезернистые с растительным петритом . . . . . 30 м
  2. Конгломераты буровато-серые среднегалечные . . . . . 2 "
  3. Песчаники желтовато-серые, средне- и мелкозернистые . . . . . 20 "
  4. Алевролиты и мелкозернистые песчаники зеленовато-серые тонкокомплектные с *Coniopterus hymenopteroides* (Bronn). *Seew.*, *Cladophlebis wiltschiensis* (Bronn), *Bromia*, *Phoenicopsis angustifolia* Heer, *Ginkgo digitata* (Bronn), *Heer*, *Heilungia* sp., *Czekanowskia rigida* Heer, *C. setacea* Heer . . . . . 1 "
  5. Песчаники желтовато-серые, среднезернистые . . . . . 20 "
- Мощность разреза 73 м.
- В устье р. Нугали разрез свиты следующий (снизу вверх):
1. Песчаники желтовато-серые от крупно- до мелкозернистых, обычно тонкокомплектные, иногда слоистые . . . . . 35 м
  2. Песчаники желтовато-серые, крупнозернистые, гравелистые . . . . . 25 "
  3. Песчаники зеленовато-серые, мелко- и крупнозернистые, с редкими прослоями (до 1 м) алевролитов с *Colopteris ptychophyllum* (Heer) Vachr., *C. saporitana* (Heer) Vachr., *C. arctica* (Pryn.) Sam., *Cladophlebis* sp., *Aldania* sp., *Elatocladus* aff. *manchurica* (Tok.) Tabe . . . . . 20 "
  4. Песчаники желтовато-серые, крупнозернистые . . . . . 5 "
  5. Песчаники желтовато-серые, мелко- и среднезернистые, с единичными прослоями (до 0,3 м) алевролитов . . . . . 15 "
- Вышеупомянутый комплекс фаций, по заключению М. М. Комман, характеризует нижнелюминесцентный возраст боконской свиты. Общая мощность ее, с учетом трапециметрических данных, оценивается в 500-600 м.

## ЧЕТВЕРТИЧНАЯ СИСТЕМА

### Нижнечетвертичные отложения ( $Q_1$ )

Рассматриваемые отложения распространены в долинах рек Уда, Галам, Милькан и Эльта, где они составляют аккумулирующую часть высокой - 60-80-метровой и низкой - 25-60-метровой поклонных и аккумулятивных террас. По генезису они разделяются на аллювиальные и озерные. Представлены отложениями суглинками, глинами, гальчниками, песками, валунами и торфом, причем среди озерных об разований преобладают глины. Вследствие плохой обнаженности полный разрез рассматриваемых отложений не составлен. Верхние части их разрезов приведены на рис.4. Наличие в спорово-пыльцевом комплексе из этих отложений таких теплолюбивых форм как *Juglans*, *Ulmus*, *Quercus* и реликтов третичной фации *Tsuga*, по заключению И.Б.Мамонтовой, характеризует их нижнечетвертичный возраст.

### Среднечетвертичные отложения ( $Q_2$ )

Описываемые отложения развиты в долинах всех крупных рек района, где они сложены аккумулятивной частью 12-15 и 18-20-метровых аллювиальных и поклонных террас. Они делятся по генезису на аллювиальные и озерные. Представлены эти отложения галечниками, валунами, песками, супесями, суглинками и глинами. В естественных обнажениях, приуроченных к подъемам реками участкам террас, наблюдались верхние части разреза аллювиальных отложений (см.рис.4). Для них характерна значительная железистость отдельных горизонтов и преобладание бурых тонов окраски в отмеченные обнажениях, практически не обнажены, их верхняя часть сложена глинами и суглинками. В спорово-пыльцевом спектре описываемых отложений преобладает пыльца древесной и кустарниковой бересни (Betula costata, B. platyrhyncha, B. donurica, B. schmidtii, B. exilis, B. ovalifolia, B. middendorffii) и споры сфагнового мха и папоротника. Встречается пыльца ольхи и широколистственных пород. Ланцет спектр, по мнению И.Б.Мамонтовой, определяет среднечетвертичное время.

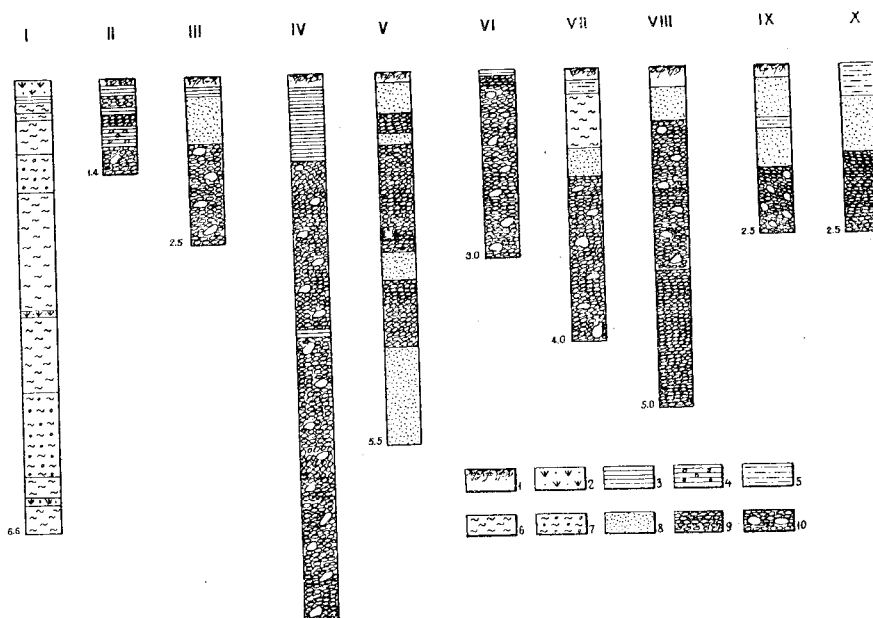


Рис.4. Разрезы четвертичных отложений. Масштаб I:500

I-II - нижнечетвертичные отложения (I - правобережье р.Галам, скв.2; II - правобережье р.Галам, скв.201; III - левобережье р.Гига, скв.210); IV-V - среднечетвертичные отложения (IV - правобережье р.Галам, т.н. 825; V - устье р.Эльга, т.н. 131); VI-VII - верхнечетвертичные отложения (VI - нижняя часть, устье р.Лагал, т.н. 206; VII - верхняя часть, левобережье р.Уды, т.н. 1881; VIII - нерасчлененные, правобережье р.Гига, т.н. 2141); IX-X - современные пойменные отложения (IX - левобережье р.Чогар, т.н. 2076; X - правобережье р.Уды, т.н. 854). 1 - почвенно-растительный слой; 2 - торф; 3 - суглинки; 4 - суглинки с галькой; 5 - супеси; 6 - глины; 7 - глины с галькой; 8 - пески; 9 - галечники; 10 - галечники и валуны

## В е р х н е ч е т в е р т и ч н ы е о т л о ж е н и я

отражавший период холодного, умеренно влажного климата верхнечетвертичного времени.

### Нижняя часть ( $Q_1^{1}$ )

Отложения верхнечетвертичного возраста выделяются в междуречье Уда - Чагар и в восточной части долины р.Уда. Ими сложена аккумулятивная терраса высотой 8-10 м. Они представлены галечниками, гравием, песками, валунами, суглинками. Наиболее характерные разрезы их приведены на рис.4. В этих отложениях были обнаружены комплекс спор и пыльцы, отражающий березово-хвойный типрастительности (определ. И.Б.Мамонтовой). Наличие пыльцы *Betula schmidtii*, *Corylus* и *Pinus*, не пропастивших в настоящее время в районе, позволяет отнести время формирования описываемых отложений к периоду поселения верхнечетвертичной эпохи.

### Верхняя часть ( $Q_2^{2}$ )

Отложения верхней части представлены двумя генетическими типами: аллювиальными и ледниковыми.

Аллювиальные отложения выделяются в долинах рек Уды и Чагара, где они слагают аккумулятивные террасы высотой 4-6 м. Состав их следующий: галечники, валуны, пески, супеси, суглинки. Разрезы изложены на рис.4. Они сравнительно хорошо дифференцируются на аэродостоснимках и нередко отделены от вышеописанной нижней части верхнечетвертичных отложений углублом высотой до 0,5-1 м. В них содержатся (в %) пыльца преимущественно хвойных пород *Picea* - до 19, *Abies* - до 2,6, *Rhus Narroxylon* - до 22, *R. virgata* - до 8 и несколько меньше спор *Sphagnum*, *Lycopodiophytum*, *Foligodiaceae* и др. По заключению И.Б.Мамонтовой, указанный комплекс характеризует период походления верхнечетвертичной эпохи.

Ледниковые отложения в виде морен горно-долинного оледенения установлены в северо-западной части района. Они выполняют днища каров и проглов. Длина морен составляет 2-2,5 км, ширина 0,2-0,6 км. В их составе преобладают глыбы и лишь в пределах конечной морены попадаются валуны I-II класса окатанности и значительное количество (до 30%) суглинков, супеси и дресвы. Современные водотоки прорезают ледниковые отложения на глубину до 15 м. Из аналогичных отложений на прилегающей с запада территории (Братинский, 1967) был получен спорово-пыльцевой комплекс,

### С о в р е м е н н ы е о т л о ж е н и я

Современные отложения изучаемой территории ( $Q_{IV}$ ) включают аллювиальные, элювиально-делювиальные и пролювиальные образования. К аллювиальным отложениям относятся фауны русел и образований высокой и низкой полынь, состоящие из галечников, валунов, песков и супесей. Разрез высокой полыни показан на рис.2. Состав палеонтологического спектра из этих отложений, по заключению И.Б.Мамонтовой, отражает современную растительность. Элювиально-делювиальные образования покрывают почти склонами и вершинами склонов и представлены скоплением глыб, щебня и дресвы с песчано-глинистым заполнителем. Мощность их достигает 3-4 м.

Пролювиальные отложения встречаются редко. Они слагают конус выноса площадью не более 200-400 км<sup>2</sup>, состоящий из неотсортированных галечников и супесей с примесью щебня, глыб и дресвы. Мощность этих отложений обычно не превышает 5-6 м.

## ИНГРУЗИВНЫЕ ОБРАЗОВАНИЯ

### РАННЕГОРОЗОВЫЕ (?) ИНГРУЗЫ

А н о р т о з и т и и г а с б о - а н о р т о з и т ии ( $\text{v} \delta \text{pt}_1 ?$ ); Т а б о р о , Т а б о р о - н о р т о з и т и и н о - т е л и т и и ( $\text{v} \text{pt}_1 ?$ ); П и р о к с е н и т и и а м ф и б о л и - т и и ( $\text{v} \text{pt}_1 ?$ ); О л и в и н и т и и , П и р о к с е н и т и и , П е р и д о т и т и и , С е р п е н т и н и т и и а м ф и б о л и т и и ( $\text{g} \text{pt}_1 ?$ ) обнаруживаются в тектоническом блоке северо-восточного направления, который протягивается от верховья р.Эльга

до правобережья р.Милькан. Видимые его размеры составляют 8-12x31 км. Он хорошо выделяется по данным гравиметрической и аэромагнитной съемок. В этом блоке обнаружено северо-восточное окончание крупной дифференцированной интрузии основного и ультраосновного состава, известной под названием Баладской (Красный, 1951г.). В ее пределах отчетливо выделяются несколько зон, сложенных породами различного состава и тесно связанных между собой в зоне переходов. Простирание их согласное с общим направлением интрузии.

Зона анортозитов и габбро-анортозитов расположается по периферии интрузии. Внешние края зоны сложены соскертинизированными анортозитами и реже лабрадоритами. По направлению к средней части интрузии они постепенно обогащаются темноцветными минералами, переходя сначала в крупно- и гигантозернистые габбро-анортозиты, а затем в юго-восточной части интрузии габбро-анортозиты и анортозиты в значительной мере перекрыты средне- и верхнеделонскими отложениями. С габбро и, вероятно, с ультраосновными породами они контактируют здесь по тектоническим разломам. В переходной полосе к габбро, а иногда и вдали от них габбро-анортозиты обогащены тематитом и ильменитом. Ширина выхода рудноносных пород на правобережье р.Галам составляет не менее 1,5 км. На всем протяжении (около 14 км) эти породы фиксируются положительной аэромагнитной аномалией интенсивностью до 1500-2000 гамм. В юго-западной части интрузии в зоне разлома северо-восточного направления габбро-анортозиты и анортозиты превращены в альбит-хлорит-актинолитовые и кварц-каранат-серпентитовые сланцы. В бассейне руч.Сородо вблизи контакта с раннепротерозойскими платигранитами они интенсивно окварцованны.

Зона габбро, габбро-норитов и норитов протягивается параллельно вышеописанной от устья руч.Иликан до правобережья р.Милькан. Ширина ее варьирует от 1 до 4 км. На юго-востоке интрузии габбро обнаружается в тектонических блоках на левобережье рек Большой Милькан и Милькан. Эта зона сложена в основном среднезернистыми амфиболитизированными массивами, реже полосчатыми габбро. Другие разности играют подчиненную роль. На границе с широконитами преобладают полосчатые габбро. В последних темноцветная часть резко обособлена от лейкократовой, образуя участки линзовидной, реже широобразной формы. Ширина полос различного состава колеблется от нескольких миллиметров до 10-20 см, реже 1-2 м и более. Состав меланократовых участков изменяется от габбро и меланократовых габбро до пироксенитов: лейкократовые участки сложены анортозитом.

Зона пироксенитов и амфиболитов, постепенно сменяющая вышеописанную, имеет более скромные размеры (0,7-2,8x13 км). Внешняя часть зоны сложена мелко- и крупнозернистыми, иногда порфировичными амфиболитами и амфиболизированными пироксенитами, с линзами (размером до 30x300 м) гранатодержащих широкогаббро, а в пироксенитах иногда отмечаются маломощные (2-4 см) линзовидные обособления анортозитового состава. Далее к юго-востоку преобладают среднезернистые амфиболизированные пироксениты, среди которых наблюдаются практические неизмененные пироксениты, сдвиги, по-видимому, линзообразные тела размером до 150x200 м. В последних, а также в гранатодержащих пироксенитах установлена сульфидно-никелевая минерализация. В этой части зоны иногда встречаются серпентиниты.

Зона оливинитов, пироксенитов, перидотитов, серпентинитов и амфиболитов расположается в центральной части интрузии. С окруждающими породами она почти на всем протяжении имеет тектонические контакты. В междуречье Большой Милькан - Милькан по делению свалам намечается постепенная смена пироксенитов винеоди-зональной зоны серпентинизированными оливинитами. Предполагается, что породы описываемой зоны, наряду с другими, принадлежат южной интрузии. На это указывает появление оливинитов и перидотитов волей за широкосенитами и наличие среди них общих со смежной зоной пород (широкосенитов и серпентинитов). Сложена зона преимущественно серпентинизированными оливинитами, серпентинитами, серпентинизированными и амфиболизированными пироксенитами. Серпентинизированное перидотиты и амфиболиты встречаются реже. Вдоль юго-западного тектонического контакта зоны распространены рассланцованные карбонат-серпентитовые породы. Все эти породы обычно содержат повышенное количество рассеянного магнетита и отчетливо фиксируются линейно-ваточкой положительной аэромагнитной аномалией напряженностью до 1500 гамм.

Таким образом, в пределах рассматриваемой интрузии наблюдается вся гамма переходов от анортозитов до оливинитов, причем ультраосновные породы расположаются в средней части интрузии, габбророды, а затем габбро-анортозиты и анортозиты - на ее периферии. Судя по единичным замерам элементов первичной полосчатости пород, они наклонены на северо-запад и юго-восток от средней части интрузии под углами от 25 до 80°. Преобладание в ее составе основных пород позволяет считать все вышеописанные образования дифференциатами габбродной магмы.

Другая интрузия основного состава закартирована в северо-западной части территории листа. Она представляет собой северо-восточное окончание раннепротерозойского (?) массива габро-анортозитов, анортозитов, габро-норитов, норитов и пироксенитов, описанного С.М.Брагинским (1967) под названием Чогарского. Площадь массива в пределах рассматриваемого района около 12 км<sup>2</sup>. Он имеет сложную конфигурацию, обусловленную разрывной тектоникой, прорван позднемеловыми гранитами, раннемеловыми габро и диоритами и перекрыт в иной части Джалонской свитой. Сложен массивом, в основном, метасоматически переработанными гнейсированными, реже катаклизованными и рассланцованными габро-анортозитами. Более свежие их разности встречаются редко. В связи с плохой обнаружностью и однобразным составом пород строение массива остается не изученным.

Анортозиты - белые и светло-серые, массивные, реже полосчатые крупно- и гигантозернистые породы. Редко встречаются лимпистая. Составят они из соссритизированного андезина, реже лабрадора (90-95%) и моноклинного и ромбического пироксена (до 10%), который обычно замещается хлоритом, амфиболом и эпидотом. Габро-анортозиты отличаются от анортозитов лишь более высоким содержанием темнопиетных минералов (до 20-30%) и наличием габровой структуры. В некоторых разностях габро-анортозитов содержатся от 10 до 20, реже более процентов гематита и ильменита, об разуемых рассеянную, иногда гнейзовую выкристалленность. Метасоматические изменения габро-анортозиты имеют обычно гранобластовую структуру и состоят из кварца (до 30%), кальевого полевого шпата (35-70%) и роговой обманки (10-20%). Первичные минералы (шигтоклаз и пироксен) сохранились в виде отдельных реликтовых зерен. Приведенные в таблице I (№ 6) данные химического анализа анортозита показывают, что в отличие от среднего состава анортозита по Р.Дэли, в нем содержится несколько повышенное количество щелочей и магнезии.

Габро, габро-нориты и нориты характеризуются габровой или реликтовой габровой структурой. Они различаются между собой по содержанию моноклинного и ромбического пироксена, количество которого в породах колеблется от 35 до 70%. Шигтоклаз представлен лабрадором и обычно замещен эпидотом, альбитом, хлоритом. По первичному пироксену, как правило, развиваются актинолит и хлорит. Химический состав норита из бассейна р.Бол.Мелькан отличается от среднего типа норита по Р.Дэли пониженным количеством щелочей и известия (табл. I, № 7).

Пироксениты представлены в основном вулканическими. Они имеют гипабиссимальоморфно-зернистую, иногда венцовую структуру и состоят из исклоненного (30-70%) и ромбического (20-80%) пироксена. В небольших количествах (1-5%) присутствуют магнетит, шинель, редкий лабрадор, оливин и гранат (альмандин). Иногда наблюдается редкий (до 5%) вкрапленность пирротина, халькопирита, пентландита. Редко встречаются пироксениты, состоящие из ромбического пироксена.

Интенсивно амфиболизированные пироксениты и амфиболиты сложены в основном амфиболитом (до 70-90%), эпидотом и цимзитом. Нередко в них присутствуют реликтовые зерна пироксена (до 15%). По химическому составу большинство пироксенитов занимает промежуточное положение между средними типами горноледитов и пиллитов, что, по-видимому, связано с амфиболитизацией пород района (табл. I, № 8-15). Встречаются разности, близкие к бронзитам.

Пироксениты района обделены щелочами и известью и несколько обогащены магнезией.

Перидотиты - мелковзернистые породы с панициноморфно-зернистой структурой. Они состоят из оливина (до 40%), ромбического (20-30%) и моноклинного (20-40%) пироксена и небольшого количества (до 5%) магнетита и шпинели. Вторичные минералы представлены серпентином, агвизилитом, хлоритом и карбонатом. Количество их в отдельных разностях достигает 50-60%.

Оливиниты - мелковзернистые серпентинизированные породы. Структура их петелеватая. Они сложены на 90-95% оливином и развалывающимся по нему серпентином. Из других минералов присутствуют шинель и магнетит (до 7-8%). По данным химического анализа (табл. I, № 16, 17) дуниты района отличаются от среднего состава аналогичной породы по Р.Дэли меньшим содержанием извести, щелочей и магнезии.

Серпентиниты и интенсивно серпентинизированные дуниты и перидотиты почти целиком состоят из хризотила, бастита и небольшого количества магнетита (3-6%). Нередко в них отмечается карбонат. Структура пород сноповидная, псевдоморфная.

Спектральный анализ пород Баладекского интрузивного комплекса показал, что общими для них микроэлементами являются титан, ванадий, марганец и медь (см.рис.5). В анортозитах и габро-анортозитах, кроме этих элементов, присутствуют барий, стронций, цирконий и галий, а в габброродиках и ультрабазовых породах - хром, кобальт и никель. Важно отметить, что габро и ультрабазиты характеризуются практически одинаковым набором микроэлементов.

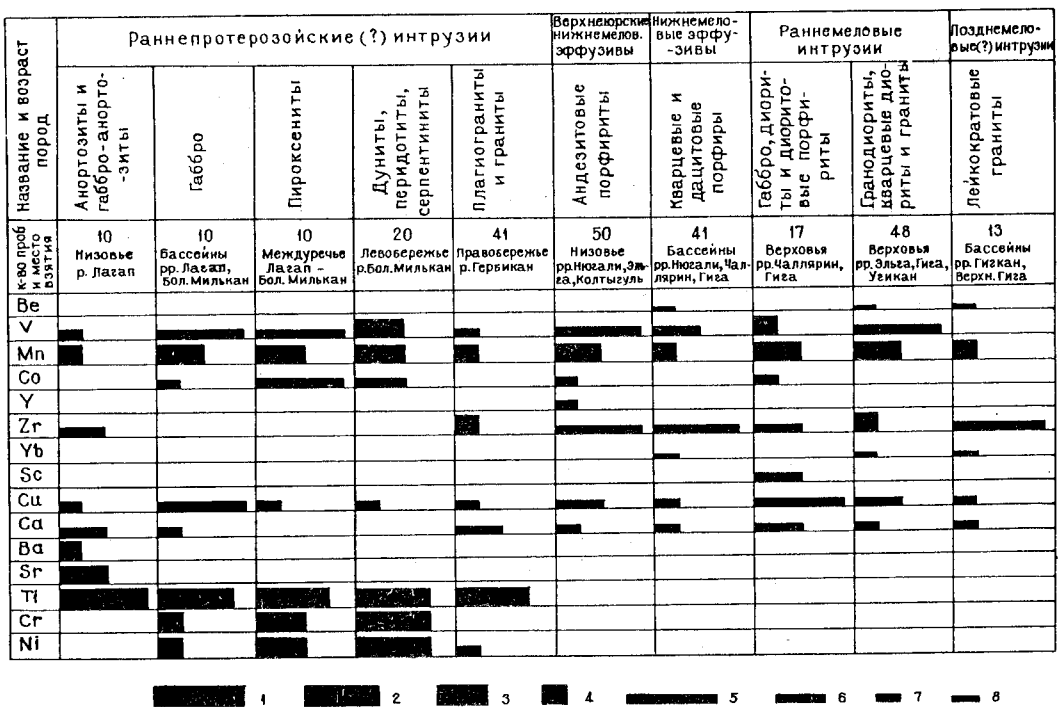


Рис.5. Среднеарифметическое содержание некоторых химических элементов в магматических породах района по данным спектрального анализа

1 - 0,6%; 2 - 0,1-0,3%; 3 - 0,04-0,07%; 4 - 0,01-0,03%; 5 - 0,005-0,007%; 6 - 0,003-0,004%;  
7 - 0,001-0,002%; 8 - 0,0001-0,0003%

Они имеют также общие черты химического состава (по сравнению со средними типами по Р.Далк обеднены цеолитами и известком). Значение отношения матки к железу в породах комплекса колеблется от 0,89 в анортозитах до 3,39 в пироксенитах и лишь в оливинитах достигает 7,62. вместе с тем оливиниты содержат повышенное количество матки. Все это является одним из доказательств образования как основных, так и ультраосновных пород комплекса из единой матки основного состава.

Комплекс жильных пород, связанный с описываемыми интрузиями, представлен диабазовыми порфиритами и диабазами ( $\text{P}_t\text{-P}_t$ ), микрогаббро ( $\text{P}_t\text{-P}_t$ ), пироксенитами и амфиболитами ( $\text{P}_t\text{-P}_t$ ). Преслающим простиранием даек является северо-восточное. Контактовые изменения во вмещающих породах практически отсутствуют.

Дайки диабазовых порфиритов и диабазов распространены в юго-восточной части штоками среди анортозитов и габбро-анортозитов. Мощность их составляет 1-4, редко 20 м, протяженность от первых десятков метров до 250-300 м. Встречаются как крутое дамбы (50-85°), так и пологопадающие (10-30°) дайки. Реже наблюдаются даеки сложного ветвистого строения. Диабазы и диабазовые порфириты состоят из беспорядочно расположенных листов соссюритизированного пироксена (45-50%), промежутки между которыми выполнены моноклинным пироксеном (40-50%) и рудным минералом (5%).

Дайки микрогаббро встречаются как среди габбро, так и ультрасословных пород. Выделяемая мощность их не превышает 8 м. Они сложены соссюритизированным пироксеном (40%) и пироксеном (60%), почти нацело замещенным актинолитом и хлоритом.

Пироксениты и амфиболиты образуют маломощные (до 1-3 м) дайки среди анортозитов и габбро. Состав пироксениты, в основном, из амфиболитизированного пироксена, который в амфиболитах полностью замещен актинолитом, хлоритом и эпидотом.

Породы Баладского комплекса в бассейнах рек Мелькан и Большой Милькан транстресивно перекрыты средне- и верхнедевонскими отложениями. С нижнекембрийскими отложениями они имеют тектонические контакты, но находки в Ушайданской свите обломков анортозитов и амфиболитов позволяют предполагать докембрийский возраст пород комплекса. На это указывает и отсутствие жильных образований комплекса в отложениях раннего кембрия. Абсолютный возраст габбро с правобережья р.Лагап, определенный по валовому камню в лаборатории ДГТУ, составляет 550 млн. лет (нижний кембрий). Учитывая вторичные изменения породы, эта цифра, скорее всего зан-

жена X/. По петрографическим особенностям и условиям залегания Байкальский комплекс и Чигиринский массив сходны с Джульярским анонтозитовым массивом, возраст которого также условно определен, как раннепротерозойский (Молкин, 1964).

Лейкократовые платиграниты и граниты ( $\text{I}_{\text{C}}\text{-Pt}_1$ ), биотитовые и биотит-ротовобоманковые граниты ( $\text{I}_{\text{Rt}}$ ?), платиграниты и платиграниты ( $\text{I}_{\text{Pgt-Pt}_1}$ ) слагают ряд массивов в южной части территории листа.

Тохиканский массив, расположенный в междуречьях Шевли - Гербикан и Пербикан - Эльты, является наиболее крупным из них. Площадь его в пределах листа около 65 км<sup>2</sup>. Контакты массива с окружающими породами, как правило, тектонические. Массив сложен, в основном лейкократовыми микроклинизованными платигранитами. Реже встречаются лейкократовые граниты. Биотитовые и биотит-ротовобоманковые граниты преимущественно вдоль юго-восточного края массива. Взаимоотношения между этими разновидностями из-за плохой обнаженности не наблюдалось. На карте изображам  $\Delta$  Т массиву соответствует довольно спокойное поле, характерное, по мнению Н.Г. Романовского (1966), для плитообразного тела, полого падающего к юго-востоку.

В бассейнах рек Бол. Милькан и Милькан лейкократовые платиграниты и граниты, а также платигранит-порфирь обнажаются в тектонических блоках и в эрозионных "окнах" среди средне- и верхнегеоморских отложений. Площадь их выходов не превышает 1-2 км<sup>2</sup>. Вмешающимися породами являются анонтозиты и табако-анортозиты Байдарского комплекса. В истоках руч. Сородо, вблизи контакта лейкократовых платигранитов с анонтозитами, последние интенсивно окварцеваны и прорваны дайками платигранит-порфиров, связанных с расщепляемыми гранитидами. Резкие контакты подобных гранитов с раннепротерозойскими породами основного и ультраосновного состава наблюдались также на сопредельных территориях (Мамонтов, 1965; Брагинский, 1967). В отличие от пород Тохиканского массива, гранитиды, распространенные в юго-восточной части плато, сильнее катаклизированы и менее интенсивно окварцеваны.

Лейкократовые платиграниты - серые, розовато-серые, мелко- и среднезернистые породы массивной или гнейсовидной текстуры.

X/ Часть пород Байкальского комплекса при дальнейших исследованиях, по возрасту, видимо, окажется более молодой, в частности, раннедалеозойским, связанным с Байкальскими движениями (Прил.рел.).

Структура их гипидоморфнозернистая, иногда катакластическая. Они сложены серпентинизированным олигоклазом, редко андезитом (60-70%), кварцем (25-35%), биотитом или роговой обманкой (до 3%). В микроклинизованных разностях наблюдается замещение платигранита микропиритом или микроперитом. Количество вторичного кальевого полевого шпата достигает 10-15, реже 50-60%. Из акцессориев присутствуют широкон, бурый шпинел, анатаз, сферен, ильменит, иногда оранжит и гранат.

Лейкократовые, биотитовые и биотит-ротовообманковые граниты - массивные, реже гнейсовидные породы с гипидоморфнозернистой, иногда катакластической структурой. Составляет они (в %) из олигоклаза - 25-30, микропирита и микроперита - 30-40, кварца - 25-35, биотита - до 7, роговой обманки - до 10. Аксессорные минералы представлены теми же разностями, что и в платигранитах. Метасоматически измененные граниты содержат вторичный микроклин светлого оттенка.

Платигранит-порфирь - массивные, иногда гнейсовидные породы с порфировой структурой. Вкрашеннники, составляющие 15% объема породы, представлены интенсивно серпентинизированным олигоклазом и кварцем. Основная масса имеет аллотриморфнозернистую структуру и состоит из микрозернистого агрегата кварца и платигранита.

Химический анализ гранитов (табл. I, № 18, 19) показал, что их состав колеблется от нормальных гранитов до аляскитов по Р.Дэли.

По данным спектрального анализа (рис. 5), платиграниты и граниты постоянно содержат титан, медь, ванадий, никель, марганец и цирконий. Реже в них присутствуют ниобий, иттрий, иттербий, церий и другие микроэлементы. С гранитоидами Тохиканского массива связаны промывания урана и тория.

Кильные образования, пространственно связанные с описываемыми гранитоидами, представлены платигранит-порфиром ( $\text{I}_{\text{Pgt-Pt}_1}$ ) и аллитами ( $\text{I}_{\text{Pt}_1}$ ). Дайки платигранит-порфиров встречаются в верховье руч. Сородо. Пространение их северо-западное, мощность колеблется от 10-15 до 50 м, протяженность достигает 120-200 м. Кон тактовые изменения вмешающихся анонтозитов и диабазов выражены в слабом окварцевании. Платигранит-порфир содержит вкрашеннники серпентинизированного олигоклаза или андезина, кварца, иногда хлоритизированного биотита. Количество их составляет 10-15% объема породы. Основная масса имеет аллотриморфнозернистую структуру и состоит из тех же минералов. Аллиты закартированы в прегорах Тохиканского массива. Видимая мощность их, судя по делювальным сwałям, достигает 100 м. Они состоят из камлевого полевого шпата

(50–60%), кварца (30–35) и плагиоклаза (5–15%).

Описываемые гранитоиды перекрываются средне- и верхнедевонскими отложениями. На прилегающей к югу территории на них трансгрессивно залегают породы нижнего ордовика (Мамонтов, 1965б). Судя по довольно многочисленным находкам аналогичных гранитоидов в нижнекембрийских отложениях, последние, по-видимому, также перекрывают их. Кроме того, обращает внимание расположение массивов плагиогранитов по периферии дифференцированных образований Балт-декского комплекса, причем они находятся или среди анортозитов или вблизи них. Подобная пространственная связь этих пород установливается и на соседних территориях, где их возраст считается раннепротерозойским (Брагинский, 1967; Мамонтов, 1965б). Учитывая вышесказанное, предполагается, что описываемые гранитоиды сформировались в докембрийское время и вместе с интрузиями основных и ультраосновных пород слагают выходы протерозойского освоения.

#### РАННЕМЕЛОВЫЕ ИНТРУЗИИ

Раннемеловые интрузии распространены в основном на левобережье р.Улья, где тесно ассоциируют с верхнедевонско-нижнемеловыми вулканогенными образованиями. Сформировались они в две фазы. Первая фаза представлена мелкими телами основного и среднего состава, вторая – главная – более крупными интрузиями гранитоидов. Они имеют гипабиссальный характер, что подтверждается преобладанием в их составе порфировидных разностей. Цепочечное расположение интрузий указывает на их связь с глубинными разломами. Из других особенностей раннемеловых интрузивных образований следует отметить неоднородность их состава, обилие мелких (до 10–20 см) ксенолитов вымещающих пород и отсутствие петматитовых жил. Кроме того, с ними связаны незначительные проявления полиметаллов, иногда молибдена.

Таборо ( $\text{Scr}_1$ ), диориты ( $\text{Scr}_1$ ) и диориты-пириты ( $\text{Scr}_1$ ) слагают небольшие (от 0,5 до 6 км<sup>2</sup>) штоки среди вулканогенных образований среднего и южного состава. Задеты на контактах с ними обычно превращены в биотитовые роговики, иногда шпатитизированы. Ширина контактовых ореолов не превышает 100–200 м. Ряд мелких тел таборо и диоритов, прорвавших раннепротерозойские габбро-энтитозиты и гранитоиды, закартирован в верховье р.Кульдаакит и на правобережье р.Гербкан. Кроме того, габбро слагают ксенолиты среди раннемеловых

гранитоидов. Взаимоотношение их налождалось в верховье р.Верх.Гиана. Здесь на контакте с гранитоидами габбро частично перекристаллизованы и приобретают порфировидный и меланократовый облик. Конакт между ними неровный апффицитный. Азимут падения его изменяется от 260 до 310°, угол падения – от 40 до 80°. В гранитоидах отмечается ксенолиты габбро угловатой формы размером до 20 см в поперечнике. Большинство штоков габбро, а нередко диоритов и диоритовых порфиритов хорошо фиксируются ароматитной стекловидной в виде положительных локальных аномалий изометричной формы. Сравнительно крупное (6 км<sup>2</sup>) тело габброродов располагается в верховье р.Чалмакрин. Центральная его часть сложена оливин-габбро, габбро-норитами и норитами. По данным В.Н.Мошкина (1954), встречаются также троктолиты. Краевая фауна интрузии представлена лиоритами. Иногда в габбро отмечается первичная полосчатость, обусловленная наличием полосовидных и линзовидных обособленных лейкократового и меланократового состава. Элементы залегания этих обособлений (260–320°, 60–70°) подчеркивают северо-восточное уединение интрузии. На левобережье р.Хульдаакит в краевых частях штоков габбро отмечается кроме диоритов проксеновые лиоритовые порфириты. На других участках описываемые интрузии сложены исключительно габбро. Габбро – темно-серые массивные, реже полосчатые породы среднезернистого, иногда мелко- и крупнозернистого сложения. Структура их габбровая. Они сложены лабрадоритом или андезин-лабрадоритом (45–75%), моноклинным широкосмыканием, присутствует ромбический пироксен, в норитах темно-цветные представлены только ромбическим широкосыном. Оливиновые разности содержат до 10–15% оливина. Вторичные изменения пород проявлены слабо. Приведенный в таблице I (№ 20, 21) химический анализ двух образцов габбро показал, что по составу они отличаются от средних типов габбро по Р.Дэлк пониженным содержанием цирконов, особенно кальфа.

Штоки диоритов имеют довольно однообразное строение. Иногда в их краевых частях появляются мелкозернистые разности диоритов или диоритовые порфириты. Преобладают среднезернистые массивные и порфировидные диориты с пикритически-зернистой структурой. Они состоят из андезина (60–70%), моноклинного широкосына или ромбовой обманки (30–40%). Редко отмечается кварц (до 10%). Аксессорные минералы представлены альбитом, сфееном, магнетитом, вторичные – хлоритом, серцитом и эпидотом.

Тела диоритовых порфиритов закартированы в бассейнах рек Чага, Эльга, Верх.Эльга и Больш.Самая. Они, как и вышеописанные

интрузии габбро и диоритов, часто контролируют разрывные нарушения или располагаются вблизи них. Диоритовые порфириты оказываются довольно слабое контактное воздействие на вымещающие их эфузивы. Ширина контактовых ореолов обычно не превышает первых десятков метров. На левобережье р. Самая они, в свою очередь, прорывают раннегнейзовыми гранодиоритами. Диоритовые порфириты — массивные породы с порфировой структурой. Вкрапленники, слагающиеся между ними изометричных зерен пироксена. Иногда отмечается масса состоит из мелких листов птицеклаза и выполняющих промежутки между ними изометричных зерен пироксена. Иногда отмечается кварц, ручный минерал, апатит и сфен.

Жильные породы, связанные с описываемыми интрузиями, представлены микротабборо ( $\text{УСГ}_1$ ), дикабазовыми порфиритами и дикабазами ( $\text{РЧСГ}_1$ ). Микротабборо встречаются в верховье р. Чальярин. Здесь они в виде серии лаек мощностью от 1-2 до 12 см прорывают среднезернистые габбро. Контакты с вымещающими породами четкие, ровные. Простирание даек северо-западное и северо-восточное. Микротабборо-мелкозернистые породы, состоящие из лабрадора (50%), моноклинного широкогена (45%) и магнетита (5%). Даики дикабазовых порфиритов и дикабазов наблюдается в различных частях района, но чаще волнистые вышеописанные интрузии габбро и диоритов. Мощность их колеблется от первых метров до 10-15 м. Контактовое воздействие на вымещающие породы проявляется в их слабом уплотнении, иногда карбонатизации. Преобладающее простирание даек северо-восточное. Дикабазовые порфириты и дикабазы состоят из беспорядочно расположенных лейст шпатоклаза (40-60%), промежуточками между которыми выполнены моноклинным широкогентом.

Раннегнейзовской возраст описываемых интрузий принимается на основании того, что они руют верхнегорско-нижнегнейзовые эфузивы и, в свою очередь, прорываются гранитами второй фазы, которые также считаются раннегнейзовыми. Не исключено, что некоторые габбро и диориты могут оказаться более молодыми (например, позднегнейзовыми).

**Гранодиориты ( $\text{УСГ}_1$ ), кварцевые диориты — порфириты ( $\text{РЧСГ}_1$ ) и гранодиориты ( $\text{РДСГ}_1$ ) слагают ряд массивов и щитов на левобережье р. Улы. Вымещающими породами являются верхнегорско-нижнегнейзовые эфузивы среднего и кислого состава, которые в контактах с интрузиями в зоне шириной от 10-20 м до 0,5 км превращены в олигитовые, реже биотит-роговообманковые роговики, содержащие магнетит, иногда широкоген, пирит, гранат. Непосредст-**

венные контакты гранитоидов с вулканогенными породами наблюдаются по рекам Гыга, Кульдакыт, Бол. Самая. От гранитоидов в залежи отходят альбизы, сами граниты содержат многочисленные ксенолиты вулканитов. В плане описываемые интрузии, как правило, ориентированы длинными осами в северо-восточном направлении. Большая их часть обладает повышенной магнитностью и выделяется на карте изодинам АТ в виде положительных аномальных полей или отдельных аномалий (см.рис.2).

Наиболее крупный массив гранитоидов наклонится в северо-западной части района. Площадь его в пределах территории листа около 350 км<sup>2</sup>. Массив сложен преимущественно среднезернистыми порфировидными гранодиоритами. Кварцевые диориты и гранодиориты распределены в основном на краях массива, граниты тянутся к его внутренней части. Между этими породами, как и в других интрузиях, установлены постепенные переходы. Наблюдения над контактами массива по р. Гыга показали, что поверхности контактов наклонены в сторону вымещающих пород, иногда в сторону массива по углами 50-85°. К юго-востоку от этого массива на водоразделе рек Гыга — Эльга закартировано еще три небольших (от 0,4 до 20 км<sup>2</sup>) тела сложенных кварцевыми диоритами и гранодиоритами. Судя по данным аэромагнитной съемки, они, по-видимому, соединяются на глубине с вышеописанным массивом.

Близ северной границы района распределяется ижное окончание другой крупной интрузии. Она сложена в основном гранодиоритами. В ее юго-восточной части фиксируются кварцевые диориты, в восточной — небольшие выходы гранитов. Такое расположение отдельных фрагментов на современном эрозионном срезе может быть обусловлено неизвестностью краевых интрузий, различным наложением поверхности ее контактов и, вероятнее всего, связано с явлениями гибридизма.

Закартированный в северо-восточной части района массив площадью около 30 км<sup>2</sup> имеет сходное строение с вышеописанными. Он хорошо выделяется аэромагнитной съемкой в виде положительной аномалии сложного строения. Расположенный в пределах этой аномалии на левобережье р. Верх. Эльга шток гранодиоритов и этот массив на глубине, по-видимому, составляет единую интрузионную тело.

Более мелкие интрузии имеют довольно однообразное строение и сложены в большинстве случаев гранодиоритами. Искажение составляет небольшой (1,5 км<sup>2</sup>) шток гранодиоритов, закартированный в Межуречье Эльга — Колтигуль, краевая часть которого представлена гранодиорит-порфиритами. Кроме того, последние слагают ряд самостоятельных тел площадью до 0,5 км<sup>2</sup>. Они сосредоточены в ос-

новном в северо-западной части района. Один шток гранодиорит-порфиров установлен на правобережье р.Улы, в язюках руч.Сородо.

Следует отметить, что некоторые из них могут являться более молодыми (возможно, позднегнейзовыми) образованиями.

Гранодиориты – серые, зеленовато- и розовато-серые порфиро-вилевые и массивные породы. Структура их гипидоморфноизернистая. Они состоят (в %) из олигоклаза, реже андезина – 40-65, калиево-полевого шата – 10-25, кварца – 10-25, роговой обманки и биотита – до 15, иногда ромбического пироксена – до 10.

Граниты, в отличие от гранодиоритов, содержат примерно равное количество олигоклаза и калиевого полевого шата (в среднем 35%) и большее количество кварца (25-30%). До содержанию темно-цветных минералов (до 10%) среди них различаются биотитовые и биотит-роговообманковые разности.

Кварцевые диориты характеризуются почти полным отсутствием калиевого полевого шата. Они сложены (в %) олигоклазом или андезином – 50-70, кварцем – 10-20, роговой обманкой – 5-30, биотитом – 10-20, иногда ромбическим или моноклинным пироксеном – до 20.

Гранодиорит-порфирь содержит вкрапленники олигоклаза или андезина, кварца, роговой обманки, реже калиевого полевого шата. Количество их составляет 25-40% объема породы. Основная масса имеет амфиболоморфнозернистую структуру и состоит из тех же минералов.

Вторичные изменения вышеописанных пород проявлены в серилизации и пелитизации полевых шатов и частичном замещении темноцветных минералов хлоритом, актинолитом, иногда эпидотом и рудным минералом. По результатам минералогического анализа 19 проб весом от 1 до 3 кг наиболее характерными аксессориями гранитоидов являются циркон, ильменит, апатит, гранат, магнетит, сферен.

Химический анализ гранитоидов (табл. I, № 22-25) показал, что по составу они близки средним типам односменных пород по Р.Дэли. В отличие от последних они обогащены магнием. В гранитах натрий преобладает над калием.

По ланым спектральному анализа, приведенным на рис. 5, гранитоиды района характеризуются следующим набором микроэлементов: бериллит, ванадий, марганец, кобальт, цирконий, иттербий, медь, галлий.

Комплекс жильных пород, сопровождающий рассматриваемые интрузии, довольно разнообразен. Большинство даек пространственно тяготеют к ним; некоторые даики связываются с этими интрузиями

условно. Прессобладающее простижение даек северо-восточное. Контактовое воздействие их на вышедшие породы выражено слабо и проявляется обычно в образовании небольшой (до 3-5 см) зоны закалки, редко окварцевания, эпилитизации или слабой пиритизации. Даики аplitов ( $\text{Ca}_{\text{Sr}}\text{Al}_2$ ) находятся, как правило, в пределах массивов гранитоидов. Мощность их не превышает 1 м. Они состоят (в %) из калиевого полевого шата – 55, кварца – 30 и олигоклаза – 15.

Гранит-порфирь ( $\text{Ca}_{\text{Sr}}\text{Al}_2$ ) слагают также маломощные (1-3 м) тела среди гранодиоритов и эпилитов джаконской свиты. Состав они из вкрапленников калиевого полевого шата, олигоклаза, кварца, редко биотита. Количество их колеблется от 10 до 50% объема породы. Основная масса состоит из тех же минералов. Структура ее микротранктическая и микролегматитовая. Даики диоритовых порфиротов ( $\text{Ca}_{\text{Sr}}\text{Al}_2$ ) распространены наиболее широко. Встречаются они среди разнообразных пород, нередко контролируя разломы. Мощность даек изменяется от 1-2 до 50 м. Диоритовые порфириты состоят из фенокристаллов андезина, роговой обманки, моноклинного либо ромбического пироксена. Основная масса имеет микродиоритовую структуру и сложена теми же минералами.

Раннемеловой возраст рассматриваемых интрузий устанавливается на основании того, что они прорывают верхнеюрско-нижнемеловые эфузивы и на сопредельной с запада территории трансгрессивно перекрываются боконской свитой (Братинский, 1965). К сожалению, определение абсолютного возраста гранитоидов по валовому калию (Т.К.Ковальчук, ДВГУ) дало противоречивые результаты (от 62 до 195 млн. лет). Причины этого неясны. Возможно, они связаны с явлениями гибридизма.

В заключение следует отметить, что в настоящее время имеются данные, позволяющие предполагать комагматичность вышеописанных даек, позволяющие предполагать комагматичность вышеописанных верхнеюрско-нижнемеловых вулканитов и раннемеловых интрузий. Основные из этих данных следующие: 1) тесная пространственная связь тех и других; 2) расположение в пределах одной структуры (Ульяновского вулканического пояса); 3) совпадение направления основных структур вулканитов и ориентировки интрузий, указанное на их связь с разломами северо-восточного пространства; 4) близкое время формирования; 5) сходство петрографического состава; 6) повышенное содержание калия в породах; 7) наличие сходного набора микроэлементов (ванадий, марганец, цирконий, медь, галлий) и аксессорных минералов (циркон, ильменит).

8) повторение линий развития вулканогенных и интрузивных образований (от основных и средних к умеренно кислым и кислым).

Несмотря на спорность некоторых из этих положений и недостаточное количество аналитических материалов, выщеприподанные в общем позволяют считать эти образования единным верхнепреко-нижнемеловым plutono-вулканическим комплексом. Подобные воды о коматитичности мезозойских эфузивных и интрузивных пород были получены Е.К.Устиневым (1963) для северо-восточной части Охотского вулканического пояса.

### ПОЗДНЕМЕЛОВЫЕ (?) ИНТРУЗИИ

Лейкократовые и биотитовые граниты ( $\text{Ucr}_2?$ ) слагают несколько небольших (от 0,2 до 24 км<sup>2</sup>) тел в северо-западной части района. Вмещающими породами являются раннепреко-нижнемеловые интрузивные образования и верхнепреко-нижнемеловые вулканиты среднего и кислого состава.

Судя по пышноким (до 200–400 м) ореолам контактово-измененных эфузивов, контакты описаных интрузий довольно кругие. В истоках р.Гилкин в глыбах наблюдался контакт лейкократовых гранитов с раннemеловыми гранодiorитами. Последние на контакте интенсивно биотитизированы и секутся многочисленными жилами мощностью от 1–2 см до 0,4–0,6 км гранитов. Лейкократовые граниты в зоне эндоконтакта становятся более мелковзернистыми.

В отливе от раннemеловых гранитов описываемые интрузии обычно имеют северо-западное удлинение и составляют цепочки этого же направления. Отличаются они также более высокой радиоактивностью, пониженной магнитностью и плотностью и наличием в них миаролитовых пустот.

Рассматриваемые интрузии сложены среднезернистыми лейкократовыми и биотитовыми субшелочными гранитами, которые в краевых частях смениются мелковзернистыми, иногда аplitовидными разностями. Обычно это розовато- или желтовато-серые массивные породы. Структура их гранитовая, реже аллотриоморфновзернистая. Они состоят (в %) из микролерита – 40–45, олигоклаза – 25–30, кварца – 25–30, биотита – до 5, редко роговой обманки. Аксессорные минералы представлены апатитом, сфеном, цирконом, рудным минералом, вторичные – хлоритом, эпидотом и мусковитом.

По химическому составу граниты близки к среднему типу щелочного гранита по Р.Дали (табл. I, № 26, 27). Спектральный анализ 13 образцов гранитов показал постоянное присутствие в них берилла, марганца, циркона, хлорита, мела, галлия, редк. минералы, а также молибден (до 0,0003%), синец (до 0,002%).

Среди жильных образований, которые связываются с описываемыми интрузиями, наиболее распространены аплиты ( $\text{Ucr}_2?$ ) и микропегматитовые граниты ( $\text{Ucr}_2?$ ). Они находятся либо в пределах интрузий гранитов, либо вблизи них. Мощность их невелика (до 1–2 м). Аплиты по составу и структуре аналогичны вышеописанным раннemеловым аплитам. Микропегматитовые граниты состоят (в %) из кальцитового полевого шпата – 65–70, кварца – 25, платиказа – до 5, биотита и роговой обманки – до 5. Глыбы кварцевых и фельзитовых порфиров ( $\text{Ucr}_2?$ ) располагаются среди разнообразных пород, нередко приурочены к разломам северо-восточного направления. Мощность их не превышает 15 м. Состоит они из вкрапленников кварца и оливиниза, количество которых достигает 20–30% объема породы, и основной массы с фельзитовой или сферолитовой структурой.

Рассматриваемые интрузии прорывают верхнепреко-нижнемеловые эфузивы среднего и кислого состава и раннemеловые гранитоиды. Они также отличаются от последних целиком рядом особенностей, которые указаны выше. Кроме того, имеется сведения о том, что подобные граниты в бассейне р.Ушакин прорывают боконскую свиту (Сигов, 1967). В то же время абсолютный возраст гранитов из верхней р.Верх.Хундзакин, определенный по валовому калию (Т.К.Ковальчук, ДВГУ), составляет 152 млн. лет (верхняя юра). Учитывая противоречивость имеющихся данных, возраст описываемых интрузий принимается условно позднemеловым.

Дайки диоритовых и порфиритовых ( $\text{Ucr}_2?$ ), как предполагается, завершают интрузионную деятельность на территории листа. Они распространены незначительно. В устье р.Ногай диоритовые порфириты kontaktово-метаморфизуют песчаники боконской свиты, которые на контакте с ними приобретают сильной облик. Две другие лайки диоритовых порфиритов в истоках р.Гилкин прорывают позднemеловые граниты. В последних на контакте наблюдаются зоны закалки мощностью 1–1,5 см. Простирание даек северо-восточное, мощность их не превышает 5–10 м. Диоритовые порфириты – массивные, иногда плоскчатые породы. Структура их порфиритовая, структура основной массы микродиоритовая. Вкрапленники, оглашающие 30–40% объема породы, представлены андезином, пироксеном, реже роговой обманкой. Основная масса состоит из этих же минералов. Позднemеловой возраст описываемых пород принят условно.

## ТЕКТОНИКА

Территория листа, расположенная на сочленении Сибирской платформы X<sub>1</sub> и Монголо-Охотской складчатой области, имеет сложное тектоническое строение (рис. 6).

Закартированные в тектонических блоках в южной и северо-западной частях площади раннепротерозойские (?) интрузивные образования рассматриваются как выступы кристаллического основания. Наиболее крупный из них, известный под названием Балдакского (Мамонтов, 1965), сложен городами Балдакского комплекса, Тюханского и ряда других массивов. В пределах района выступ протягивается в северо-восточном направлении на расстояние более 30 км. Ширина его, с учетом геофизических данных, колеблется от 10 до 18 км. Выступ разбит многочисленными разломами на ряд блоков. Контакты его с окружающими структурами в основном тектонические. Лишь в юго-восточной части он перекрываетяется девонскими образований, а в северо-западной на отдельных участках мезозойскими вулканитами. Чогарский выступ, заходящий в район своей северо-восточной части, находится в верховье р. Кульдакит средней мезовайской эфузивных и интрузивных образований, с которыми он имеет тектонические и, частично, нормальные контакты. Размер его в пределах района 3,5x8 км. На территории листа эта часть выступа сложена раннепротерозойским габбро-анортозитами.

Структура нижнекембрийских пород Шевлинской зоны в целом представляется как пригесосинклинальный прогиб, типа Южно-Магнитогорского, образовавшийся на стыке Сибирской платформы и Монголо-Охотской складчатой области. Судя по данным гравиметрии, можно предполагать, что он сформировался на раннепротерозойском кристаллическом основании. Против выполнен ниже-, верхнекембрийскими и нижнеорловскими отложениями общей мощностью более 5000 м (Сильков, 1965; Мамонтов, 1965). Из-за интенсивно проявленной разрывной тектоники в настоящее время от него сохранились лишь фрагменты. Карбонатно-терригенные породы Усть-Тильтонской свиты, расположенные в междуречье Шевли-Геромин, обнажаются на юго-восточном борту прогиба. Они падают здесь преимущественно к северо-западу под углами от 30 до 75°. Моноклинальное залег-

X<sub>1</sub>/Южное окончание Сибирской платформы многие геологами рассматривается как зона протерозойской складчатости Становика-Джулькута, активизированная в Рз и Mz.

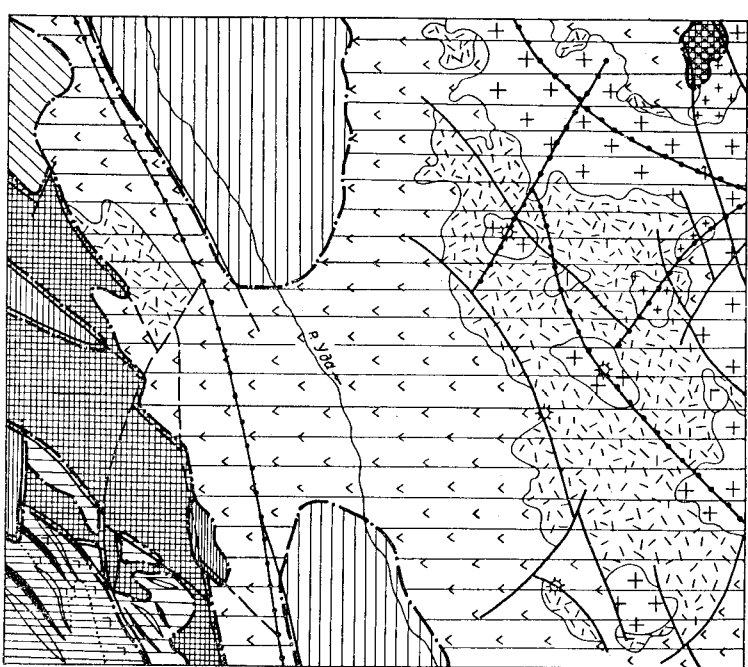


Рис. 6. Структурно-тектоническая схема.  
Масштаб 1:500 000

I - раннепротерозойские структуры; Балдакский выступ; II - раннекембрийские структуры; Па - Шевлинский пригесосинклинальный прогиб, Пб - Ляжинская эвгесосинклинальная зона; III - средне-позднеледниковые складчатые структуры; Гу - мезозойские структуры Ульского наложенного прогиба; Гуа - позднетриасовый прогиб, Губ - позднерский прогиб, Гуэ - раннемеловой вулканический пояс (Охотский). 1 - границы главных тектонических структур; 2 - пологие суммы тектонических разломов, фиксирующиеся по геофизическим данным; 3 - разрывные нарушения установленные (а) и предполагаемые (б) по геологическим данным; 4 - оси крупных антиклиналей (а), оси крупных синклиналь (б); 5 - границы нормального стратиграфического и интрузивного контакта; 6 - эфузивы среднего состава; 7 - эфузивы кислого состава; 8 - гранодиориты, кварцевые диориты, граниты; 9 - габбро и диориты, кратовые граниты; 11 - участки распространения основных эфузивов в составе Ульгансской свиты; 12 - габбро-анортозиты чогарского выступа; 13 - палеоруслами центрального типа, предполагаемые

тание пород на отдельных участках осложнено складками более высокого порядка. Так, в междууречье Шевли — Геройкан намечается синклинальная складка шириной не менее 400 м с углами падения крыльев 30–40°. Подобный характер складчатости отложений Шевлинской зоны установлен и на примыкающих территориях, где В.Ф. Сигров (1965ф) и Ю.А. Мамонтов (1965ф) рассматривают эти образования как многосинклинальные.

Нижнекембрийские породы Джагдинской энгесинклинальной зоны слагают часть Монголо-Охотской складчатой области. С северо-запада раннекембрийские структуры отделены от Балдакского выступа и леноискских складчатых образований серией тектонических разрывов. В пределах площади ложа породы нижнего кембрия слагают ряд сравнительно крупных антиклинальных и синклинальных складок северо-восточного простирания шириной 1–3 км. Длина их достигает 8–10 км. Среди них хорошо фиксируются синклинали, в ядрах которых обнажаются породы онежской свиты. Эти складки обычно имеют асимметричное строение, углы падения их крыльев колеблются от 20 до 80°, составляя в среднем 50–60°. Они осложнены более мелкими нормальными, редко опрокинутыми складками шириной от первых десятков метров до 500–800 м. Непосредственно в обнажениях и горных выработках наблюдаются складки шириной до 10 м. Морфология их весьма разнообразна. Это нормальные и в различной степени опрокинутые, выпукль до лежачих, антиклинальные и синклинальные складки. Шарниры их наклонены к северо-востоку и юго-западу под углами до 20–30°. Особенно сложная, нередко листарморфическая складчатость установлена в кремнистых породах. Напряженность складчатых движений обусловлена развитием будинажа, который наблюдается в песчаниках, реже известняках и кремнистых породах, переслаивающихся с кремнисто-глинистыми породами и алевролитами. Будины имеют обычно линзообразную форму и четковидное расположение. Размеры будин изменяются от долей сантиметра до 0,3×0,5 м. Дианные оси будин погружаются на северо-восток или юго-запад под углами 15–20°. Кроме того, в алевролитах и кремнисто-глинистых сланцах проявлен кливаж.

Средне-позднедевонские складчатые структуры сформировались на раннепротерозойском кристаллическом основании и складчатых об разованиях нижнего кембрия в месте соединения Балдакского выступа и Джагдинской складчатой зоны. Такое положение рассматриваемых структур привело к интенсивному проявлению разрывной тектоники, которая затрудняет расшифровку их внутреннего строения.

В дассение р.Милькан средне-верхнедевонские образования слагты в узкие (0,5–1 км) и протяженные синклинальные и антиклинальные складки, причем в ядрах последних иногда обнажаются породы раннего протерозоя и нижнего кембрия. Простирание складок северо-восточное, углы падения крыльев от 35 до 80°. Кроме этих сравнительно крупных складок в разрезе по р.Милькан, а также в обнажениях фиксируется складчатость более высоких порядков. Обычно это нормальные, иногда сладо опрокинутые крутие, редко близкие к изоклинальным складкам шириной от первых метров до 200–300 м. Среди описываемых образований иногда встречаются будничиронные породы.

Мезовайские осадочные отложения выполняют наложенные проплы и впадины от которых на изученной площади в большинстве случаев сохранились лишь фрагменты.

Позднетрасовский проток, верхнее чисть его юго-восточного крыла, располагается в нижнем течении р.Милькан. С более древними структурами он контактирует по разломам. Слагавшие его породы карнийского яруса моноклинально потухаются на северо-запад (310–340°) под углами от 25 до 45, редко 50–60° под образование джелонской свиты. Эта моноклиналь нередко осложнена широкими (до 200–300 м) и пологими складками.

Верхнерасовые отложения, судя по имеющимся данным и материалам по примыкающим территориям (Сиглов, 1965ф; Мамонтов, 1965ф), слагают юго-восточное крыло крупной синклинальной складки, разбитой тектоническими разрывами на ряд ступеней блоков. Они так же, как и верхнетрасовые породы, моноклинально падают на северо-запад под углом 25–30°, выпложившись к центральной части этой структуры до 10–15°.

Эти изтивные и интрузивные образования, широко распространенные в пределах долины р.Уды и на ее левобережье, принадлежат частям вулканического пояса, известного под наименением Устье-Охотского (Красный, 1960ф) или Охотского (Устинев, 1963). Предполагается, что на большей части площасти своего распространения эфузивы залегают на докембрийских кристаллических образованиях. На это указывает наличие непосредственного контакта между ними в верховье р.Хульдакит, а также находки в турах и лавобрекциях обломков раннепротерозойских пород. В южной части района вулканиты перекрывают структуры Шелинской зоны и позднетрасового протока.

В низовьях р.Милькан породы джелонской свиты моноклинально погружаются к северо-западу (280–340°) под углами 15–35°. На левобережье р.Уды эфузивы слагают слабо дислоцированный покров.

В его пределах выделяется крупная ( $25 \times 60$  км) синклинальная структура северо-восточного простирания, опущенная по конформации к брахискладке. Ядро ее выполнено толщей эфузивов кислого состава, на крыльях обнажаются породы джелонской свиты. Северо-западное крыло структуры срезано разломами и интрузиями раннегемеловых гранитоидов, юго-восточное — также осложнено серией разрывов северо-восточного направления. Углы падения пород на крыльях колеблются от 5 до  $25^\circ$ , реже  $35-45^\circ$ . Эта синклинальная структура осаждена широкими ( $0,5-1$  км) и пологими складками. Более мелкая складчатость, по-видимому, является приразломной. Не исключено, что наклонное залегание эфузивов на отдельных участках связано с изгибанием их на неровную поверхность. Многочисленные раннегемеловые интрузии, которые считаются комагматичными с покровными образованиями, концентрируются в северной части района. Они имеют цепочечное расположение. Направление цепочек и отдельных интрузий совпадает с общим северо-восточным простиранием вулканических. Позднегемеловые (?) интрузии также могут быть включены в состав описываемого вулканического пояса. Однако массивы этого возраста имеют обычно северо-западное, поперечное к простиранию пояса направление, а комагматичные им эфузивы распространены к северо-востоку от исследованной территории.

Отложения боконской свиты выполняют две впадины, сформировавшиеся на образованиях вышеописанного вулканического пояса. Они хорошо фиксируются по геофизическим данным и характеризуются спокойным положительным магнитным полем и локальными минимумами силы тяжести. Обе впадины имеют северо-восточное, близкое к прямому простирание и продолжаются на сопредельные территории. С юга они ограничены разломами северо-восточного простирания. Одни размеры впадин, расположенной в западной части площа-  
ди, составляют  $25 \times 40$  км. Вторая впадина имеет несколько меньшие размеры ( $15 \times 30$  км). Углы падения пород на бортах впадин составляют  $10-20^\circ$ . Имеются данные, что по направлению к их центральным частям наклон слоев уменьшается вплоть до горизонтального залегания (Брагинский, 1965).

Четвертичные отложения не диагностированы и лежат горизонтально.

#### Разрывные нарушения

Выделенные структуры осложнены многочисленными разрывами и нарушениями. Система разрывов, установленная на правобережье

р.Уды, рассматривается как зона крупного (глубинного) разлома, отделившего жесткие структуры фундамента Сибирской платформы от Монголо-Охотской складчатой области. Осевая его часть проводится вдоль юго-восточного борта долины р.Уды по линейно-вытянутым ароматичным аномалиям. На левобережье р.Уды по ароматичным линиям также намечается ряд крупных разломов, которые тягуются цепочками ранне- и позднегемеловых интрузий. Эти разрывы, по-видимому, находятся в зоне Прибрежного глубинного разлома (Красный, 1960).

Кроме этих крупных разломов, по геологическим данным и отчасти по аэрофотоснимкам установлены более мелкие разрывы различных направлений. Среди них особое значение имеют нарушения, согласные с северо-восточным простиранием структур района. Это протяженные (от 4-8 до  $30-40$  км и более) разломы. Они фиксируются зонами рассланцеванных, просленых, иногда оквартированных пород и контролируются малыми интрузиями различного состава. Наиболее значительные (шириной до  $0,6-0,7$  км) зоны рассланцевания установлены в верховых рек Тига, Чаллярин и в Межуречье Лагал - Бол. Милькан. В большинстве случаев описываемые разломы, по-видимому, представляют собой кругопадающие сбросы. Нарушение типа нарушения намечается на границе образований ульгансской свиты и средневерхнедевонских пород, причем предполагается, что первые налипнули на вторые. Амплитуда перемещений по некоторым разрывам северо-восточного простирания, вероятно, достигает первых километров.

Разломы других направлений (северо-западного, олигомеридионального и олигиширотного) распространены меньше, чем вышеописанные. Картируются они по тем же признакам. Протяженность их обычно не более  $15-25$  км.

Разрывы северо-восточного простирания, по-видимому, являются более древними по сравнению с другими. Крупные (глубинные) разломы, вероятно, заложились еще в раннем протерозое и перидотитески подновились в более позднее время. Разломы, смещавшие мезозойские породы, могут являться ранне- и позднегемеловыми или еще более молодыми.

#### Краткая история геологического развития района

История геологического развития территории представляется следующей. Вероятно, в раннем протерозое происходит формирование

интрузий основных и ультраосновных пород и гранитоидов<sup>7</sup>. В ран-  
некембрийскую эпоху или в позднем докембре на этом месте ос-  
нованием в Джалдинской зоне формируется геосинклинальный прогиб  
(Джалдинский) и одновременно с ним Шевлинский притеосинклиналь-  
ный прогиб. По образовавшимся в результате этих движений глубин-  
ным разломам происходили подводные излияния основных эффузивов,  
которые в Шевлинской зоне затем сменились территенно-карбонатны-  
ми осадками усть-тихотонской свиты. В Джалдинской зоне залегавшая  
деятельность, вероятно, продолжалась более длительное время.  
Здесь вдоль северо-западного края зоны накапливаются вулканиты  
основного состава, и одновременно с ними несколько юго-западнее  
территено-кремнистые осадки Ульданской свиты. По мнению Г.В.Бе-  
льевой (1967), в алданский век указанные зоны соединились проли-  
вом. Позднее на месте последнего, вероятно, возник выступ докем-  
брейских кристаллических пород. В конце раннекембрийской эпохи  
присходит регрессия моря, во время которой формируются территено-  
ные породы оннотской свиты. Основная фаза складчатости, консо-  
лировавшая структуры Джалдинской зоны, по-видимому, произошла  
в конце нижнего или в начале среднего кембра. В Шевлинском про-  
тибе, в котором также намечается в это время перерыв в осадкона-  
коплении, указанное движение, вероятно, выражалось в интенсивных  
блоковых перемещениях. В дальнейшем, в нем формируется верхне-  
кембрейские и нижнеордовиковые территено-карбонатные отложения  
(Сиглов, 1965ф). Начиная со среднего кембра и до начала девонско-  
го периода Джалдинская зона, по-видимому, представляла сушу, хо-  
тя на отдельных участках ее в раннеордовикское время к югу от  
территории листа существовали остаточные морские бассейны (Ма-  
монтов, 1965ф).

Следующий седиментационный цикл начинается в девонском пе-  
риоде. В дасейных рек Милькан и Бол.Милькан на раннепротерозой-  
ских кристаллических породах и нижнекембрейских складчатых обра-  
зований накапливались территенные отложения среднего и верхнего  
девона. Дальнейшая геологическая история района неясна. Извест-  
но, что к западу от него в верховых р.Шевли (Сиглов, 1965ф)  
осадконакопление продолжалось и в позднем палеозое.

В последующее время, вероятно, одной из позднепалеозойских  
фаз складчатости, средне- и верхнедевонские отложения были смыты  
в узкие крутое складки и консолидированы. Не исключено, что на  
ограниченных участках морские условия существовали в раннем и  
среднем триасе (Сиглов, 1965ф).

В позднетриасовую эпоху район вновь испытывает находящие  
движения, в результате которых заканчивается Ульской прогиб. Этот  
прогиб, по-видимому, можно считать унаследованным от более древ-  
них прогибов (например, Шевлинского). После небольшого перерыва,  
который намечается в начале ледника, морские условия существовали  
к югу от рассматриваемого района весь юрский период (Сиглов,  
1965ф). На изученную территорию юрская трансгрессия распространя-  
лась только в келловей-оксфордское время. Судя по комплексам  
фауны, юрский морской бассейн соединялся с Тюменским и примерно  
до конца оксфордского века с Ермакским.

Конец верхнепрежской эпохи знаменуется поднятием района и  
началом наземного вулканизма. В результате последовавших текто-  
нических перемещений в пределах Ульского прогиба сохранились лишь  
фрагменты позднетриасового и позднепрежского прогибов, выполненных  
мелководно-морскими терригенными отложениями. Из образовавшихся  
вдоль крупных разломов северо-восточного простирания вулканиче-  
ских аппаратов извергавшийся пепловый материал среднего состава,  
образовавший никелипидовулюстру Джелонской свиты. В дальнейшем начи-  
нает преобладать излияния преимущественно андезитовых лав. Зак-  
лючительный этап эффузивной деятельности характеризуется изме-  
нением состава вулканитов, происходит формирование нижнеледовой  
тоды кислых и умеренно кислых эффузивов. Вслед за этим этапом  
район, по-видимому, испытывает новые подвижки, в результате ко-  
торых сначала внедряются небольшие порции матрицы основного и сред-  
него состава, а несколько позже интрузии гранитоидов основной  
фазы. При этом, некоторые из них, например, интрузии гранитоиди-  
тов и кварцевых диоритов, расположенные в верховых рек Бол. и  
Мал.Самая и в междуречьях Колтунуль - Чалыр и Гига - Ниж.Эль-  
та, использовали, по-видимому, те же подводящие каналы, по кото-  
рым ранее изливались эффузивы. На это указывает кольцеобразное  
расположение вокруг этих массивов лавовых потоков и грубобобо-  
мочных туров. На других участках местонахождение палеовулканов,  
возможно, отмечается массивами вторичных кварцитов и субкулуми-  
ческими телами.

С внедрением интрузий гранитоидов, в основном, заканчивает-  
ся формирование на изученной площади Ульской ветви Охотского вул-  
канического пояса, но осадконакопление в Ульском прогибе продол-  
жается. Восточные движения в северной части района комплексиро-  
вались опусканием территории или отдельных ее частей вдоль сов-  
ременной долины р.Ула. Здесь закладывается ряд впадин, в которых  
в пресноводно-континентальной обстановке формируются песчано-кон-  
гломератовые отложения доконской свиты. Судя по составу грубооб-

<sup>7</sup>/ Рамкой для интрузий служили архейские образования, обнажен-  
ные на соседней территории (Братинский, 1967ф).

ломочного материала смыты, снос в это время происходил с севера, где размывались докембрийские породы, а также нижнemеловые эфмузинные и интрузивные образования.

Позднемеловой тектонез выразился в формировании небольших массивов лейкократовых и биотитовых гранитов и даек диоритовых порфиритов, а также в образовании сбросов и возобновлении движений по ранее существовавшим разломам. По-видимому, в это время закладывалась основная элементы современного рельефа, которые окончательно оформились в начале раннечетвертичной эпохи.

Новейшие движения района отмечаются комплексом террас различных уровней и антecedентными участками долин рек.

## ГЕОМОРФОЛОГИЯ

В основу геоморфологического описания территории листа положено выделение генетически однородных поверхностей, что позволяет четко отразить процессы, участвующие в формировании их рельефа.

**Денудационно-эрозионные поверхности** развиты в горной части района в пределах абсолютных отметок 350-1866 м. Они формируются на эфмузинах, кремнистых породах, иногда на гранитоидах. На участках среднегорья и высокогорья рассматриваемые поверхности характеризуются узкими ( $2-25$  м), иногда разветвленными гребнями водоразделов, крутыми ( $25-40^{\circ}$ ) склонами, покрытыми осадками. Вершины гор имеют конусовидную и трёхневидную форму. Относительные превышения их над днём долин составляют 350-800, иногда 1000 м. На водораздельных гребнях и склонах часто наблюдаются скальные остатки высотой до 8-10 м. Склоны гор сильно расчленены **в е р х о с т и**, иногда каньонообразными расщелинами. Долины малых рек и ручьев имеют кругой, часто ступенчатый профиль, русла их изобилуют порогами и водопадами. В верхней части распадков водотоки обычно скрыты под крупногабаритными осадками. Все это свидетельствует о главной роли в формировании рельефа процессов арозии и гравитационного сноса.

В пределах распространения гранитоидов, а также при приближении к долине р.Уль отмечаемые поверхности приобретают более отложенные очертания и характеризуются более широкими (50-200 м)

и пологими водораздельными гребнями, куполовидными, иногда столообразными вершинами, прямими или слабовыпуклыми склонами. Крутизна последних уменьшается до  $15-25^{\circ}$ . Каменные осьши на отдельных участках закреплены и покосы лесом. Долины рек становятся более широкими, приобретают трапециевидный поперечный профиль. В них появляются хорошо выраженные поймы и наполненные террасы. В устьях небольших ручьев и крутых расщелин наблюдаются конусы выноса глыбово-щебнистого материала.

**Денудационно-акумулятивные поверхности** развиты среди вышеописанных денудационно-эрозионных в северо-западной части района. Они представлены ледниками цирковыми или караами. Это широкие (до  $0,7-2$  км) и глубокие (300-600 м) амфитеатры, расположенные на высоте 1100-1400 м над уровнем моря. Они имеют кругие, часто отвесные стены, поднояния которых прикрыты осадками. Днища цирков заполнены глыбово-щебнистым материалом, образующим вали и бугры фирновой морены. С передней стороны широков имеет неясный ( $5-6$  м) порог (ригель), замыкающий внутри цирка впадину округлой формы, иногда занятую озером. Верховья долин, примыкающих к циркам, имеют троговый поперечный профиль и заняты моренами. Ширина морен колеблется от 2 до 2,5 км, ширина от 0,2 до 0,6 км.

**Эрозионно-денудационные поверхности** распространены в основном в низкогорной части района, примыкающей к долине р.Уль. Абсолютные высоты здесь обычно составляют 200-500 м при относительных превышениях 50-200 м. Широкое и уплощение водоразделы с куполообразными вершинами, сравнительно пологие ( $6-15^{\circ}$ ) сластины или волнистые залесенные склоны свидетельствуют о том, что главную роль в формировании рельефе этих поверхностей играют процессы денудации. Долины рек здесь трапециевидные или чашеобразные, с хорошо развитыми заболоченными террасами. Переход склонов к днищам долин планирован.

**Денудационно-аккумулятивные поверхности** развиты среди вышеописанных поверхностей, исключая денудационно-эрозионные, в виде отдельных разобщенных площадок. Ширина их колеблется от 0,3 до 4,5 км, длина превышает 4-5 км. Они имеют сильно волнистый поперечный профиль и небольшой ( $2-6^{\circ}$ ) уклон в сторону рек.

**Акумулятивные поверхности**, созданные в результате речного розеточного действия, характеризуются высокой, высотой

на урезом воды соответственно 60–80 и 25–50 м. Ширина их изменяется от 0,1 до 8 км. Уступ высокой террасы почти повсеместно снеглирован, уступ низкой террасы достигает 3–5 м при крутизне 20–30°. Поверхность террас преимущественно открытая, слабо заболоченная, кочковато-мелкобугристая. Уклон ее в сторону русел водотоков 3–5°, тыловой лес не выражен.

Среднечетвертичная терраса распространена в долине р.Улы и в нижнем, реже среднем течении ее основных притоков. Высота террас от 12 до 20 м, ширина колеблется от 0,2 до 23 км, длина – от 1–2 до 20 км и более. В целом поверхность террас однообразная, заболоченная, кочковато-мелкобугристая, покрыта редкостойным лиственным лесом. Местами встречаются зарастающие озера старицкого и частью, вероятно, термокарстового происхождения, между которыми возвышаются низкие (до 0,5–1 м) релики. Уступ террасы обычно снеглирован, тыловой лес не выражен, уклон в сторону русел рек около 1°.

Бернечетвертичные речные террасы высотой от 4 до 10 м разбросаны в долинах всех рек района. Поверхность их в значительной степени заболочена, расщеплена большим количеством старичных русел, ложбин и озер глубиной 0,5–2 м, шириной от первых метров до 100–200 м, вблизи русел водотоков поросла бересово-лиственным или еловым лесом. Для этих террас характерно также наличие уступа высотой 1,5–4 м над урезом воды и хорошо выраженного тылового шва.

Современные речные террасы распространены в долинах большинства рек и ручьев и представлены высокой и низкой поймами. Высокая пойма имеет сухую поверхность, расщепленную протоками и старичными руслами и покрытую в основном тополево-ивовым лесом. Высота ее уступа над урезом воды достигает 1,5–2,5 м. Поверхность низкой поймы неровная с большим количеством кос, отмелей, огровов и проток. Высота низкой поймы 0,5–1 м.

Анализ геоморфологического строения района показывает, что наиболее благоприятными для формирования россыпных месторождений являются участки, переходные от гор к долине р.Улы. В связи с отсутствием следов значительного облучения русел р.Улы и ее крупных притоков (Шевли, Геройка, Галам и др.), в долинах этих рек могли сохраняться древние (нижне- и среднечетвертичные) россыпи.

На урезом воды соответствующим образом изменяется высота террас от 0,1 до 8 км. Уступ высокой террасы почти повсеместно снеглирован, уступ низкой террасы достигает 3–5 м при крутизне 20–30°. Поверхность террас преимущественно открытая, слабо заболоченная, кочковато-мелкобугристая. Уклон ее в сторону русел водотоков 3–5°, тыловой лес не выражен.

На территории листа №53-ХII известны проявления каменных углей, магнетит-титанитовых и титаномагнетитовых руд, марганца, хрома, ванадия, меди, свинца, никеля, золота, молибдена, ртути, и алюминия.

## ПОЛЕЗНЫЕ ИСКОПАЕМЫЕ

На территории листа №53-ХII известны проявления каменных углей, магнетит-титанитовых и титаномагнетитовых руд, марганца, хрома, ванадия, меди, свинца, никеля, золота, молибдена, ртути, и алюминия.

### ГОРЯЧИЕ ИСКОПАЕМЫЕ

Твердые торфяные ископаемые

#### Каменный уголь

Углеродизация района приурочена к нижней подсигне делонской свиты и боконокской свите. В первой из них в истоках руч. Сородо (33)х вскрыто два пласта каменного угля мощностью 2,1 и 3,6 м, разделенных слоем мелкозернистых песчаников мощностью 1,3 м. Пласти падают по углом 20–25° на СВ 10–15°. Скальками ручного бурения они прослежены по пространнию на 120 м. Оба пласта имеют простое строение, лишь в подошве и кровле их наблюдаются маломощные (5–10 см) линзы алевролитов и песчаников. По заключению В.В. Крашенинцевой (Фролов, 1965), уголь дарено-каштановый с фторизированными и лигнитными компонентами с примесью обломков кварца и глинистых частиц. Данные химического анализа штучной пробы ( $\text{Wa}_{-5}, 2\%$ ,  $\text{A}_{-14,4\%}$ ,  $\text{V}_{-41,8\%}$ ,  $\text{S}_{-0,6\%}$ ,  $\text{C}_{-73,7\%}$ ,  $\text{H}_{-4,6\%}$ ,  $\text{d-I}_{-54 \text{ г/см}^3}$ ) позволяют отнести его к газовым. Зольность угля по результатам анализа 8 бороздовых проб, отобранных в канавах, колеблется от 29,3 до 64,7%, составляя в среднем 45,9%. Содержание в них герmania не превышает 2–3 г/т.

На правобережье р.Милькан в нижней части вышеуказанной подсигнии встречено два пласта углистых алевролитов мощностью 0,8 и 1,6 м, содержащих малошие (2–16 см) прослои каменного угля с мелковистым блеском. Зольность этих пород изменяется от 48,8 до 77,2%; содержание герmania в них достигает 1 г/т.

X/ Номера в скобках соответствуют номерам проявлений на карте полезных ископаемых.

В отложениях боконской свиты угледропложение установлено на правобережье р.Хульдакит. В нижнеэтийской части реки в нижней части свиты вскрыты три прослоя каменного угля мощностью 2-5 см.

#### МЕТАЛЛИЧЕСКИЕ ИСКОПАЕМЫЕ

##### Черные металлы

Магнетит-гематитовые руды приурочены к ульгансской свите нижнего кембрия. В истоках р.Сред.Милькан (62) среди кремнистых пород и диабазовых порфиритов в элювии установлены тонкозернистые железные руды. Судя по глибовым развалам ширина их выхода не менее 4 м. Этот пласт фиксируется аэромагнитной съемкой и находится на северо-западном фланге Ир-Галакского железорудного горизонта, расположенного в основном за пределами района (Шербина, 1965ф; Мамонтов, 1965ф). По данным Ю.А.Мамонтова (1965ф), руды этой части горизонта содержат в среднем Fe вал. - 32% ( $Fe_{2O_3}$ ) 34%; Feo - 7%; S - 0,005%; P - 0,24%; SiO<sub>2</sub> - 35%. Из полезных примесей установлены Mn (1,4%); Ge (от 2 до 10 г/т); Ni (0,02%); Ti (0,2%); Co (0,01%); V (0,005%).

В нижнем течении р.Сред.Милькан (58) в кремнисто-глинистых сланцах вскрыт пласт плотных массивных магнетит-гематитовых руд мощностью 0,8 м с содержанием Fe вал. - 48,7%; MnO - 0,44%. Падение пластика 140°, угол наклона 45°.

Развали глыб размером до 10x10x20 см мелкозернистых железных руд, содержащих Fe вал. - 46,2% и MnO - 1,1%, среди кремнистых пород, яшм и диабазовых порфиритов отмечены в верховье руч.Торело-го (59). Это рудообразование, как и вышеупомянутое, не отмечается аэромагнитной съемкой.

##### Марганец

Ореолы рассеяния марганца (57, 60, 61) приурочены к терригенно-кремнистым породам ульгансской свиты. Ширина их 2,3 и 8 км<sup>2</sup>. Содержание металла в пробах ложных осадков колеблется от 0,2 до 0,5%. В шлиховых пробах, отобранных в пределах этих ореолов, иногда отмечаются марганцевые минералы. Небольшое количество (до 1,4%) марганца присутствует в магнетит-гематитовых рудах. Титаномагнетитовые руды обнаружены в габбро-анортозитах и анортозитах Балдакского комплекса. Протяженностьрудноносных по-

род достигает 14 км. Ширина рудной зоны на левобережье р.Галам у нижней границы площади около 1 км (47, 48), на правом берегу этой реки - 1,5 км (42, 44, 45). Далее к северо-востоку рудная зона тягуется находками глыб ортитовых габбро-анортозитов (40, 41, 43). На левобережье р.Дагал она срезается разломом северо-западного простирания. На всем протяжении рудная зона фиксируется положительной аэромагнитной аномалией напряженностью от 500 до 2000 гаам. Для рассматриваемой зоны характерна неравномерность оруднения, которая выражается в чередовании рудных и безрудных участков. Ширина первых колеблется от первых метров до 130 м. За пределами рудной зоны выявлено лишь одно рудообразование белых вкрашенных глыб на правобережье р.Бол.Милькан (54).

Минералы железа и титана образуют в породах вкрашенность размером от 1-2 до 5 мм, реже гнезда размером от 5x7 до 10x30 см. Истоги встречаются про должительностью до 1 см и длиной размером до 0,2x0,6 м. Количество рудных вкрашенников изменяется от 3-5 до 20-30, редко 50% объема породы. Руды сложены, главным образом, ильменитом и гематитом. Порядок минералообразования следующий: ильменит → ильменит → пирит → магнетит → гематит. Химическим анализом в штуфных пробах установлено: Fe вал. - 18,4-43,7%; TiO<sub>2</sub> - 6,0-37,1%; V<sub>2</sub>O<sub>5</sub> - 0,01-0,4%. Анализ 8 двухметровых бороздовых проб, отобранных на правобережье р.Галам, показал среднее содержание Fe вал. - 9%; TiO<sub>2</sub> - 4%; V<sub>2</sub>O<sub>5</sub> - 0,06%.

##### Ванадий

Пробы ложных осадков с повышенным (0,007-0,02%) содержанием ванадия концентрируются в два ореола рассеяния площадью 4 км<sup>2</sup> каждый в пределах раннепротерозойских габбро-анортозитов и габбро (46, 55). Плотность ванадия в количестве до 0,4% присутствует также в титаномагнетитовых рудах.

##### Хром

Ореол рассеяния хрома приурочен к ультраосновным породам Балдакского комплекса (50). Площадь его около 15 км<sup>2</sup>. Содержание хрома составляет в 25 пробах ложных осадков 0,01-0,03%, в 17 - 0,05-0,1% и в 10 пробах - 0,2-0,5%.

## Геотипы металлов

### Медь

Ореол рассеяния меди площадью 12 км<sup>2</sup> установлен в истоках р. Верх. Гита (4) среди раннемеловых гранитоидов. Содержание металла в пробах донных осадков колеблется от 0,005 до 0,02%.

Два других ореола рассеяния меди, приуроченные к раннепротерозойским пироксенитам и габбро, выявлены в междууречье Лаган - Бол. Милькан (39, 49). Площадь их 6 и 7 км<sup>2</sup>. Пробы донных осадков в ореолах содержат от 0,005 до 0,01% меди.

### Свинец

Ореол рассеяния свинца площадью 12 км<sup>2</sup> установлен на водоразделе рек. Верх. Гита - Эльга (?) среди верхнемицкого-раннемеловых вулканитов и рутиловых их гранитоидов раннего и позднего мела. Содержание свинца в пробах донных осадков колеблется от 0,003 до 0,01%. В отдельных пробах присутствует 0,01-0,02% цинка.

### Никель

Рудопроявления никеля приурочены к ультраосновным породам Баладекского интрузионного комплекса. В пироксенитах (52, 53, 56) на площади около 3 км<sup>2</sup> вскрыто шесть зон сульфидно-никелевой минерализации шириной от 4-8 до 25-30 м. Низменной магнитометрией и по рутиловым свалам две из них прослежены соответственно на 100 и 500 м. Рудная окраска в пироксенитах весьма неравномерная (от 1-2 до 5-7%). Размеры окрасленников колеблются от 0,1-0,2 до 5х6 мм. Среди них в рудоносных гранатосодержащих пироксенитах установлены (в порядке выделения): ильменит, магнетит, пирит, шаротин, халькопирит, пентландит, сфalerит (?), причем пентландит находится в срастании с шаротитом и халькопиритом. В мелко- и среднеэзернистых пироксенитах из числа вышеизложенных минералов отсутствуют магнетит и ильменит, в связи с чем породы слабомагнитны. Спектральный анализ 96-метровых бороздовых проб показал содержание никеля в 25 пробах - 0,02-0,03%; в 57 - 0,05-0,07%; в 12 - 0,1-0,2% и в 2 пробах - 0,2-0,3%, в среднем 0,07%, меди от 0,007 до 0,1% и кобальта от 0,002 до 0,01%.

В оливинитах, перidotитах и серпентинитах сульфиды практически отсутствуют, тем не менее эти породы содержат до 0,5% никеля. Спектральным анализом установлено, что никель в них почти целиком связан с силикатами, в то время как в пироксенитах он содержится в сульфидах. Кроме того, в пироксенитах встречаются единичные прожилки, иногда серии параллельных прожилков асбеста мощностью от 2 до 14 мм через 10-40 см. Асбест - зеленовато-серый, полупрозрачно-волокнистый, плохо расщепляемый, ломкий, албитизированный. Практического значения не имеет.

По данным спектрометаллометрического опробования, приведенного в междууречье Лаган - Бол. Милькан на площади около 10 км<sup>2</sup> по сетке 250x25 м, среди пироксенитов выявлено пять ореолов рассеяния никеля. Площадь их Невелика (от 0,1 до 1,2 км<sup>2</sup>). Содержание никеля в ореолах колеблется от 0,07 до 0,2%. Совместно с никелем в пробах присутствует медь (0,01-0,07%). В пределах распространения оливинитов и пироксенитов отмечается повышенное количество кобальта (до 0,05%) и хрома (0,3-0,7%), причем последний образует шесть ореолов рассеяния площадью от 0,05 до 0,7 км<sup>2</sup>.

Опробованием донных осадков установлен довольно крупный (около 35 км<sup>2</sup>) ореол рассеяния никеля (51), в пределах которого находятся почти все вышеописанные проявления никеля. Содержание никеля в пробах колеблется от 0,007 до 0,1%.

## Благородные металлы

### Золото

Проявления золота в междууречье Нугали - Бол. Самая (18, 19) локализуются в пределах массива вторичных кварцитов. Из отобранных здесь 310 штучных и скопковых и 98 бороздовых проб золото обнаружено спектральным анализом в количестве от 0,01 до 0,3 г/т в 7 разрозненных штучных пробах монокварцитов, каолинитовых и альбитовых кварцитов и пропилитов.

Другие проявления золота на левобережье р. Улы (10, 11, 13, 14, 23, 24, 26, 27, 28, 29) связаны с зонами пиритизированных, добленых, реже окварцованных щебенчиков кислого и среднего состава и в одном случае с измененными гранодиоритами (25). Ширина этих зон, расположенных, как правило, вдоль разломов северо-восточного пространения, изменяется от 10-20 до 500 м, протяженность их достигает 1,5-1,7 км (правобережье р. Джамы, междууречье Верх. Гита - Эльга). Породы в пределах зон изменены неравномерно,

ширитизация и окварцевание наблюдаются лишь на отдельных участках шириной от 1-2 до 50-60, реже 150 м. Золото в этих породах встречается спорадически в редких разрозненных штучных пробах в количестве от 0,01 до 0,07 г/т. В отдельных пробах совместно с золотом присутствуют (в %): синиль - до 0,05, пинк - до 0,02, и серебро - 0,0001.

На правобережье р.Улы проявления золота сосредоточены в основном в бассейне руч.Сородо (34) среди раннепротерозойских интузивных пород основного и кислого состава. На этом участке, где еще с начала текущего столетия известна россыпь золота, проводились поисковые работы с целью обнаружения коренных источников металла. В результате поисков золото в количестве от 0,01 до 0,5 г/т обнаружено спектральным и пробирным анализом в 11 штучных пробах из 90 штучных и 38 бороздовых проб. Золотоносные породы представлены окварцованными и троголитами амортозитами, платино-гранит-порфиритами, диабазовыми порфиритами, а также жилами кварцем. Шлиховое опробование лелимии из шурпов и конусов положительных результатов не дало. Спектрометаллометрическим опробованием, проведенным на площади 10 км<sup>2</sup> по сетке 200x20 и 100x20 м, золото установлено в 60 пространственно разобщенных пробах из 2500. Содержание его не превышает 0,07 г/т.

Проявление золота на правобережье р.Пербикан (38) приурочено к проблемам и обжаренным платигранитам Токиканского массива. Содержание золота в штучной пробе составляет 0,01 г/т.

В результате опробования средне- и верхнедевонских и верхне-хруско-нижнемеловых континентальных гравелитов, из которых было отобрано 35 бороздовых и 4 штучных проб, золото обнаружено в одной пробе гравелитов в количестве 0,01 г/т (32).

Россыпь золота по руч.Сородо (35) открыта старателями в начале столетия и отрабатывалась ямным способом с перерывами до 1937 г. По данным В.В.Фролова (1944), длина ее 2-2,5 км, ширина 10-50 м. Средняя мощность торфов 4 м, песков 0,5 м. Содержание металла неравномерное (от 1,127 до 18,478 г/м<sup>3</sup> на пласт), золото крупное, малоокатаное. Встречаются самородки, иногда в срастании с кварцем. На 1 августа 1934 г. запасы золота в россыпи по кат.В-С составляли 161,559 кг. Количество добываемого металла неизвестно. Ю.О.Федоров (1949) и М.И.Дубровский (1967), проводившие дозреведку этой россыпи, пришли к выводу о ее недропыщленном характере.

В результате поисков россыпей золота по рекам Бол.Милькан, Милькан и Уда (Лубровый, 1967) золото было обнаружено лишь в

трех скважинах в количестве от 94 до 256 мг/м<sup>3</sup> на пласт или от 7 до 32 мг/м<sup>3</sup> на массу.

Шлиховым опробованием установлено в основном знаковое содержание золота в единичных шихах, отобранных из аллювия крупных рек района. Редкие шихи с весовым количеством (30-60 мг/м<sup>3</sup>) золота встречаются в нижнем течении р.Лагап и в верховье р.Нигали (Филиппов, 1964; Лубровый и др., 1963). Слабо золотоносны также отложения террас.

#### Серебро

Ореол рассеяния серебра в истоках р.Верх.Эльга (16) площадью около 13 км<sup>2</sup> приурочен к вулканитам среднего и кислого состава и вторичным кварцитам. Содержание серебра в пробах донных осадков колеблется от 0,0005 до 0,001%.

#### Р е д к и е м е т а л л и

##### Болидит

Шлиховые пробы с повышенным (от 10 до 100 зерен) содержанием щелита концентрируются в два ореола рассеяния (5, 15) площадью 9 и 10 км<sup>2</sup>. Оба они расположены в пределах развития раннемеловых гранитоидов.

##### Молибден

Проявление молибдениита установлено в междуречье Верх.Гига - Эльга (9). Здесь в зоне разлома северо-восточного простирания на протяжении 750 м в глыбах граниторитов раннего мела наблюдалась единичные прожилки мощностью от 1 до 10 см светло-серого кварца, иногда с редкой вкрапленностью чешуйок молибдениита размером от 0,1 до 0,3x0,5 см. Выделенные породы вблизи прожилков в зоне до 2 см серпентинизированы, иногда хоритизированы, ширитизированы, обогащены сиотитом. Содержание молибдена в 8 штучных и склоновых пробах изменяется от 0,0003 до 0,2%. Иногда в них присутствует медь (до 0,02%), а по личным минералогического анализа - галенит и массикит.

Шлиховым опробованием выявлено четыре ореола рассеяния молибдениита (1, 2, 8, 12) площадью от 6 до 18 км<sup>2</sup>, приуроченных к

ранне- и позднемеловым гранитоидам и частично к ороговикованным эфузивам. Содержание молибдена в шихах не превышает 3 зерен на 0,01 м<sup>3</sup>.

Пробы линных осадков с повышенным количеством (0,0003–0,001%) молибдена локализуются в бассейне р. Верх. Гига (3, 6) в два ореола рассеяния площадью 18 и 20 км<sup>2</sup>. Одни из ореолов, расположенный в истоках этой реки, пространственно совпадает с шиловым ореолом молибдена, в пределах другого – находится вышеописанное проявление этого металла.

#### Руть

Шиловым опробованием выявлено три ореола рассеяния киновари (ЭГ, 36, 37) площадью 3, 11 и 12 км<sup>2</sup> среди раннепротерозойских гранитоидов и отложений усть-тигровской и джелонской свит. Намечается их приуроченность к крупным разломам северо-восточного простирания. Содержание киновари в шихах колеблется от единичных знаков до 0,5 г/м<sup>3</sup>.

#### НЕМЕТИЛЬСКИЕ ИСКОПАЕМЫЕ

##### ХИМИЧЕСКОЕ СНЯРЬЕ

##### Альбит

Проявления альбита установлены среди верхнерурского-раннемеловых эфузивов и связаны с массивами вторичных кварцитов. Из них наиболее изучен массив, расположенный в междуречье Ноявли – Бол. Сая и Жемчужной плоскости не менее 8 км<sup>2</sup>. Он хорошо выражается в рельфе в виде куполообразной вершины, у подножия которой преобладают пропилит и серпентиновые кварциты, а выше заменяют в основном монокварциты, а также каолинитовые, альбитовые и диаспоровые кварциты, образовавшиеся по вулканитам кислого и частично среднего состава. Альбитовые кварциты слагают шесть разобщенных тел (20, 21, 22). На южном склоне вершины среди монокварцитов вскрыты два сближенных тела шириной 20–25 м каждое. Они прослежены на 250–300 м. Расстояние между ними от 15 до 50 м. Содержание альбита в 71 бороздовой пробе, по данным химического анализа, изменяется от 9,1 до 66,6%, составляя в среднем 45%, причем в 42 про-

бах содержится выше 30% альбита. В 500 м юго-западнее вскрытого более мощная (ширина 40 м) альбитовая залежь сложного строения. Протяженность ее не установлена. Химическим анализом 56 штуковых проб в ней обнаружено от 4,5 до 75,4% альбита, в среднем 41,7%. При других тела альбитовых кварцитов намечены на юго-восточном склоне вершины по крупицам развалам. Содержание альбита в них колеблется от 6,1 до 39,6%. Сколковое опробование деления показало, что кроме вышеописанных тел в пределах массива возможно обнаружение других залежей альбитовых кварцитов. Химическим анализом в этих пробах установлено от 9,1 до 78,1% альбита. Заявляется со сложной блоковой структурой массива, удалось наблюдать последовательность лишь некоторых минеральных фаз: неизмененные эфузивы → серпентиновые кварциты → альбитовые кварциты → пластовые кварциты; альбитовые кварциты → каолинитовые кварциты → монокварциты. В ряде разобщенных штуковых и сколовых проб монокварцитов, реже пропилитов, серпентиновых, каолинитовых и альбитовых кварцитов спектральным анализом установлено (в %) свинец – 0,01–0,02, мышьяк – 0,07–0,5, висмут – 0,001–0,01, медь – 0,01–0,05, редко цинк – 0,01–0,05, золото – 0,01–0,3 г/т, серебро – 0,0001, олово – 0,0005–0,001.

Проявление альбита в верховье р. Верх. Эльты (Г7) также приурочено к массиву вторичных кварцитов, площадь которого не установлена. Ширина выхода гидротермально-измененных пород (пропилитов, серпентиновых и альбитовых кварцитов и монокварцитов) по этой реке достигает 1 км. Содержание альбита в штуковой пробе составляет 25,9%.

На левобережье р. Тала (30) альбитовые кварциты, содержащие 42,5% альбита, встречаются среди глыб андезитовых порфиритов. Это проявление, как и вышеописанное, приурочено к пониженному заболоченному участку, в связи с чем параметры его не установлены.

Альбитовые кварциты – обычно розовато-серые массивные и сплошные породы. Структура их криптокристаллическая и гранобластовая с реликтами обломочной или порфировой. Они состоят (в %) из альбита – 10–90, кварца – 10–80, реже каолинита или ликита – до 10, серпентита – до 5, шифофилита (?) – до 4, диаспира – до 1–2. Из рудных минералов встречаются лимонит и лейкоксен (до 5%). Альбит присутствует в виде равномерно распределенных в породе итогичных кристаллов, редко изометричных пластинок размером по длинной оси от 0,01 до 0,15 мм. Иногда он образует небольшие (до 0,5–1 мм) гнейсобразные скопления, либо тонкие (0,25–1 мм) линзовидные прожилки.

СТРОИТЕЛЬНЫЕ МАТЕРИАЛЫ

В районе имеются значительные запасы известняков в отложениях нижнего кембрия. Известники с высоким содержанием CaO могут применяться в марганцовском и буровом производстве, при выплавке никеля и алюминия (табл. 2). Некоторые из разности пригодны для производства жирных и обычных известков. Запасы известняков значительны. Добыча их может вестись открытым способом. Песчано-гравийные отложения могут быть использованы в дорожном строительстве как наполнитель бетона и для других нужд. Запасы строительного камня в районе практически не ограничены. В качестве облицовочного и строительного материала возможно использование лабрадоритов и яшм.

Из изложенного видно, что каждая структурно-фаунистическая зона изученной территории характеризуется своими металлогеническими особенностями. С Баладекским выступом раннепротерозойских кристаллических пород связаны титано-магнетитовые руды, никель, медь, хром, золото. К нижнекеморийским автосинклинальным образованиям Джалинской зоны приурочены железные руды, марганец. В Удоком протобе известны каменные угли, а в пределах позднепротерозойско-раннемелового шунтоно-вулканического комплекса - молибден, золото, серебро, полиметаллы, вольфрам и алунит.

Наиболее перспективными в отношении угленосности рассматриваются отложения доконской свиты, которые сходны по структурно-фациальным особенностям с одновозрастными образованиями Бурейского каменноугольного бассейна и содержат прослои каменного угля хорошего качества (Брагинский, 1965; Фролов, 1967). Широкое распространение доконской свиты рекомендуется для поисков с применением буриения на глубину до 200-250 м, так как почти целиком перекрыта рыхлыми четвертичными отложениями.

Учитывая небольшую площадь выхода угленосных пород нижней половины джелонской свиты в истоках руч. Сороды, встречающие там каменные угли могут быть использованы для местных нужд при экономическом освоении района. В целом же, палеогеографические условия формирования джелонской свиты, неблагоприятные для угленакопления, позволяют считать ее мало перспективной для поисков каменноугольных углей.

В связи с отсутствием значительных ароматитовых аномалий промышленных скоплений магнетит-титанитовых руд в отложениях утгурской свиты в пределах района не ожидается. Также мало на-

Таблица 2

ХИМИЧЕСКИЙ СОСТАВ ИЗВЕСТНИКОВ

№/п	Место взятия проб	Нерастворимый осадок	SiO <sub>2</sub>	Al <sub>2</sub> O <sub>3</sub> +TiO <sub>2</sub>	Fe <sub>2</sub> O <sub>3</sub>	R <sub>2</sub> O <sub>3</sub>	MgO	CaO	SO <sub>3</sub>	P <sub>2</sub> O <sub>5</sub>	П.п.п.
I	Правый борт р.Лаган	Не определ.	5,23	0,20	0,11	Не определ.	0,58	52,12	0,01	0,01	40,70
2	Левый борт р.Милькан	То же	4,10	1,01	0,57	То же	0,44	52,36	0,01	0,01	40,88
3	Правобережье р.Лаган	"	0,15	0,01	0,13	"	0,09	55,57	0,00	0,01	43,54
4	Правобережье р.Сред. Милькан	"	6,23	0,18	0,11	"	17,52	31,74	0,00	0,01	43,52
5	Междуречье Шевли-Гербикан	"	1,25	0,51	0,40	"	0,32	54,00	0,00	0,01	42,52
6	"	I,99	0,41	0,24	"	0,53	54,38	0,00	0,01	42,84	
7	Правобережье р.Милькан	I9,44	Не опред.	Не опред.	Не опред.	4,12	20,28	18,90	Не опред.	Не опред.	37,56
8	То же	9,88	"	"	"	5,12	16,69	27,55	"	"	40,82
9	"	II,75	"	"	"	4,13	17,38	26,43	"	"	40,36

дежи на обнаружение здесь месторождений фосфоритов. Поиски их с помощью детального опробования пород по рекам Лагал, Сред.Милькан и в других местах успеха не имели. В отношении полюков марганца могут заслуживать внимания участки преимущественного распространения кремнистых пород ультраданской свиты, на периферии которых развиты основные вулканиты (бассейны рек Сред.Милькан и Лагал). Здесь же выявлены ореолы рассеяния марганца, а в шихах встречаются марганцевые минералы.

Запасы белых титаномагнетитовых руд в габро-анортозитах Баладекского комплекса могут оказаться значительными. Не исключены находки более богатых руд, а по рекам Галам и Лагал, размывающим русломестные породы, россыпей титаномагнетита.

Наличие многочисленных проявлений медно-никелевой минерализации и скопление Баладекского интрузивного комплекса с подобными дифференцированными интрузиями, в которых обнаружены купные месторождения никеля, меди и кобальта (Монче-Тунда, Седбери и др.), позволяют рассматривать его перспективным в отношении полюков указанных металлов. Кроме того, необходимо обратить внимание на поиски хрома, а также асбеста, встречающихся в аналогичных интрузивных комплексах.

Перспективы нахождения месторождений золота на территории листа оцениваются невысоко. Известные на соседних территориях среди нижнекембрийских пород золотосульфидные проявления характеризуются низкими содержаниями металла и небольшими параметрами (Мамонтов, 1965б; Шербина, 1965б). Подобный тип оруденения и неблагоприятная геоморфологическая обстановка на площади развития этих пород позволяют считать ее мало перспективной в отношении наличия промышленных россыпей. Об этом свидетельствуют отрицательные результаты поисков россыпей золота по рекам Милькан и Большой Милькан (Дубровский и др., 1967б). Этими работами установлено также отсутствие промышленных россыпей в пределах Баладекского комплекса. Несколько лишь перспективы золотоносности нижнего течения р.Лагал, где желательно проведение буровых работ. Учитывая результаты поисков коренных источников россыпей золота по руч.Сородо, промышленных скоплений рудного золота на этом участке трудно ожидать. Зоны притяжания в Верхнеуральско-нижнемеловых эфузивах, иногда содержащих небольшое количество золота, в качестве поискового объекта не рассматриваются. Интересными в отношении золотоносности могут быть вторичные кварциты и природит, в которых установлены проявления золота и серебра, а также известны месторождения золота на Дальнем Востоке (Белая Гора). Поэтому,

при проведении поисковых работ на листе выделено опробование этих пород на золото следует уделить особое внимание.

Выявление проявлений молибдена сконцентрированы в северной части района, где наблюдаются многочисленные тела ранне- и поздненемеловых гранитоидов и южных пород, зоны окварцевания и пробле-ния, крупные разломы. В подобной геологической обстановке обнару-жены месторождения молибдена в Восточном Забайкалье. Все это позво-ляет положительно оценивать перспективы района на молибден.

Наиболее интересными для поисков этого металла представляются участки, расположенные в междууречье Верх.Тига - Эльга и в истоках р.Верх.Тига, где, кроме проявлений молибдена, сосредоточены оре-спутники молибденового оруденения. На этих участках рекомен-дуеться провести поисковые работы.

Практическая ценность ореолов рассеяния шеелита и киновари неясна. Тожиканский массив, на площади которого встречены гранито-риды агматитового ряда (Фролов, 1965б), а на соседней с юга террито-рии (Мамонтов, 1965б) проявления ниобия перспективны для поисков редкометальной минерализации.

Несомненный интерес в отношении выявления месторождений вы-сокоглиноземистого сырья заслуживает площадь распространения верхнеуральско-нижнемеловых вулканитов. Об этом свидетельствует наличие среди них ряда массивов алюлитонсных вторичных кварци-тов (назывье р.Ниргали, левобережье р.Тала, источники р.Верх.Эльга, правобережье р.Чалыркин), образующих залежи со средним содержанием азотита до 45%, а по отдельным пробам до 78%. На площади этих массивов необходимо проведение поисковых работ.

## ПОДЗЕМНЫЕ ВОДЫ

Отсутствие специальных гидрогеологических исследований на территории листа не позволяет с достаточной полнотой охарактери-зовать подземные воды района. Существенное влияние на формиро-вание их оказывает широко развитая в районе многолетняя мерзлота. Глубина залегания кровли ее изменяется от 0,2-0,5 м на склонах северной экспозиции до 2-4 м на южных. Мощность многолетнемерзлых пород не установлена. К востоку от описываемой площади в долине р.Уды мощность их колеблется от 10-12 до 35-45 м (Чернышский,

Таблица 3

## Химический состав

полезных руд

Состав водно-вмещающих пород	Место взятия образца	Содержание компонентов, мг/л, мг·экв, мг·экв.%								Жесткость 05-шаг Карбонатная	Структура химического состава						
		Na <sup>+</sup>	K <sup>+</sup>	NH <sub>4</sub> <sup>+</sup>	Ca <sup>2+</sup>	Mg <sup>2+</sup>	Cl <sup>-</sup>	SO <sub>4</sub> <sup>2-</sup>									
I	2	3	4	5	6	7	8	9	10	II	I2	I3	I4	I5	I6	I7	I8
Песчаники бор-конской свиты	Левобережье р.Джар, 2072	2,2 29,0	0,4 3,0	0,2 0,1 3,0	3,9 0,3 6,0	0,3 0,34	Не обн.	Не обн.	19,8 100,0	4,7 0,33	20,0 Не обн.	Не обн.	6,6 6,5	0,22 0,22	0,22 0,22	56,8 16,8	19 100
Раннемеловые гранодиориты	Верховье р.Б.Гиря 1603,2	0,5 3,0	0,02 1,0	0,10 0,1	Не обн. 2,8 0,14	1,0 0,8	Не обн. Не обн.	Не обн.	13,7 100,0	2,3 1,2,2	4,8 9,4	Не обн. 4,8 Не обн.	6,5 5,7	0,22 0,16	0,22 0,16	Mo,057 Mo,017	Ca59 Na29 Ca58 Mg34 HCO <sub>3</sub> 100
Верховье р.Мал.Самар 101	Руткин, 1160	1,0 16,0	0,4 1,0	0,7 0,04	2,8 0,14	0,3 0,02	Не обн.	Не обн.	15,3 100,0	25,7 1,0 0,28	11,2 5,7	Не обн. 5,7	0,16 0,16	0,16 0,16	28,2 36,0	Mo,026 Mo,036	Ca48 Mg18 Na17 HCO <sub>3</sub> 100 Ca56 Na16 K16 HCO <sub>3</sub> 100
Раннемеловые кварцевые и пегматитовые породы, их туфы и лавы-брекчи	Левобережье р.Берк, 1996	0,7 0,03	0,3 0,01	0,1 0,01	3,4 0,17	0,7 0,06	Не обн.	Не обн.	16,8 100,0	16,4 1,0 0,28	3,0 6,0	Не обн. 6,0	0,23 0,23	0,23 0,23	31,0 31,0	Mo,03 Mo,025	Ca64 Mg20 Na10 Ca71 Mg19 Na10 HCO <sub>3</sub> 1000
Раннемеловые кварцевые и пегматитовые породы, их туфы и лавы-брекчи	Правобережье р.Комыгуль, 1328	0,8 0,03	0,1 0,01	0,2 0,01	3,8 0,19	0,7 0,06	Не обн.	Не обн.	15,3 86,0	9,4 0,25	8,0 6,2	Не обн. 6,2	0,25 0,25	0,25 0,25	31,0 31,0	Mo,025 Mo,03	Ca55 Na19 K17 Ca66 Na17 Mg17 HCO <sub>3</sub> 100
Раннемеловые кварцевые и пегматитовые породы, их туфы и лавы-брекчи	Правобережье р.Чандырин, 248	0,6 0,03	0,1 0,1	4,4 0,22	0,7 0,06	Не обн.	Не обн.	Не обн.	18,3 100,0	9,3 1,0 0,30	6,8 6,0	Не обн. 6,0	0,28 0,28	0,28 0,28	25,0 25,0	Mo,025 Mo,025	Ca71 Mg19 Na10 Ca64 Mg20 Na10 HCO <sub>3</sub> 1000
Раннемеловые кварцевые и пегматитовые породы, их туфы и лавы-брекчи	Правобережье р.Джар, 1152	2,4 18,5	0,2 1,9	0,4 3,7	6,6 6,1,1	1,0 14,8	Не обн.	4,0 0,08	27,5 84,9	21,0 0,45	8,0 Не обн.	Не обн.	6,2 0,41	0,41 0,41	50,5 63,5	Mo,05 Mo,064	Ca61 Na19 Mg15 Ca49 Mg29 Na21 HCO <sub>3</sub> 85 SO <sub>4</sub> 15
Правобережье р.Эльга, 1362	3,6 20,8	0,1 0,01	0,2 0,38	7,6 49,3	2,7 28,6	Не обн. 37,0	14,0 37,0	14,0 37,0	30,5 63,0	16,4 16,4	9,2 28,0	Не обн. Не обн.	6,3 4,0	0,6 0,6	6,3 12,4	63,5 1226 M <sub>1,226</sub>	Ca63 SO <sub>4</sub> 37 Ca49 Mg29 Na21 Ca66 Na17 Mg17 HCO <sub>3</sub> 96
Средне-Иркутские песчаники	Долина р.Тала, 403	59,6 16,9	2,4 0,4	0,6 0,2	20,2 10,08	31,2 16,9	20,0 0,56	64,0 13,32	195,8 95,8	16,4 16,4	28,0 4,0	Не обн. Не обн.	4,0 12,4	0,3 0,3	49,5 49,5	M <sub>1,226</sub> Mo,049	Ca54 Mg19 Na17 HCO <sub>3</sub> 100
Средне-Иркутские песчаники	Руч.Сорого, 105	1,5 0,07	0,1 0,04	4,4 0,22	1,0 0,08	Не обн.	Не обн.	Не обн.	24,4 100,0	10,8 6,8	He обн. 0,3	He обн. 0,3	6,8 0,3	0,3 0,3	19 100,0	Mo,049	Ca59 Na29 HCO <sub>3</sub> 100

Продолжение табл. 3

I	2	3	4	5	6	7	8	9
Раннепротеро- зойские (?) пластограницы	Левобережье р. Эльты, 463	Левобережье р. Дагат, 341	Левобережье р. Талам, 415	Левобережье р. Дагат, 341	Левобережье р. Талам, 415	Левобережье р. Дагат, 341	Левобережье р. Талам, 415	Левобережье р. Дагат, 341
D. Мильян,	103	103	103	103	103	103	103	103
0,08	0,08	0,08	0,08	0,08	0,08	0,08	0,08	0,08
4,0	4,0	4,0	4,0	4,0	4,0	4,0	4,0	4,0
0,5	0,5	0,5	0,5	0,5	0,5	0,5	0,5	0,5
0,01	0,01	0,01	0,01	0,01	0,01	0,01	0,01	0,01
2,0	2,0	2,0	2,0	2,0	2,0	2,0	2,0	2,0
24,6	24,6	24,6	24,6	24,6	24,6	24,6	24,6	24,6
2,23	2,23	2,23	2,23	2,23	2,23	2,23	2,23	2,23
3,0	3,0	3,0	3,0	3,0	3,0	3,0	3,0	3,0
0,25	0,25	0,25	0,25	0,25	0,25	0,25	0,25	0,25
77,0	77,0	77,0	77,0	77,0	77,0	77,0	77,0	77,0
16,0	16,0	16,0	16,0	16,0	16,0	16,0	16,0	16,0
0,17	0,17	0,17	0,17	0,17	0,17	0,17	0,17	0,17
10,0	10,0	10,0	10,0	10,0	10,0	10,0	10,0	10,0

10	11	12	13	14	15	16	17	18	19
He	He	He	He	He	He	He	He	He	He
0,6	0,6	6,8	5,0	6,8	6,8	1,48	1,45	104,5	M <sub>0,104</sub> HCO <sub>3</sub> 90 SO <sub>4</sub>
1,45	1,45	90,0	90,0	90,0	90,0				Ca <sub>77</sub> Mg <sub>16</sub>
He	He	He	He	He	He	He	He	He	M <sub>0,371</sub> HCO <sub>3</sub> 99
0,6	0,6	6,4	6,4	6,4	6,4	6,9	6,9	2,29	Mg <sub>371</sub> Na <sub>22</sub> Mg <sub>13</sub>
0,0H	0,0H	99,0	99,0	99,0	99,0				
0,15	0,15	128,1	6,8	6,0	He	He	He	He	HCO <sub>3</sub> 93
0,17	0,17	93,0	2,10	2,10	0,0H	0,0H	0,0H	0,0H	M <sub>0,174</sub> Ca <sub>74</sub> Mg <sub>20</sub>
He	He	He	He	He	He	He	He	He	
48,8	48,8	4,5	10,0	10,0	He	He	He	He	M <sub>0,056</sub> Ca <sub>69</sub> Na <sub>24</sub>
0,80	0,80	0,51	0,51	0,51	0,51	0,51	0,51	0,51	HCO <sub>3</sub> 100
100,0	100,0								

1961). Криозона затрудняет инфильтрацию атмосферных вод и способствует быстрому их стоку, а также задолачанию равнинных участков. В зависимости от литологического состава водоемовидных пород и условий циркуляции, подземные воды района подразделяются на элловиально-поровые и трещинные (табл.3).

Плато-воды волны приурочены к элловиально-дельтаильным и элловиальным отложениям. Водоносным разном первых является деятельный слой, представленный щебнем с гальками, глинистыми и глинистыми песками мощностью от 0,2-0,5 до 2-4 м. Водоупором его служат многолетнемерзлые грунты или монослитные коренные породы. Питание водяного горизонта осуществляется за счет атмосферных осадков. Направление потока совпадает с уклоном местности. Выход грунтовых вод на поверхность наблюдают ся у подножья и на перегибах склонов. Водопритоки источников колеблются от 0,1 до 2 л/с.

Воды альлювиальных отложений приурочены к долинам рек и ручьев. Водоемшающими породами являются галечники, гравий, пески. Мощность их в долине р.Улы, основываясь на данных по соседней территории (Черняевский, 1961), может достигать 45-75 м, в долях мелких рек района она изменяется от 1-2 до 7-9 м (Люровский и др., 1967). Источниками питания альлювиальных вод служат атмосферные осадки, а также трещинные воды нижележащих коренных пород. Уровень их не постоянный. В летние месяцы он достигает положения уровня поверхностных вод. Движение альлювиальных вод направлено от бортов долины к руслу и вниз по течению реки. В местах глубокого вреза или при наличии водогорба встречаются исходящие из источников, приуроченные к уступам террас, с дебитом до 1-2 л/с. Плотноворовье воды обычно прозрачные, холодные, без запаха и вкуса, по химическому составу являются гидрокарбонатными кальциево-магниевыми с минерализацией до 65 мг/л, жесткость до 0,7 мг.экв/л, величина pH составляет 5,8-6,6 (Братинский, 1967).

Трещинные воды формируются в зоне региональной и отчасти локальной (вдоль разломов) трещиноватости в осадочных, эфузивных и интрузивных породах. Наиболее водообильны интенсивно трещиноватые сложно дислокированные вулканиты и кремнистые породы нижнего кембрия и раннепротерозойские интрузивные породы, разбитые многочисленными трещинами отдельности и тектоническими разломами. Значительной трещиноватостью обладают также верхнекорсиканские эфузивы и гранитоиды раннего мета. В них наблюдаются закрытые и открытые (зияющие) трещины шириной от

долей сантиметра до 1-5 см. Глубина проникновения региональной трещиноватости не превышает 50-80 м (Черняевский, 1961). Питание трещинных вод происходит в основном за счет атмосферных осадков. Многочисленные, преимущественно нисходящие, эрозионные источники трещинных вод находятся в бортах долин рек Тига, Чалдырин, Но-гали, Верх.Эльга, Мильтан, Лагап и их притоков. Дебит источников изменяется от 0,02 до 2 л/с. Трещинные воды прозрачные, холодные, без запаха и вкуса. Они имеют минерализацию от 16,8 до 134 мг/л, жесткость от 0,3 до 2,08 мг.экв./л, величина pH изменяется от 5,7 до 6,9, по составу являются, в основном, гидрокарбонатными кальциево-магниевыми или кальциево-натриевыми (табл.2). На левобережье р.Улы в пределах площадки развития верхнекорсико-нижнекорсико-магниевые или магниевые полезные воды. Присутствие в них иона  $\text{SO}_4^{2-}$ , по-видимому, обусловлено выделением серы из пиритизированных вулканитов.

Свообразные по составу (сульфатные кальциево-натриево-магниевые) минерализованные (сухой остаток 1226 мг/л) воды отобраны из источника, расположенного в долине р.Гала среди вулканогенных образований среднего состава. Он представляет заболоченный участок размером 10x100 м, в пределах которого пробиваются многочисленные струйки холодной прозрачной воды высотой до 2 см. Дебит источника не установлен. Менее минерализованные (сухой остаток 371 мг/л) гидрокарбонатные натриево-кальциево-магниевые напорные воды обнаружены на левобережье р.Эльга. Водоемшающими породами являются раннепротерозойские птишмориты. Дебит этого источника также не замерен. Предполагается, что функционирование этих двух источников, расположенных по обоим бортам долины р.Улы, связано с разгрузкой напорных артезианских вод.

Наиболее перспективными для целей водоснабжения являются воды альлювиальных отложений долин крупных рек, значительно расположенных на плоскости листа.

#### ЛИТЕРАТУРА

##### ОПУБЛИКОВАННАЯ

Андреев Е.З. Богатство недр Дальнего Востока. Академство "Книжное дело". Владивосток. 1928.

Годован С.А. Геологические наблюдения в долинах рек Угахан, Шевли, Уда, Урма и Гербикана. Тр.СОИСа АН СССР, ч.II,

Ульско-Селемджинский район, вып.3, 1938.

К о р о л е в Г.П. Новые данные о стратиграфии и тектонике мезозоя Ульского прогиба (Дальний Восток), ДАН СССР, т.159, № 2, 1964.г.

Краснин Л.И. Теология и полезные ископаемые Западно-Присахалия. Тр.ВСЕГЕМ, нов.серия, т.34, М., 1960.

Лебедев А.П., Павлов Н.В. Дальневосточный амортитовый массив. Изд.АН СССР, вып.15, М., 1957.

Мошкян В.Н., Зубков В.Ф., Шиханов В.В., Новые данные о возрасте дальневосточных амортитов. ДАН СССР, т.137, № 2, 1961.

Тугаринов А.Н., Ступинова Н.И., Зубков С.И. К геохронологии юга Сибирской платформы. Изв.АН СССР, серия геологическая, № 1, 1965.

Устинов Е.К. Структурный пояс и проблемы вулкано-плутонических формаций. Сб.ДАН СССР "Проблемы магмы и генезиса изверженных горных пород", М., 1963.

Школьник З.Л., Сигров В.Ф., Мамонов Ю.А., Шербина Ю.И., Маханин А.В. Фосфориты в вулканогенно-кремнистых отложениях нижнего кембрия хребта Джалы - "Теология и геофизика", № 8, 1966.

#### Фондовая (хранящаяся в ДВТУ)

Белогуров В.Н. Результаты гравиметрической съемки масштаба 1:1 000 000 на северном Сихотэ-Алине и в Междуречье Амур-Амгунь-Уда. 1965.

Беляев Г.В., Визгалов В.И. Отчет по теме: Биостратиграфия кембрия правобережья Уды. 1966.

Бенеславский С.П. Предварительный отчет о работе Таламской поисковой партии за лето 1940 г. 1941.

Бернштейн П.С. Теоретический очерк средней части бассейна р.Уды. 1937.

Брагинский С.М. Отчет о геологических исследованиях в юго-западной части листа №-53-ХII. 1965.

Брагинский С.М., Заильев Д.С. и др. Отчет о геологических исследованиях в северо-западной части листа №-53-ХII. 1966.

Брагинский С.М., Заильев Д.С. и др. Отчет о геологических исследованиях в восточной части листа №-53-ХII. 1967.

Бронштейн А.Н. Отчет о работах Амурской партии за 1962-1963 гг. 1964.

Диброн В.Е. Геологическое строение бассейна р.Ир (Дальневосточная комплексная экспедиция СОГС). 1952.

Дубровин М.И., Кузнецова Е.И. Отчет о результатах поисков россыпных месторождений золота в бассейне р.Нагаевка, Верх.Эльги, Нельмана, 1963.

Дубровин М.И., Мельников Н.С. Отчет о результатах поисков россыпных месторождений золота в бассейне р.Уды. 1967.

Дурнякин А.Н., Землянов В.П. Отчет о результатах работ Талкинской партии. 1966.

Землянов В.П. Отчет о результатах работ Джалдинской гравиметрической партии за 1953.

Иванов Н.В. Отчет о работах ароматитовой партии № 7 за 1953-1954 гг.

Краснин Л.И., Чемеков Ю.Ф. Теология, геоморфология и полезные ископаемые бассейнов рр.Шевлик, Гербикан и Галам. 1951.

Кузнецов Р.Ф. Отчет о результатах работ Сугарского отряда Амурской геофизической экспедиции на Малом Хингане и в среднем течении р.Уда за 1954 г.

Мавринский А.С. и др. Отчет о результатах поисков фосфоритов в Улько-Селемджинском Междуречье Селемджинской группой партий в 1961-1964 гг. 1965.

Мавринский А.С. Отчет о результатах поисковых работ масштаба 1:50 000, проведенных Токийской партией в бассейне нижнего течения р.Пермикан в 1965 г. 1966.

Мамонтов Ю.А.. Объяснительная записка к листу №-53-ХХ. 1965.

Маханин А.В., Мавринский А.С. Отчет о результатах радиометрических поисков масштаба 1:25 000, проведенных в бассейнах рр.Лан и Ир в 1963 г. 1964.

Мошкян В.Н. Геологическое строение и полезные ископаемые бассейна р.Мая Половинной. 1953.

Мошкян В.Н., Альбов Е.А. и др. Геологическое строение и полезные ископаемые восточной части Майского хребта. 1954.

Несвийт Д.С. Геологические исследования на правобережье среднего течения р.Уды в 1948.

Политков М.И. Отчет о геологических результатах геодинамических работ Амурской магнитометрической партии № 12 за 1953-1954 гг.

Романовский Н.Г. Отчет о результатах работ Шевлинского отряда в 1965 г. 1966.

Се й И.И. Стратиграфия и литология мезозойских отложений правобережья р.Уды. 1959.

Серпухов В.И. Преварительный отчет о работах Удско-Охотской группы ГГРУ в 1931-1932.

Сиготов В.Ф. Объяснительная записка к листу №53-XIV.

1965.

Сиготов В.Ф., Макар В.И. и др. Тектоническое строение бассейна р.Удыхи. 1967.

Федорелло Ю.О. Отчет о работе Сородокской геолого-геологической партии за 1949 г. 1949.

Филиппов А.А. Отчет о результатах поисков россыпных месторождений золота в бассейнах рр.Умы, Тойикана и Галама в 1963 г. 1964.

Фролов В.В. Золотоносные районы Удского края. 1944.

Фролов Ф.С. и др. Тектоническое строение и полезные ископаемые южной части листа №53-XIV. 1965.

Фролов Ф.С. и др. Геологическое строение и полезные ископаемые северо-восточной части листа №53-XIV. 1966.

Фролов Ф.С. и др. Тектоническое строение и полезные ископаемые северо-западной части листа №53-XIV. 1967.

Чернявский В.И., Карапузов В.Е. и др. Тектоника, полезные ископаемые северо-западного и северо-западного побережья Удской губы. 1961.

Шапочкин И.И. Отчет о результатах аэромагнитных работ Амгунской партии за 1958-1960 гг. 1961.

Шербина Ю.И. Объяснительная записка к листу №53-XV.

1965.

СПИСОК МАТЕРИАЛОВ, ИСПОЛЬЗОВАННЫХ ДЛЯ СОСТАВЛЕНИЯ КАРТЫ ПОЛЕЗНЫХ ИСКОПАЕМЫХ МАСШТАБА 1:200 000

Приложение 1

№/п	Фамилия и инициалы авторов	Название работы	Год составления	Местонахождение материала, его фондовый № или место издачи
1	2	3	4	5
1	Луборовский М.И., Кузнецов Б.И.	Отчет о результатах поисков россыпных месторождений золота в озере р.Юлы Верх.Эльги, Нельканы	1963	Фонды Дальтектологии, № О10712
2	Луборовский М.И., Мельников Н.С.	Отчет о результатах поисков россыпных месторождений золота в бассейне р.Уды	1967	Там же, № О12382
3	Федорелло Ю.О.	Отчет о работе Сородокской геолого-геологической партии за 1949 г.	1949	Там же, № О8265
4	Филиппов А.А.	Отчет о результатах поисков россыпных месторождений золота в бассейнах рр.Умы, Тойикана и Галама в 1963 г.	1964	Там же, № О1070
5	Фролов В.В.	Золотоносные районы Удского края	1944	Фонды Дальтектологии, № 1987
6	Фролов Ф.С. и др.	Геологическое строение и полезные ископаемые южной части листа №53-XIV	1965	Там же, № О1016

Х/ Материалы хранятся в фонде дальневосточного производственного геологического объединения.

Приложение 2

1	2	3	4	5
7	Фролов Ф.С. и др.	Геологическое строение и полезные ископаемые северо-восточной части листа №-53-XIV	1966	Фонды Царлько-логии, № 0262
8	Фролов Ф.С. и др.	Геологическое строение и полезные ископаемые северо-западной части листа №-53-XIV	1967	Там же, № 0310

СПИСОК НЕПРОМЫШЛЕННЫХ МЕСТОРОЖДЕНИЙ ПОЛЕЗНЫХ ИСКОПАЕМЫХ, ПОКАЗАННЫХ НА ЛИСТЕ №-53-XIV КАРТЫ ПОЛЕЗНЫХ ИСКОПАЕМЫХ

МАСШТАБА 1:200 000

# по карте	Индекс клетки на карте	Наименование месторождения или залежи полезного ископаемого	Состояние экз-плутата	Тип месторождения (К-коренное, Р-распространенное)	# исполь-зованного материала (последний по списку санкций)
<b>МЕТАЛЛИЧЕСКИЕ ИСКОПАЕМЫЕ</b>					
<b>Б л а т о р о д н ы е м е т а л л ы</b>					
35	III-4	рүч. Сородо	Эксплуатиро- вась	Р	2,3,5

Приложение 3

СИСТОМ ПРОЯВЛЕНИЙ ПОЛЕЗНЫХ ИСКОПАЕМЫХ, ПОКАЗАННЫХ  
НА ЛИСТЕ № 53-Х1У КАРТЫ ПОЛЕЗНЫХ ИСКОПАЕМЫХ  
МАСШТАБА 1:200 000

№ по карте	Индекс категорий на карте	Название (местонахождение) проявления и вид полезного иско-паемого	Характеристика проявления	№ использо-вания ма-териала по списку (прилож. I)
1	2	3	4	5

ГОРЯЧЕЕ ИСКОПАЕМЫЕ

Т в е р д ы е т о р ь ч и е и с к о п а е м ы е

Каменный уголь

33	III-4	р.Сородо	Два пласта угля мощностью 2,1 и 3,6 м	6
<b>МЕТАЛЛИЧЕСКИЕ ИСКОПАЕМЫЕ</b>				
<b>Ч е р н ы е м е т а л л ы</b>				

Магнетит-гематитовые руды

47	IV-3	р.Галам	Бериллийность, гранадина, химия титаномагнетита в габбро-анортозитах и анонгитах	6
48	IV-3	р.Галам	То же	6
42	IV-3	р.Галам	"	6
44	IV-3	р.Галам	"	6
45	IV-3	р.Галам	"	6
40	IV-3	р.Дагал	Глины падбор-анортозитов с титаномагнетитом	6
41	IV-3	р.Дагал	То же	6
43	IV-3	р.Дагал	"	6
54	IV-4	р.Бол.Милькан	"	6
<b>Ванадий</b>				
46	IV-3	р.Галам	Ореол с содержанием ванадия 0,007-0,02%	6
55	IV-4	р.Бол.Милькан	Ореол с содержанием ванадия до 0,02%	6

I	2	3	4	5
Благородные металлы				
			Хром	
50	ИУ-4	Межиречье Лагап - Бол.Милькан	Ореол с содержанием хрома от 0,01 до 0,5%	6
		Цветные металлы		
			Медь	
4	І-2	р.Верх.Лига	Ореол с содержанием меди 0,005-0,02%	8
39	ІУ-3	Межиречье Лагап - Бол.Милькан	Ореол с содержанием меди 0,005-0,01%	6
49	ІУ-4	Межиречье Лагап - Бол.Милькан	Ореол с содержанием меди от 0,005 до 0,01%	6
		Свинец		
7	І-2	Водораздел рек. Верх.Лига - Эльга	Ореол с содержанием свинца 0,003-0,01%	7,8
52	ІУ-4	Нижний Некель	Проксениты с выращенностью сульфидов	7
53	ІУ-4	Межиречье Лагап - Бол.Милькан	То же	24
56	ІУ-4	Межиречье Лагап - Бол.Милькан	"	26
51	ІУ-4	Водораздел рек Бол.Милькан - Лагап	Ореол с содержанием никеля от 0,007 до 0,1%	6

I	2	3	4	5
Благородные металлы				
			Золото	
		Межиречье Ногайки - Бол.Самая	Штучные пробы из воротничков квадратов с содержанием золота 0,01-0,3 г/т	8
			Штучные пробы из воротничков квадратов с содержанием золота от 0,01 до 0,3 г/т	8
			Штучная проба из изменивших тутов с содержанием золота 0,01 г/т	8
			Штучная проба из изменивших тутов с содержанием золота 0,03 г/т	7
			Штучная проба из изменивших тутов с содержанием золота 0,01 г/т	7
			Штучная проба из изменивших тутов с содержанием золота 0,01 г/т	7
			Штучная проба из изменивших тутов с содержанием золота 0,01 г/т	7
			Штучная проба из изменивших тутов с содержанием золота 0,01 г/т	7
			Штучная проба из изменивших тутов с содержанием золота 0,01 г/т	8
			Штучные пробы из изменивших тутов с содержанием золота от 0,01 до 0,07 г/т	8

I	2	3	4	5
28	II-2	р.Гита		Штучная проба из измененных породров с содержанием золота 0,01 г/т
29	II-3	р.Тала		Штучная проба из измененных породиков с содержанием золота 0,03 г/т
25	II-1	р.Джанну		Штучная проба из измененных граниторитов с содержанием золота 0,01 г/т
34	III-4	р.Сородо		Штучные пробы из измененных ашортозитов, с содержанием золота 0,01 г/т
38	IV-2	р.Геройкан		Штучные пробы из измененных ашортозитов, кварцитов и жильного кварца с содержанием золота 0,01-0,5 г/т
32	III-4	р.Сородо		Штучная проба из измененных платиграфитов с содержанием золота 0,01 г/т
		Серебро		
16	I-4	р.Верх.Эльга	Ореол с содержанием серебра от 0,0005 до 0,001%	I
		Редкие металлы		
		Болтфрам		
5	I-2	р.Верх.Гита	Шлиховой ореол ше- лита	8
15	I-4	р.Ногаш	То же	7
		Химическое сырье		
		Алюминий		
		Межречье Ногаш - Бол.Самая	Межречье Ногаш - Бол.Самая	6
			Лва сбокуенных тела- бол.Самая	6
			Среднее содержание алюминия 45%	6
			Алюминиевая залежь. Среднее содержание алюминия 41,7%	6

I	2	3	4	5
22 30	II-4 I-4 II-4	Междуречье Ногали- Бол.Самал р.Верх.Эмбла р.Тала	Глыбы кварцитов с со- пержанием алунита от 9,1 до 78,1% Штучная прока из кварцитов с содержани- ем алунита 25,9% Штучная прока из кварцитов с содержа- нием алунита 42,5%	7,8 7 7
17				

В брошюре пронумеровано 101 стр.

Редактор Р.Н.Ларченко

Редактор Р.Н.Ларченко  
Технический редактор Е.М.Павлова  
*Исправлено И.И.Горюшкин*

Корректор И.И.Богданович

Сдано в печать 20.12.78.  
Подписано к печати 20.01.83.

Мат 60x90/16 Неч.л.6,5 Заказ 624 с

производственное хозрасчетное предприятие  
объединения "Совгэллонд"